

Praha, 17.12.2014

Neutrinové oscilační experimenty

Michal Malinský

ÚČJF MFF UK

Novinky v oscilační fyzice

(od jara 2014)

- NEUTRINO 2014 v Bostonu
- NOvA
- LBNE → LBNF, ELBNF + CERN Neutrino platform
- T2HK
- Daya Bay
- JUNO

Urychlovačová a atmosférická neutrina

(NO_vA, ELBNF, T2HK)

NOvA

(FNAL to Ash River, MN)



NOVA Far Detector

MINOS Far Detector

Ontario

Minnesota

Wisconsin

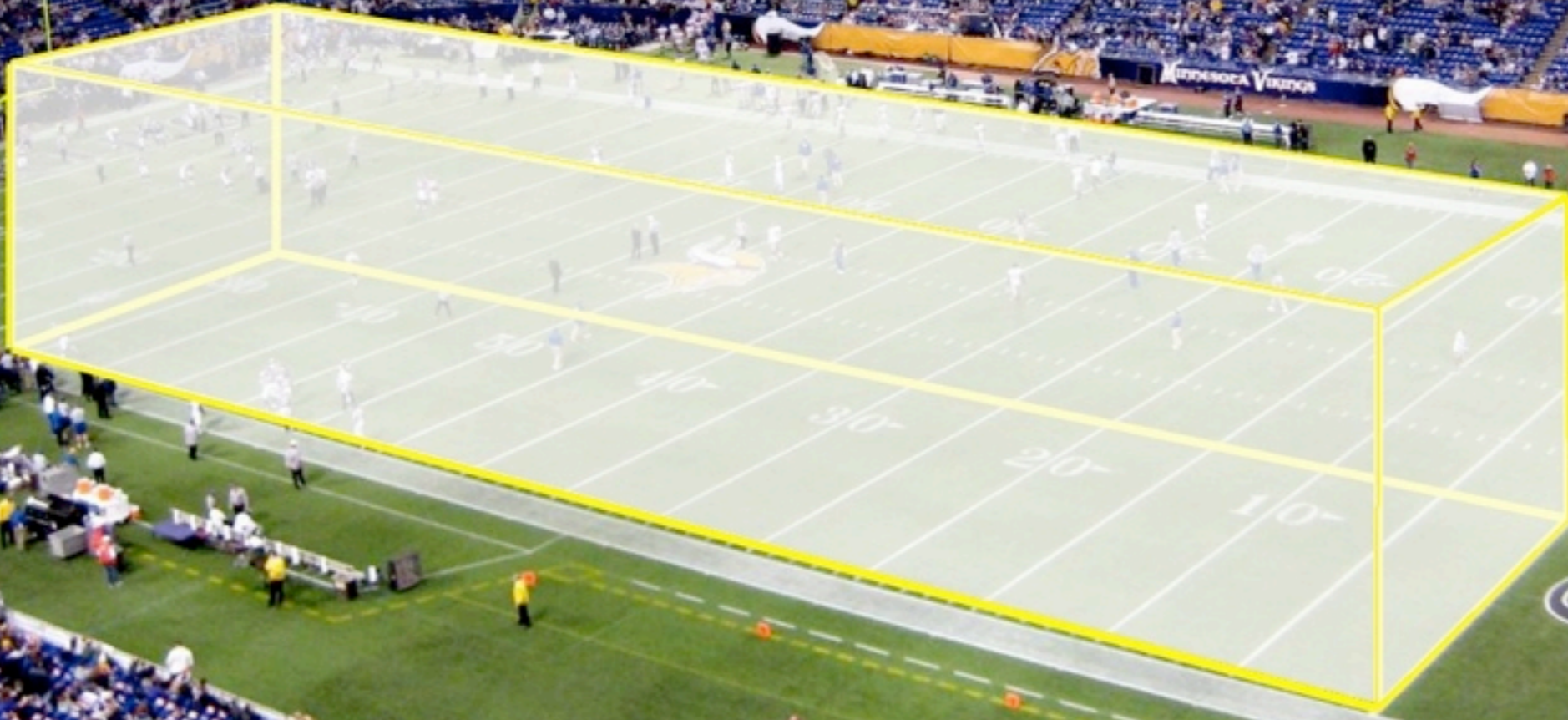
Milwaukee

Fermilab

Chicago

wa





BLACKBERRY STORM

BLACKBERRY STORM

LOFFLER

MINNESOTA VIKINGS

VIKINGS

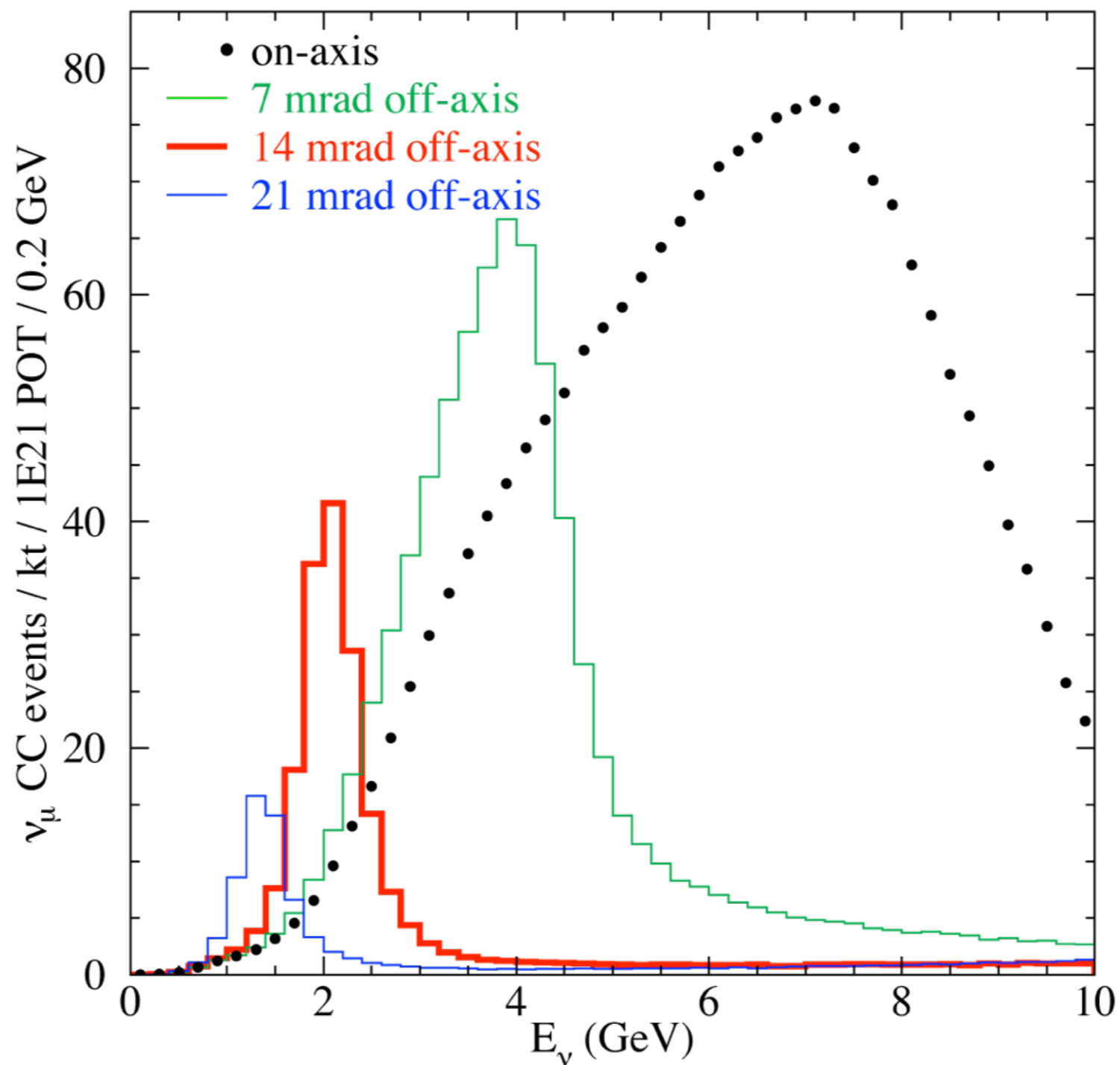


NOvA

- **L = 810 km** (MINOS 735 km)
- Liquid scintillator tracking calorimeter
- NuMI beam (700kW → 2MW) s peak energií mezi **2GeV** a 7GeV

NOvA

Medium Energy Tune

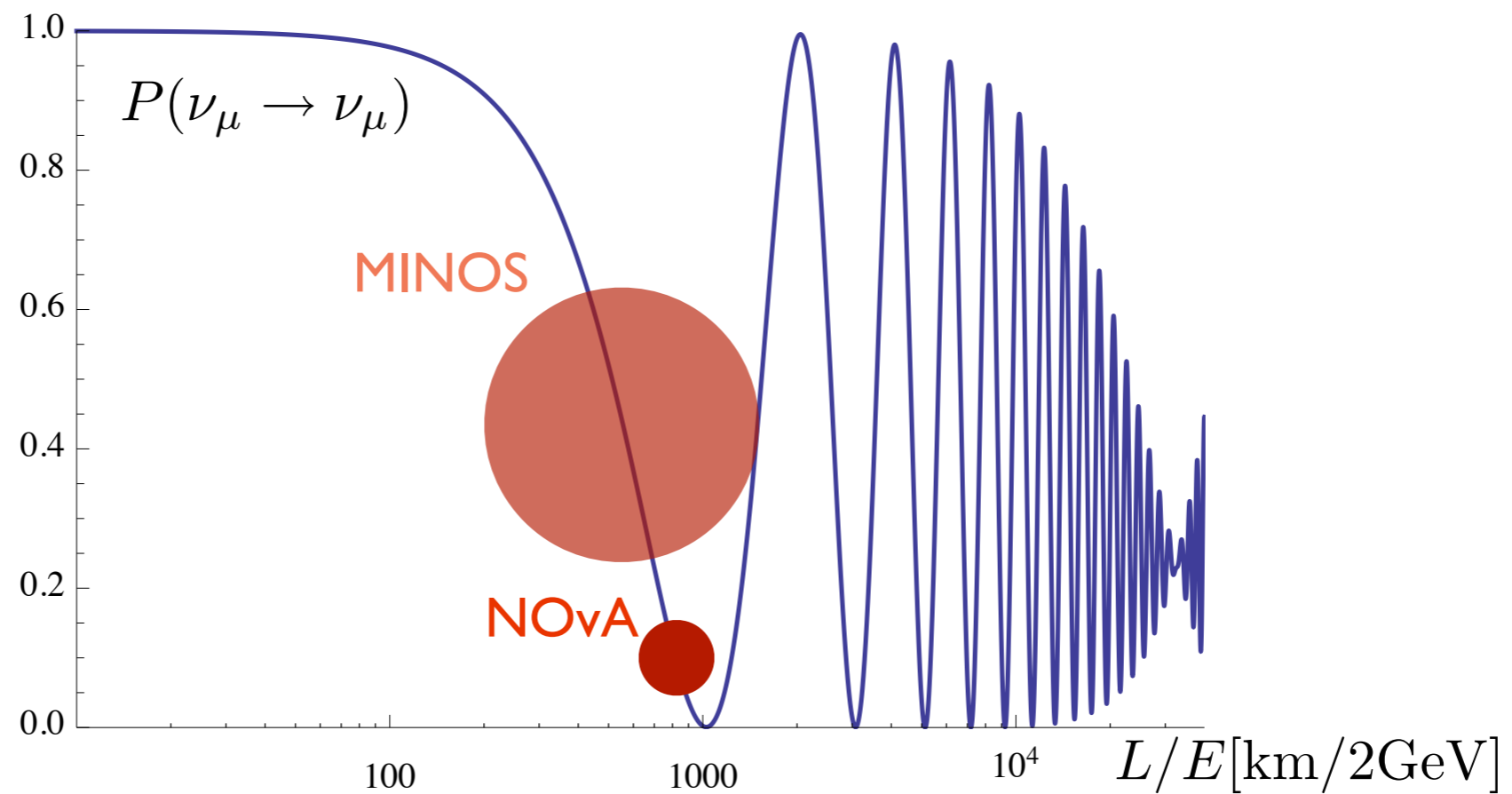


NOvA

- **L = 810 km** (MINOS 735 km)
- Liquid scintillator tracking calorimeter
- NuMI beam (700kW → 2MW) s peak energií mezi **2GeV** a 7GeV
- **off-axis** (monochromatické spektrum)

NOvA

Přežití mionových neutrin @ NuMI @ 2 GeV

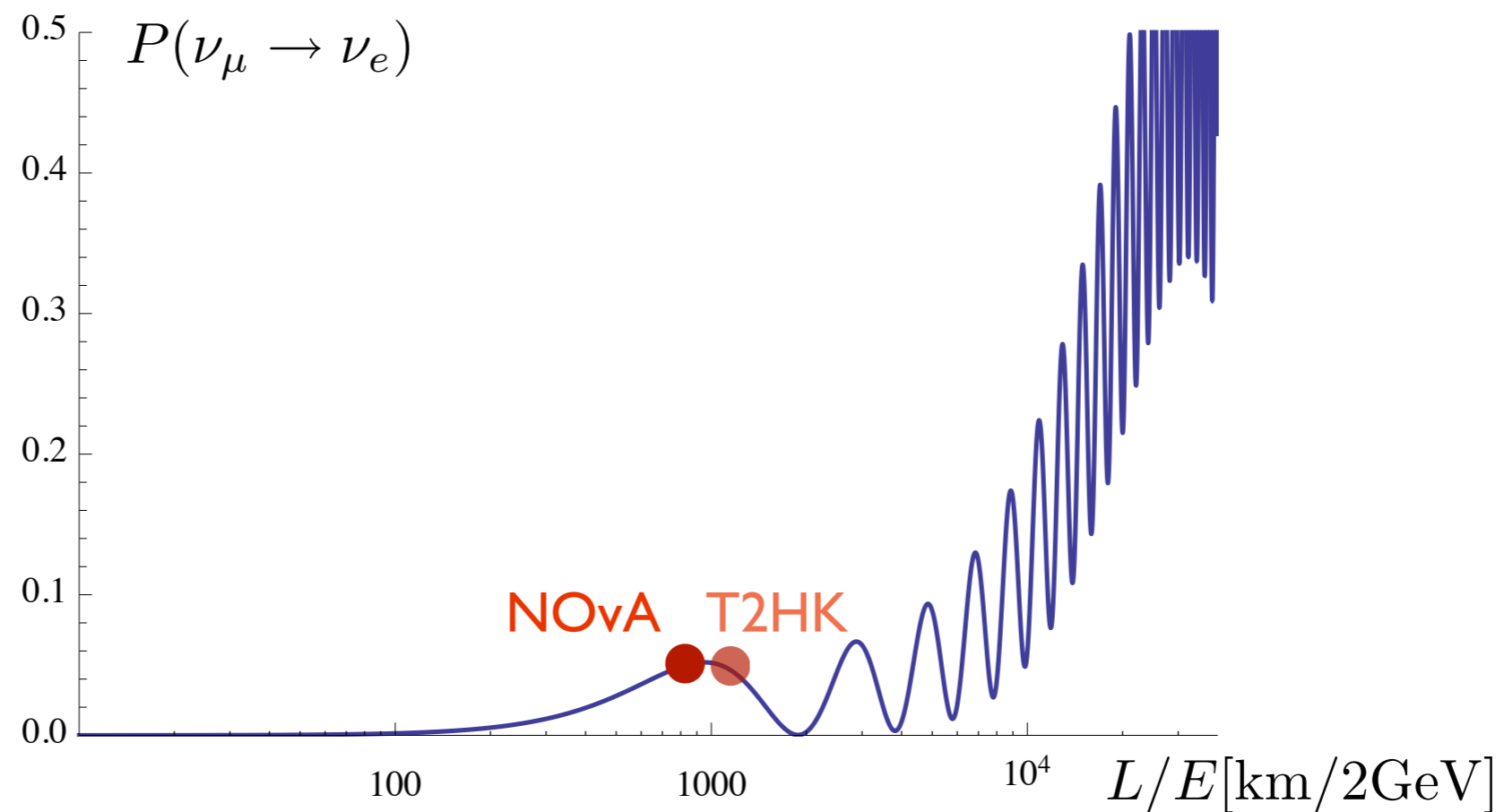


NOvA

- **L = 810 km** (MINOS 735 km)
- Liquid scintillator tracking calorimeter
- NuMI beam (700kW → 2MW) s peak energií mezi **2GeV** a 7GeV
- **off-axis** (monochromatické spektrum)
- **povrchový experiment** (narozdíl od MINOSu, ten je v Soudan Underground Lab 700m hluboko) - pozadí z atm. neutrin (**40M:1**)
- měření θ_{13} i θ_{23} úhlů (MINOS jen θ_{23}) a Δm^2_{32} včetně znamení, tj. hierarchie (v konvoluci s CP fází)
- **ν_e appearance v ν_μ svazku** (rozlišení e- a μ -eventů) tj. možnost měřit **CP narušení** - MINOS jen přežití ν_μ (je to magnetizovaný sendvič Fe+plast. scintilátor)

NOvA

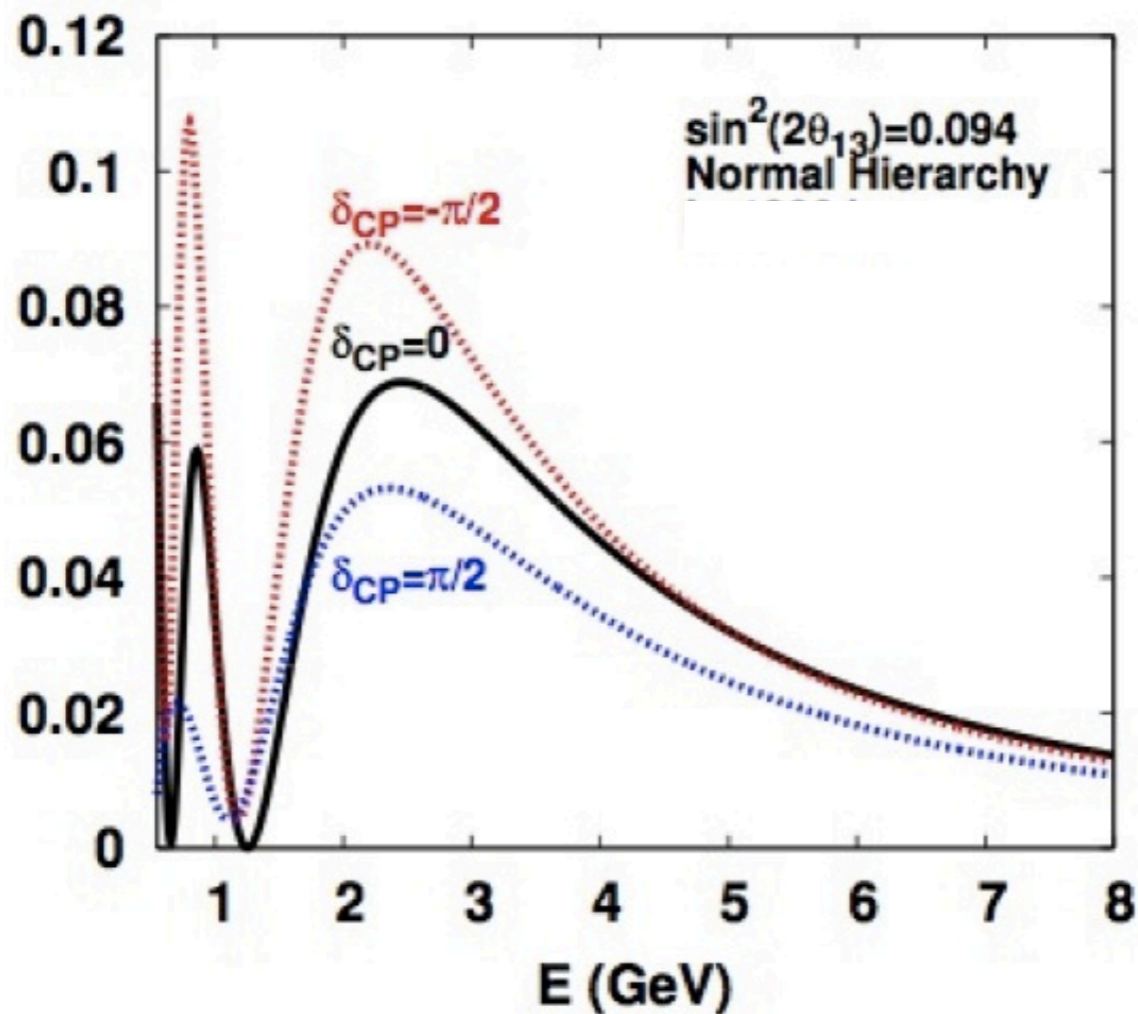
Oscilace mionových na elektronová @ NuMI @ 2 GeV (MINOS neumí)



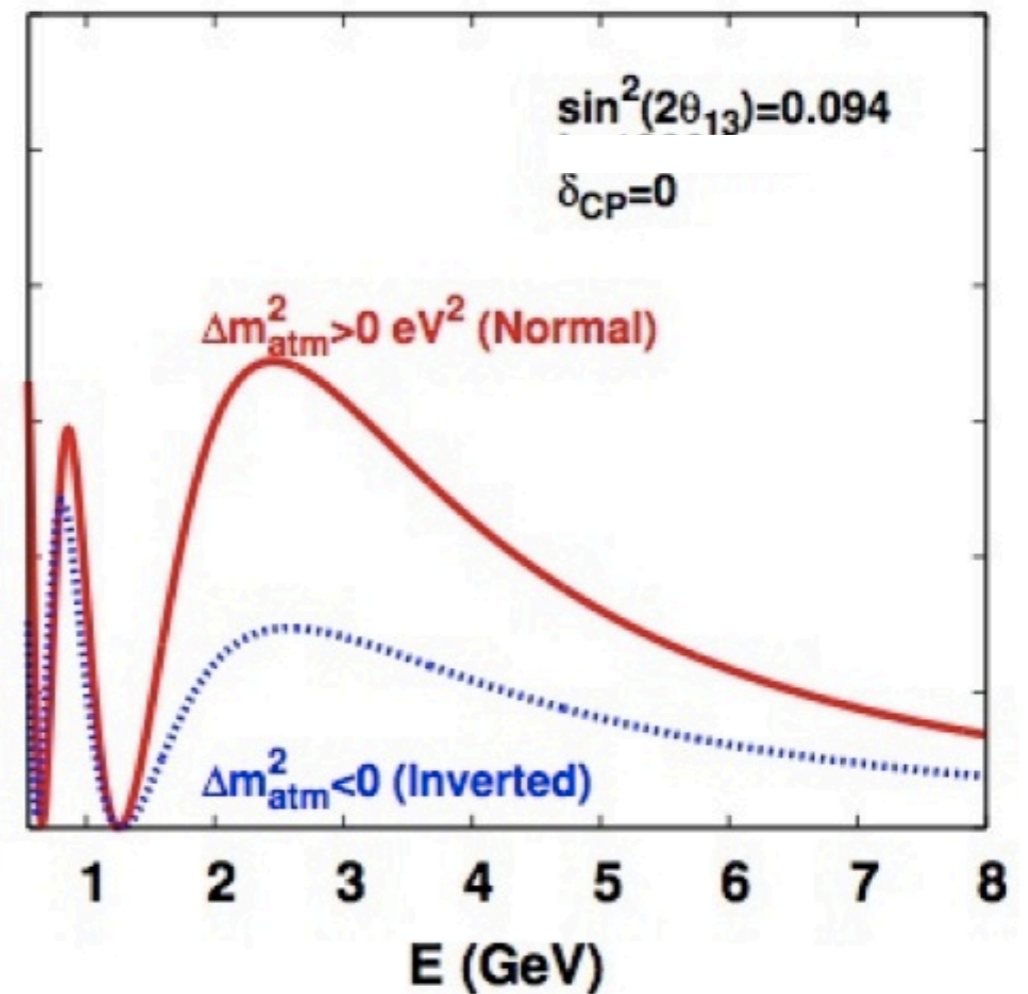
NO_vA

CP efekt: $\nu_\mu \rightarrow \nu_e, \bar{\nu}_\mu \rightarrow \bar{\nu}_e$ velmi podobně jako na LBNE (dnes ELBNF)

CP efekt



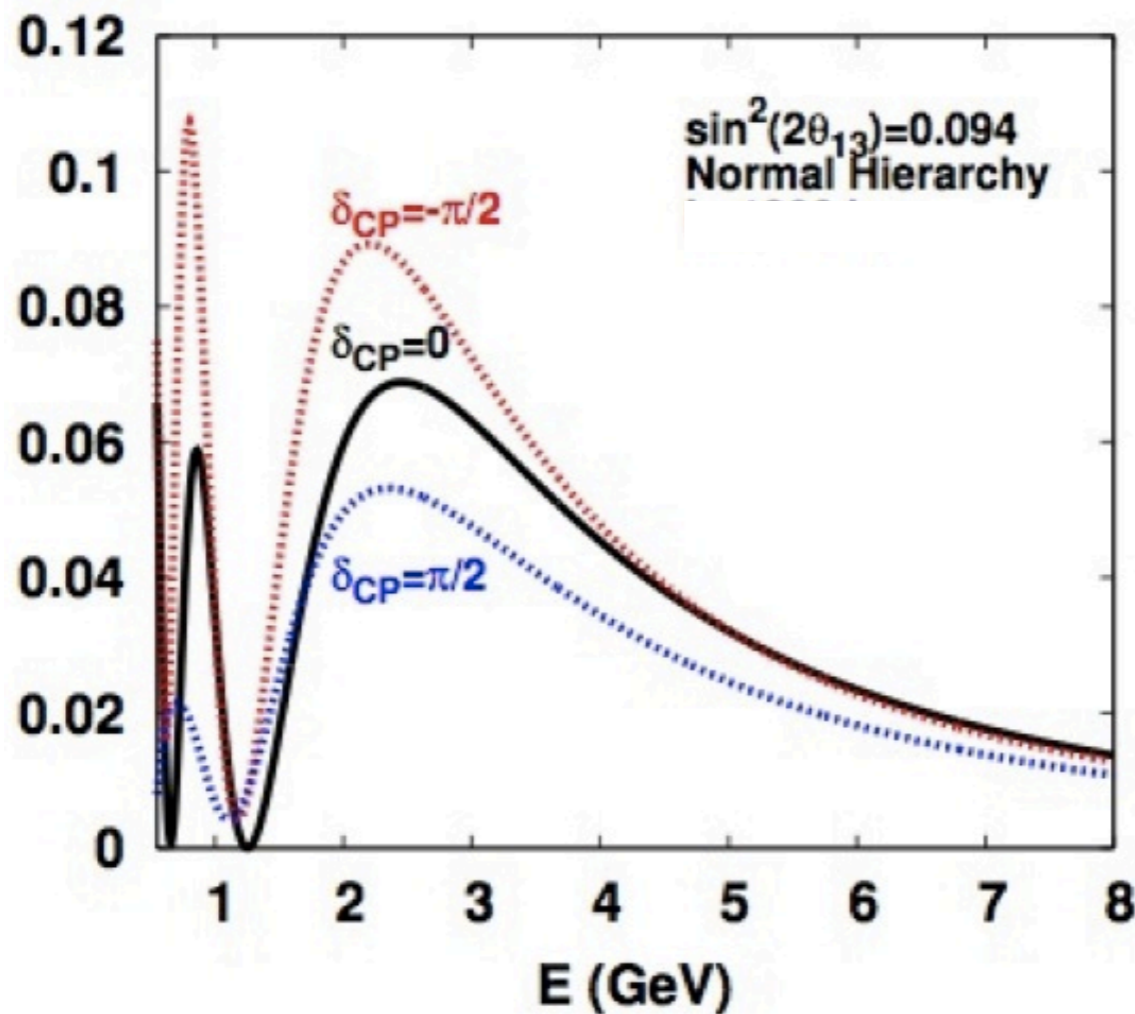
Hierarchie



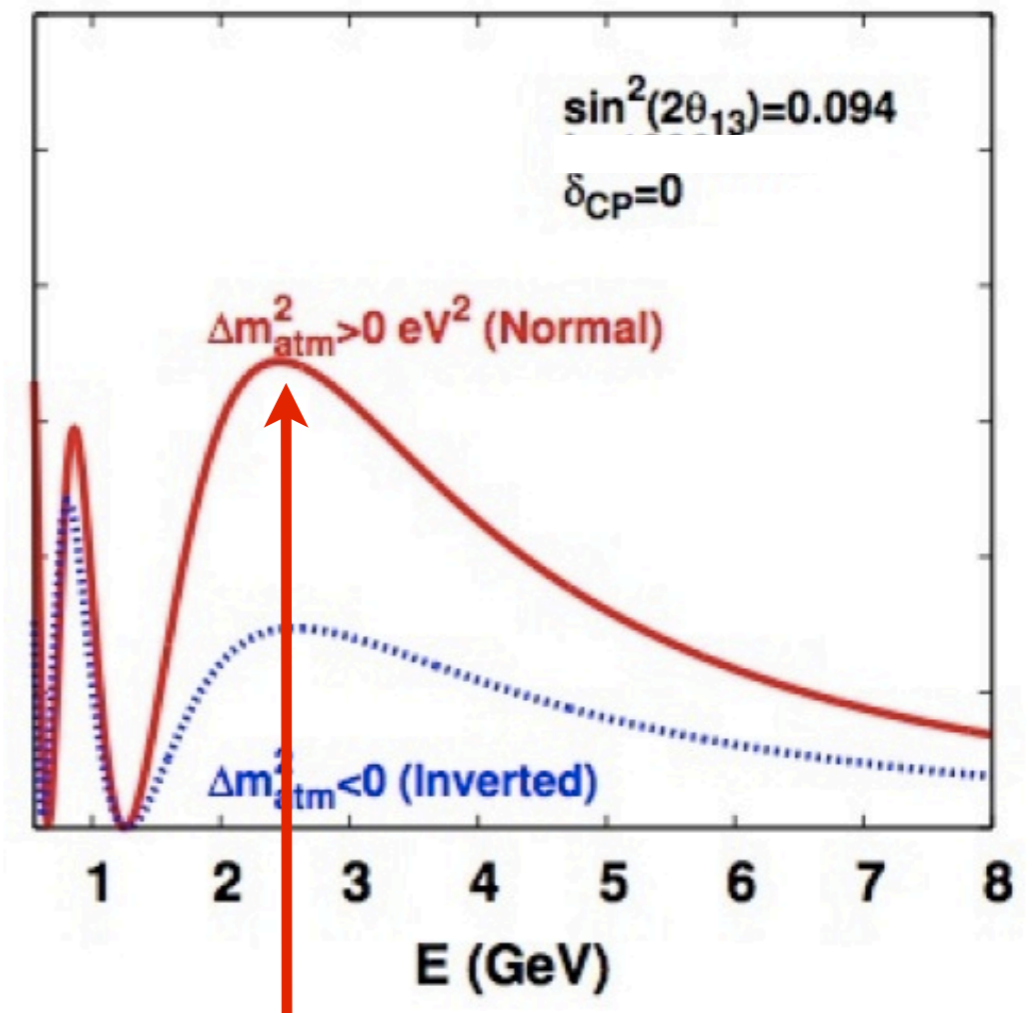
NO_vA

CP efekt: $\nu_\mu \rightarrow \nu_e, \bar{\nu}_\mu \rightarrow \bar{\nu}_e$ velmi podobně jako na LBNE (dnes ELBNF)

CP efekt



Hierarchie

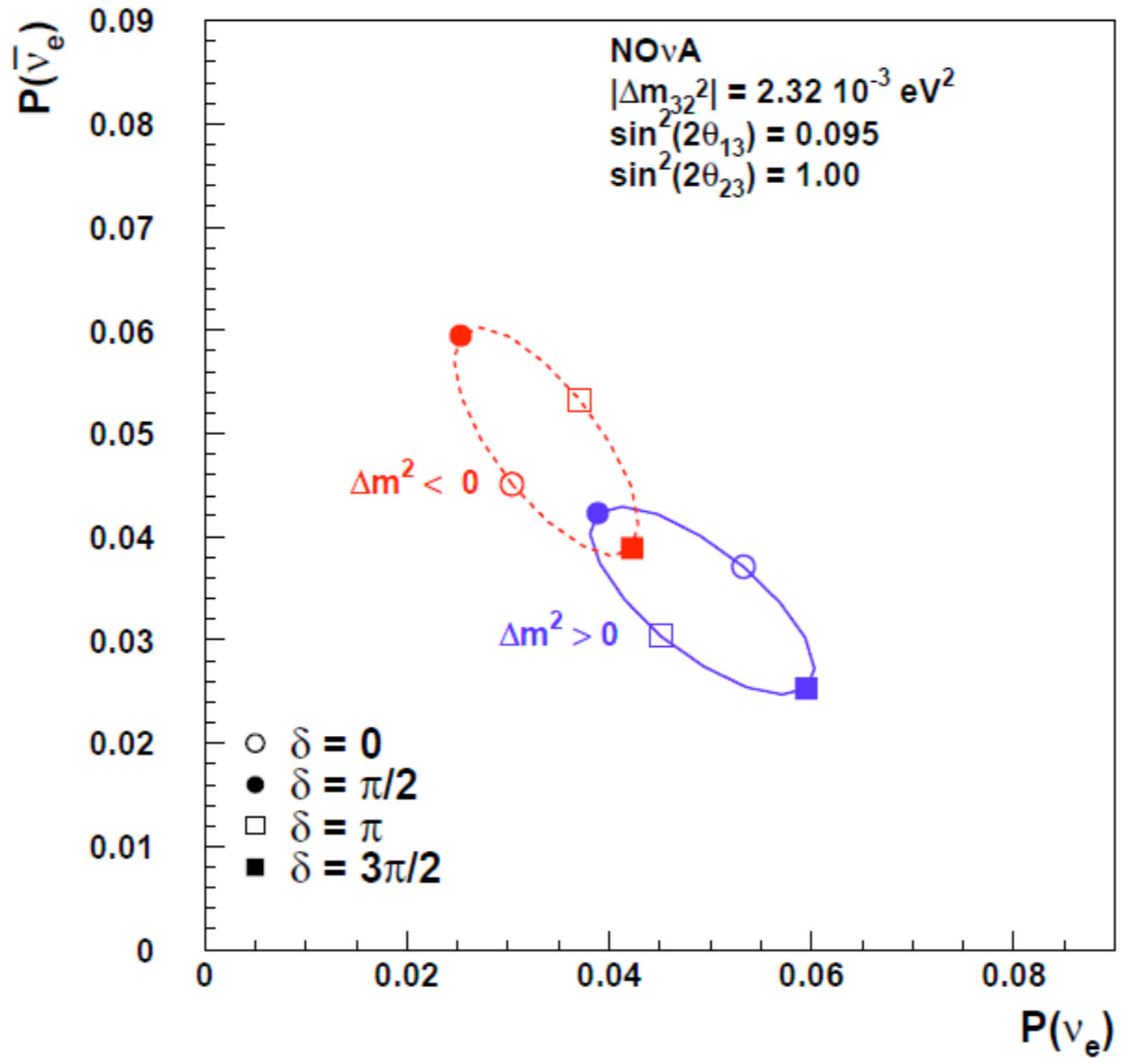


velká vzdálenost - efekt hierarchie významný - degenerace

NO_vA

CP fáze, hierarchie:

$P(\bar{\nu}_e)$ vs. $P(\nu_e)$ for $\sin^2(2\theta_{23}) = 1$



Novinky za posledních 9 měsíců

- Detektory dokončeny (FarDet 29.7.2014, NearDet 12.8.2014)
- Začínají analýzy dat

FZU

- Milos Lokajicek - vedeni projektu, computing
- Jaroslav Zalesak - NOvA run koordinator, DAQ expert, vyvoj a testy DAQ softwaru, APD expert - testovani APD (testy povrchove upravy) smeny (dohled nad provozem detektoru v kontrolni mistnosti)
- Ivo Polak - inzenyr, dlouhodobé testovani APD
- Jiri Kvasnicka - inzenyr, dlouhodobé testovani APD
- Josef Zuklin - inzenyr, dlouhodobé testovani APD
- Zdenek Kotek - technik, navrh a vyroba temneho boxu na testovani APD
- Jan Svec - IT specialista, computing
- Vaclav Zamazal - technik, dlouhodobé testovani APD
- Vlastimil Zamazal - technik, dlouhodobé testovani APD

MFF

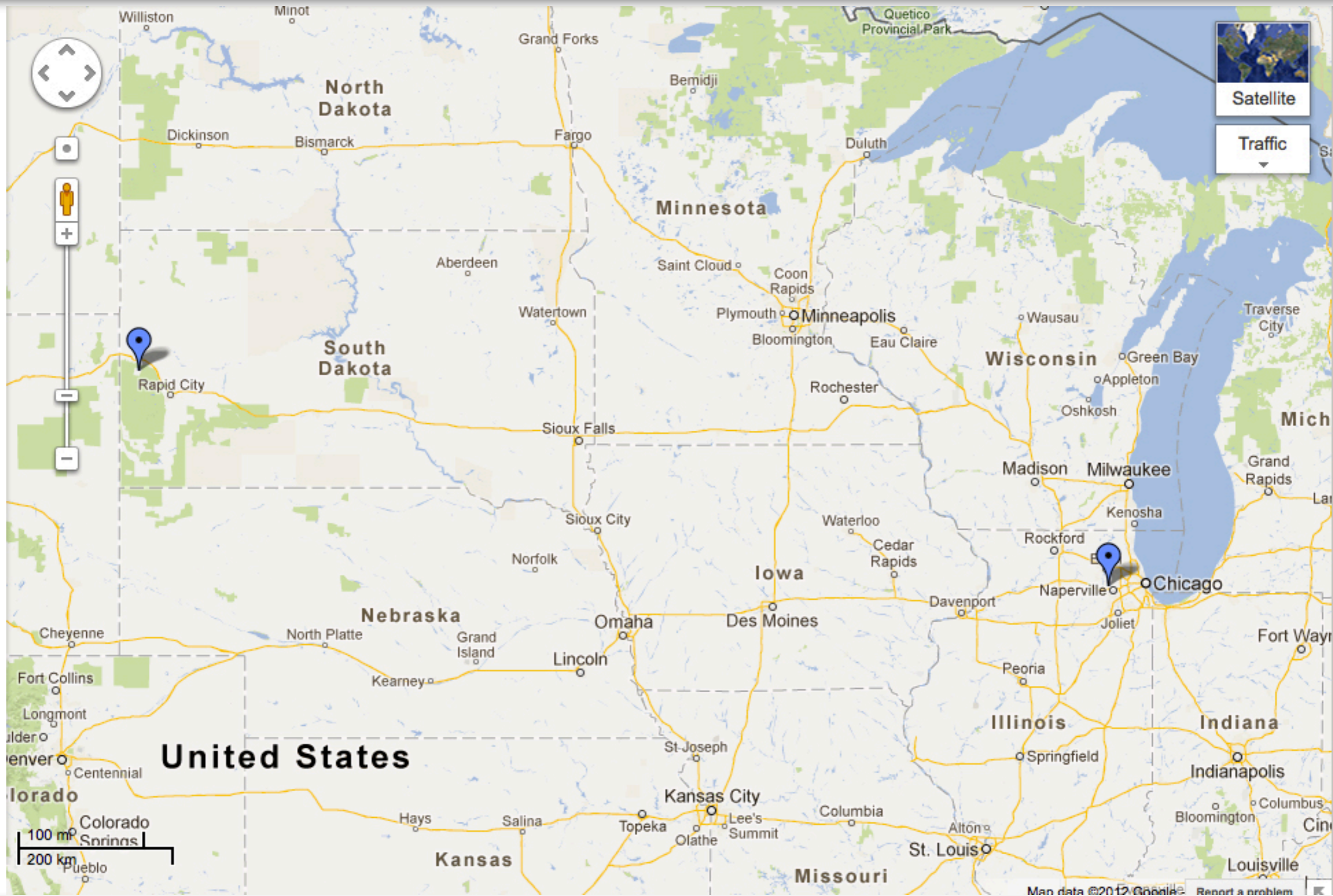
- Karel Soustruznik - vyvoj QA (quality assurance) + DAQ softwaru (aplikace na zprístupneni QA dat, aplikace na testovani stavu hardwaru pred instalaci, DAQ downtime logger, analyza pedestal runu), stavba detektoru (plneni NearDet scintilátorem), smeny
 - Petr Tas - smeny
 - Tomas Nosek - student, analyza dat v ramci nue skupiny, smeny
 - Zuzana Jelinkova - student, analyza dat v ramci nue skupiny, smeny
 - Jiri Palacky - technik, vyroba mechanicke casti temnych boxu na testovani APD

FJFI

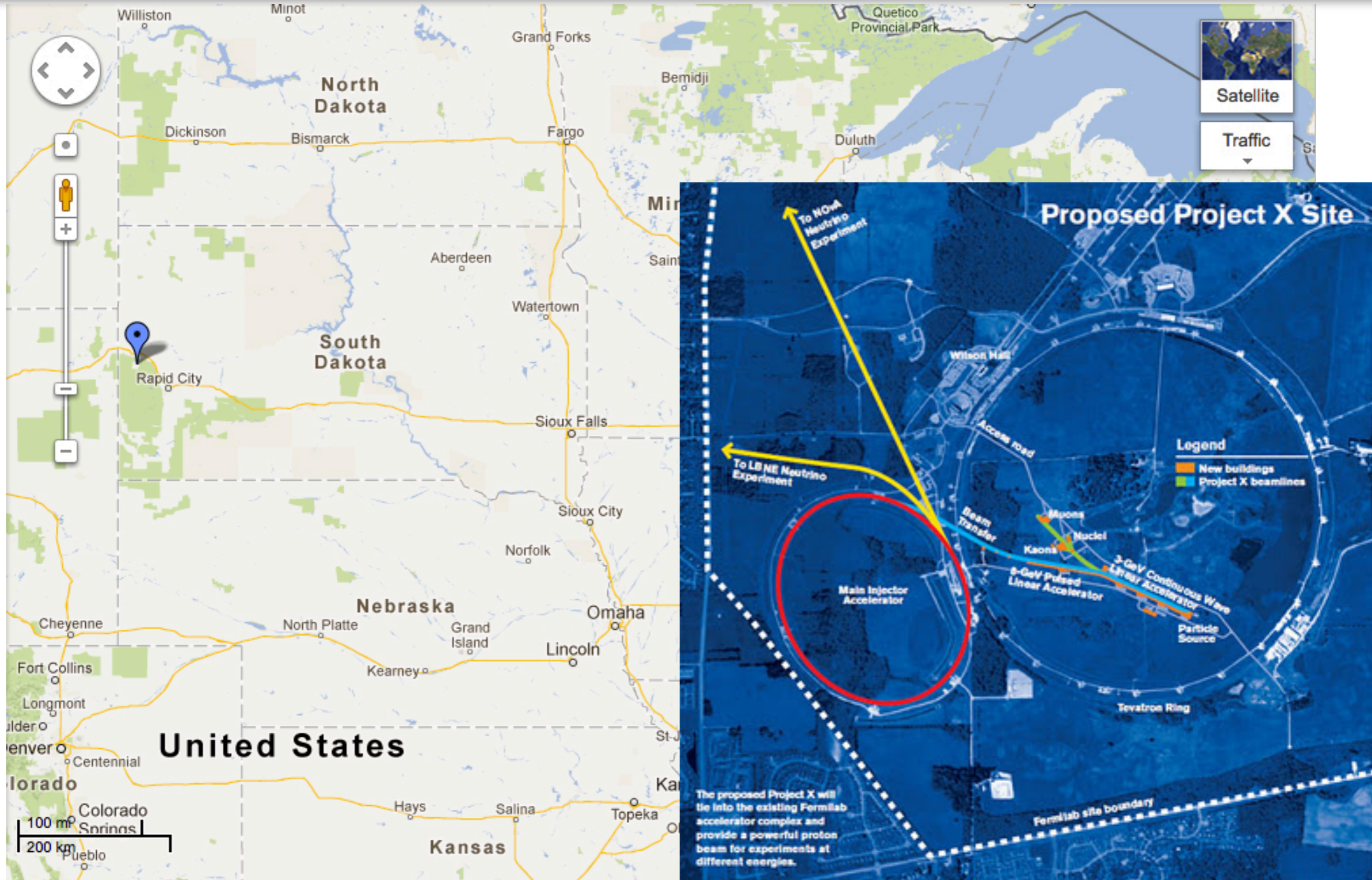
- Jan Smolik - dlouhodobé testování APD
- Filip Jediny - DCS expert (detector control systems), instalace a kalibrace DCS hardwaru, návrh nového DCS systému pro Blízky detektor, zodpovědný za systém monitorující prostředí všech NOvA detektorů, směny
- Tomas Vrba - instalace softwaru pro NOvA MC produkci, směny
- Petr Vokac - instalace, zprovoznění a monitoring MC produkce pro NOvA
- V. Linhart - dlouhodobé testování APD

LBNE → LBNF, ELBNF + CERN ν platform
(FNAL + Sanford LAB + CERN)

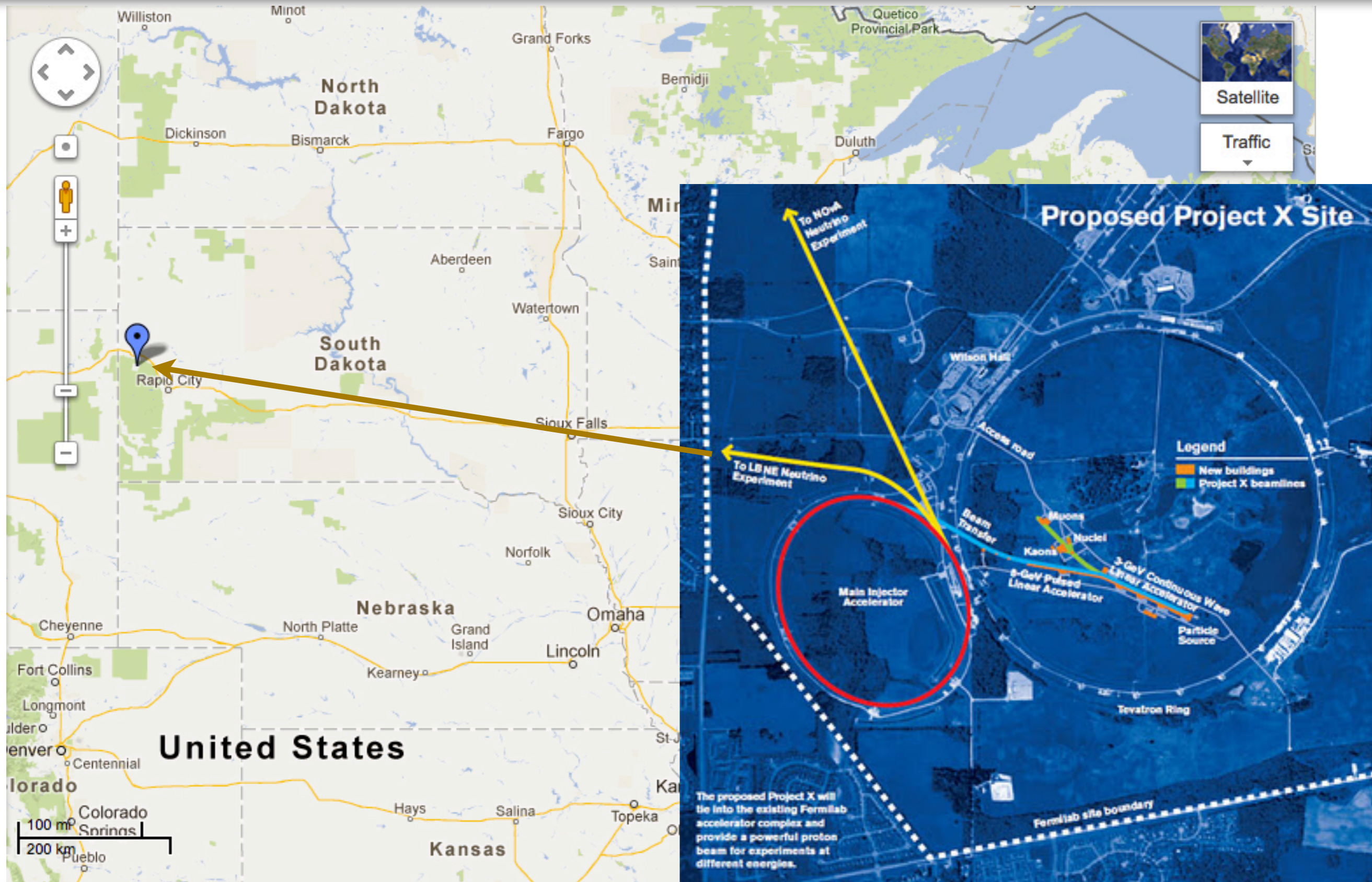
LBNE



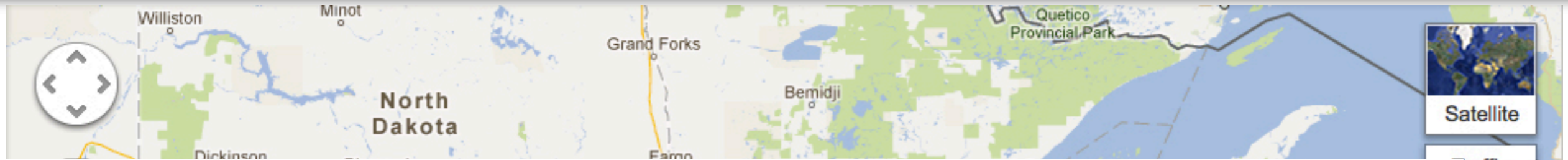
LBNE



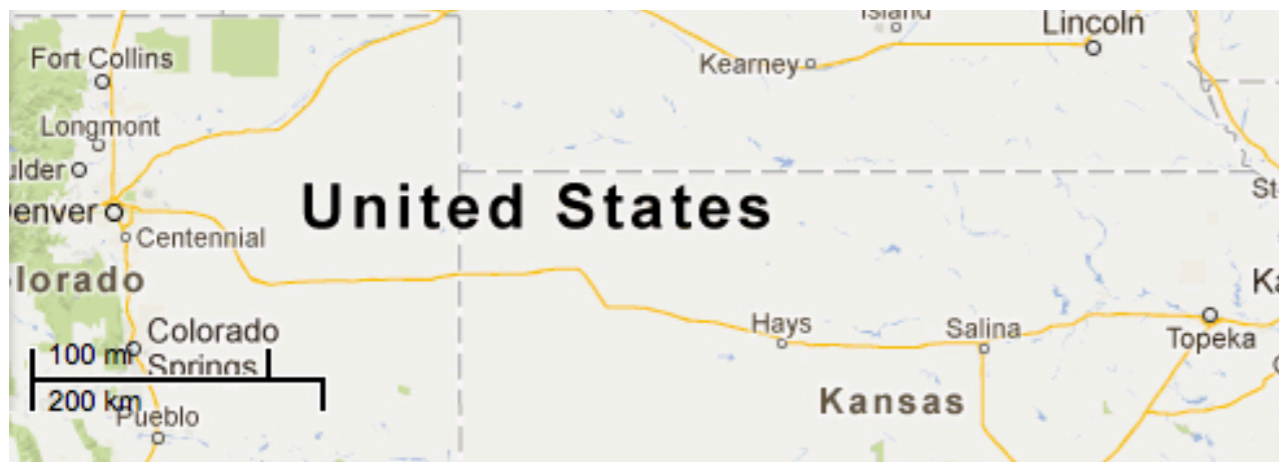
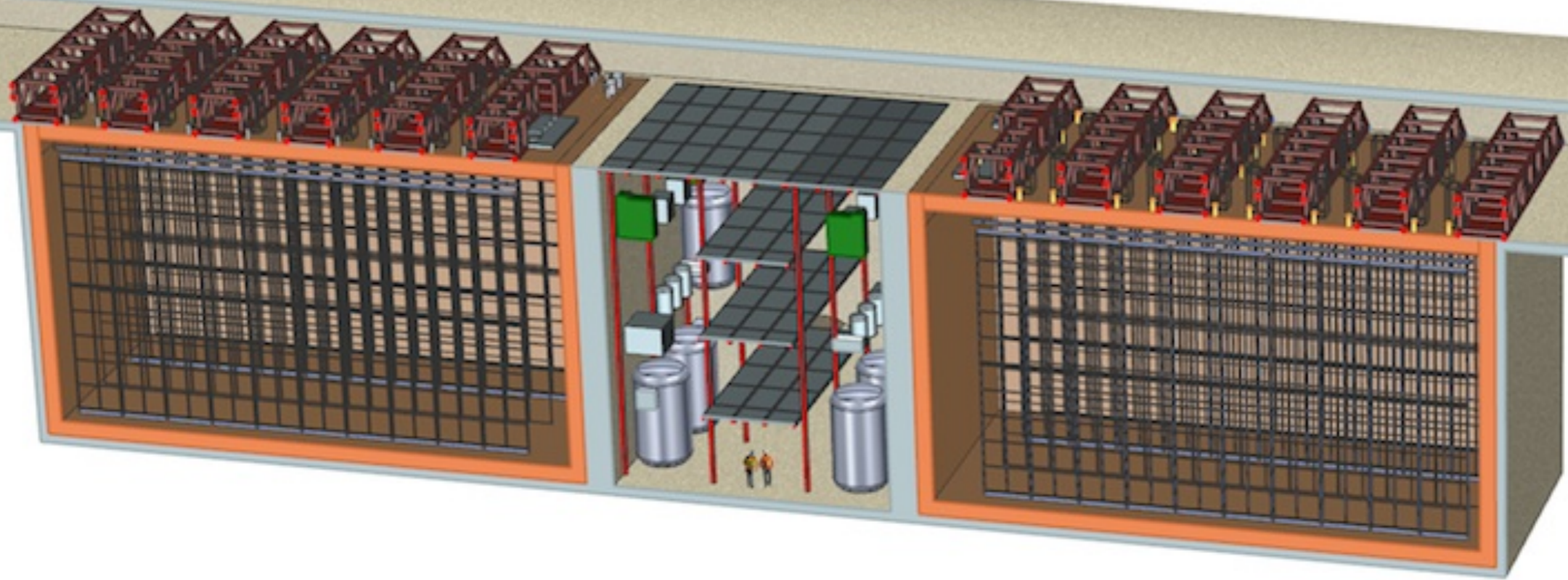
LBNE



LBNE



10kt LAr TPC



LBNE (+ Project X)

Situace na jaře 2014

- LBNE “stabilně podfinancováno”
- Prostředky (cca 870 M\$ od DOE) sdíleny mezi svazkem a detektorem (3:1)
- Silně redukovaný program (nemožnost jít brzy pod zem, malý detektor)
- Urgentní - konkurence Hyper-K

2014:TDR

2023: start **LBNE10** @ 700 kW

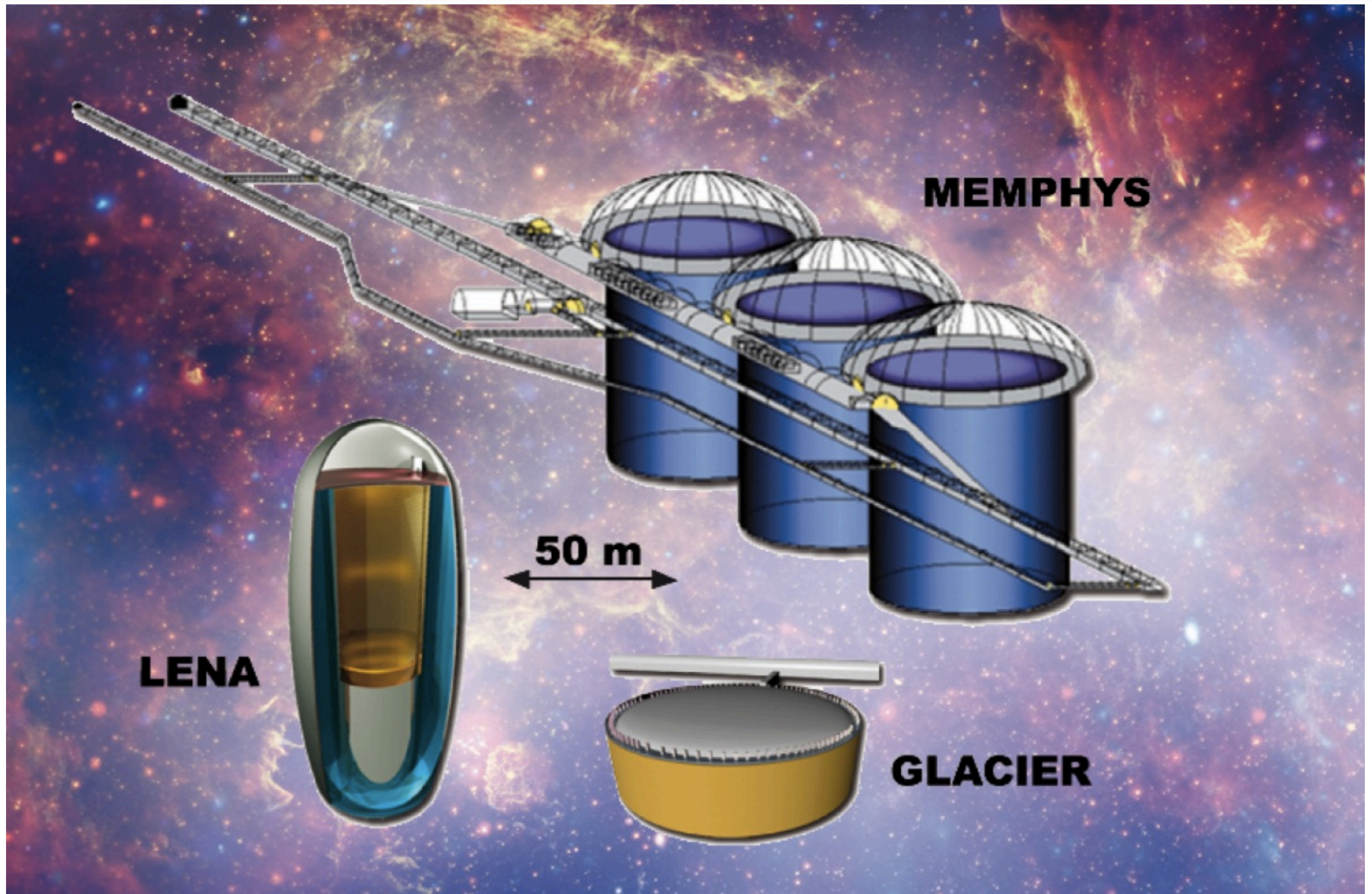
2026: 1.2 MW (project X phase I), 20kt na povrchu

2028: 34kt na povrchu

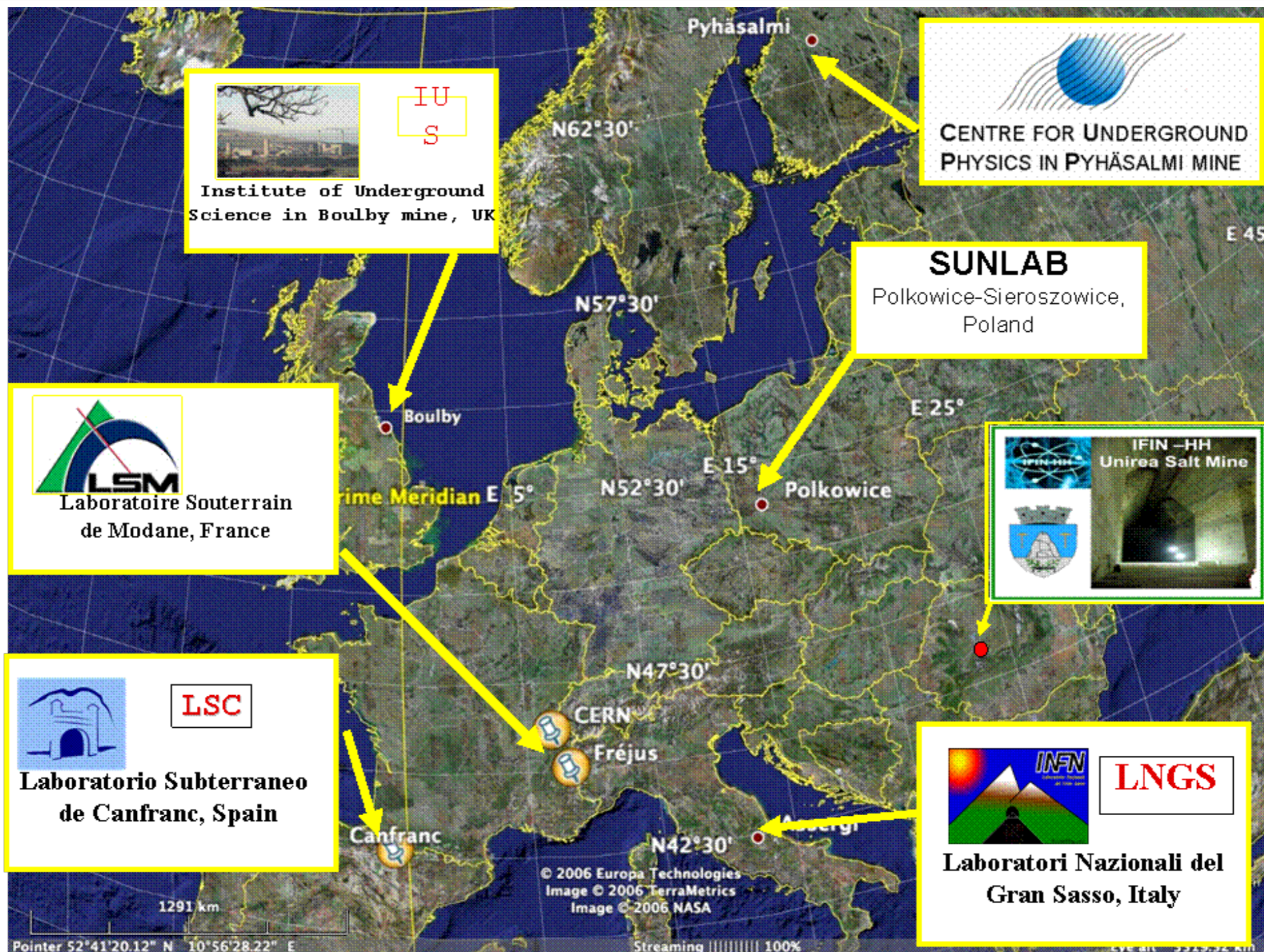
2032: 2.4 MW, nabírání dat do cca 2038

HEPAP P5 návrh na internacionalizaci projektu → LBNF

LBNO + CERN



LBNO + CERN



LBNO + CERN



LBNO + CERN

Situace na jaře 2014

- Problémy s lokací (v Pyhäsalmi to nechtějí)
- Technologie nezafixována (LENA - LSci, GLACIER - LArTPC , MEMPHYS -WC)
- Možné potíže s výstavbou neutrinového svazku “za chodu” SPS/LHC

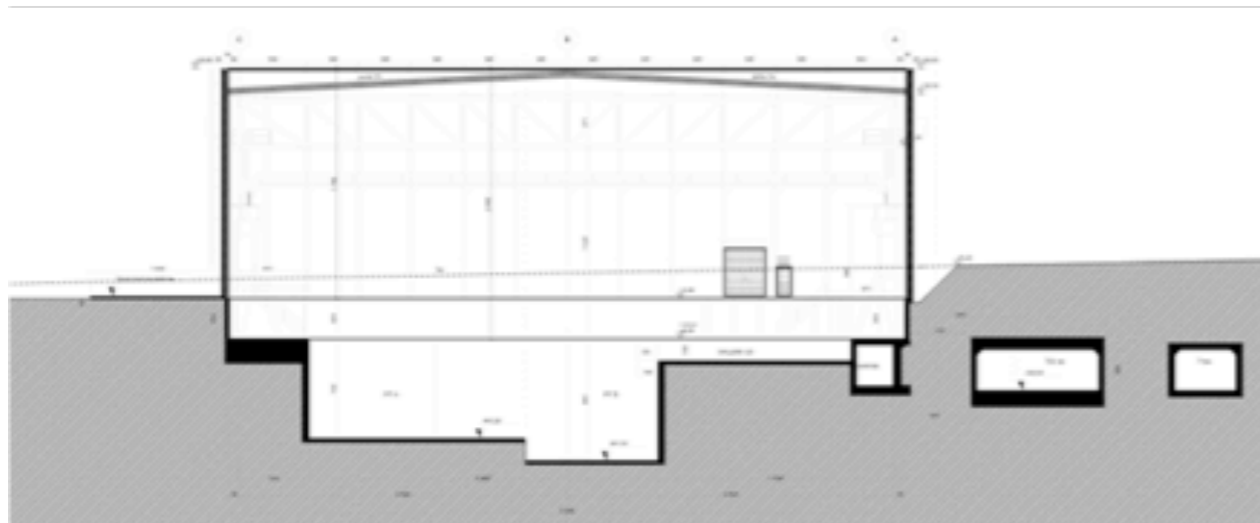
CERN neutrino platform (as a part of Medium Term Plan)

- ✓ CERN offers a platform for Neutrino detectors R&D. This platform is now part of the CERN MTP. We will support this platform in an active way and will help WA104, WA105 and others proposals in this initial phase
- ✓ CERN will construct a large neutrino test area (EHN1 extension) with charged beams capabilities, available in 2016
- ✓ CERN will assist the EU neutrino community in their long term common plans. For the moment CERN is not committing to any neutrino beam at CERN, in view of an agreed road map between all partners

- A. Rubbia & ICARUS na cestě do FNAL (sterilní neutrina)

CERN neutrino platform - EHN1

Nord Area EHN1 extension



CERN neutrino platform - EHNI

ν + charged beams for all experiments

~64 meters

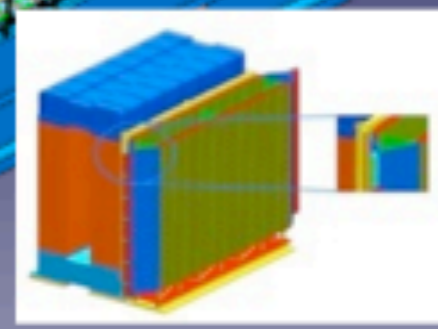
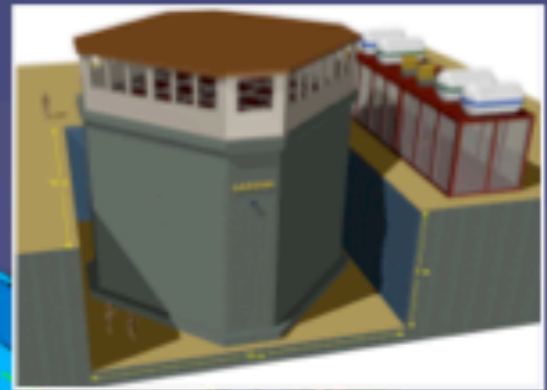
MIND

LAGUNA-PROTO

New detectors?

NESSIE

ICARUS T150



LBNF, ELBNF + CERN v platform

LBNF : Neutrinový svazek + infrastruktura - FNAL + mez. partneři

CERN Neutrino platform : testovací infrastruktura pro ELBNF LAr TPC

ELBNF : mezinárodní spolupráce po vzoru experimentů na LHC

- Vzniká mezinárodní struktura a řídicí orgány

- Předseda dočasného sboru institucí Sergio Bertolucci



Časový plán (předběžný):

právě teď: LOI - postupně finalizován

<https://indico.fnal.gov/internalPage.py?pagelId=0&confId=9090>

2015: TDR

2021: 100t demonstrátor

2024: Kompletní detektor

November 5, 2014

Experimental program at the Long-Baseline Neutrino Facility (ELBNF)

Letter of Intent to Form an International Collaboration

Executive Summary

This Letter of Intent (LOI) brings together a global neutrino community to pursue an accelerator-based long-baseline neutrino experiment, as well as neutrino astrophysics and nucleon decay, with an approximately 40-kton (active mass) modular liquid argon TPC (LAr-TPC) detector located deep underground. Several independent worldwide efforts, developed through many years of detailed studies, have now converged around the opportunity provided by the megawatt neutrino beam facility planned at Fermilab and by the new significant expansion with improved access foreseen at the Sanford Underground Research Facility in South Dakota. The new international team has the necessary expertise, technical knowledge, and critical mass to design and implement this exciting discovery experiment in a relatively short timeframe. The goal is the deployment of the first 10-kton detector on the timescale of 2021. The PIP-II accelerator upgrade at Fermilab will provide 1.2 MW of power by 2024 to drive a new neutrino beam line at Fermilab. With the availability of space for expansion and improved access at the Sanford laboratory, this international collaboration will develop the necessary framework to design, build and operate a world-class deep-underground neutrino observatory. Fermilab will act as the host laboratory. This plan is aligned with the European Strategy Report and the US HEPAP P5 report.

Experimental program at the Long-Baseline Neutrino Facility (ELBNF)

Letter of Intent to Form an International Collaboration

Executive Summary

This Letter of Intent (LOI) brings together a global neutrino community to pursue an accelerator-based long-baseline neutrino experiment, as well as neutrino astrophysics and nucleon decay, with an approximately 40-kton (active mass) modular liquid argon TPC (LAr-TPC) detector located deep underground and a high-resolution near detector. Several independent worldwide efforts, developed through many years of detailed studies, have now converged around the opportunity provided by the megawatt neutrino beam facility planned at Fermilab and by the new significant expansion with improved access foreseen at the Sanford Underground Research Facility in South Dakota. The new international team has the necessary expertise, technical knowledge, and critical mass to design and implement this exciting discovery experiment in a relatively short timeframe. The goal is the deployment of the first 10-kton detector on the timescale of 2021. The PIP-II accelerator upgrade at Fermilab will provide 1.2 MW of power by 2024 to drive a new neutrino beam line at Fermilab. With the availability of space for expansion and improved access at the Sanford laboratory, this international collaboration will develop the necessary framework to design, build and operate a world-class deep-underground neutrino observatory. Fermilab will act as the host laboratory. This plan is aligned with the European Strategy Report and the US HEPAP P5 report.

EOI: LAr TPC test @ CERN

Expression of Interest for a Full-Scale Detector Engineering Test and Test Beam Calibration of a Single-Phase LAr TPC

M.A.Leigui de Oliveira, C.A. Moura, L.Paulucci
Universidade Federal do ABC

Z. Djurcic, G. Drake, M. Goodman, S. Magill
Argonne National Laboratory

D. Adams, M.Bishai, H. Chen, G. De Geronimo, M.V. Diwan, J.Fried, S. Kettell, F. Lanni, S.Li,
M. Potekhin, V.Radeka, J. Stewart, X. Qian, B. Viren, B.Yu
Brookhaven National Laboratory

J. Griskevich, M. Smy, H. Sobel
University of California, Irvine

A. Renshaw, H. Wang
University of California, Los Angeles

A.Blake, J.Marshall, M. Thomson
University of Cambridge

E. Kemp
Universidade de Campinas

J. Bremer, F. Noto, D. Mladenov, M. Nessi, U. Kose
CERN

N. Buchanan, D. Warner, R.J. Wilson
*Neutrinové oscilační experimenty
Colorado State University*

CERN-SPSC-2014-027 / SPSC-EOI-011
08/10/2014



EOI: LAr TPC test @ CERN

Universidade Federal do ABC

Argonne National Laboratory

Brookhaven National Laboratory

University of California, Irvine

University of California, Los Angeles

University of Cambridge

Universidade de Campinas

CERN

Colorado State University

University of Delhi

Duke University

ETH Zurich, Institute for Particle Physics

Fermi National Accelerator Laboratory

GSSI - INFN, L'Aquila

University of Hawaii

Indiana University

INFN, LNGS, Assergi

INFN Sezione di Milano

INFN Sezione di Padova

University of Lancaster

INFN, Sezione di Pavia

INFN, Sezione di Milano Bicocca

INFN, Sezione di Catania

Lawrence Berkeley National Laboratory

University of Lancaster

University of Liverpool

Los Alamos National Laboratory

Louisiana State University

University of Manchester

University of Minnesota

University of Oxford

University of Pennsylvania

University of Pittsburgh

Princeton University

University of Sheffield

SLAC National Accelerator Laboratory

South Dakota School of Mines and Technology

Southern Methodist University

STFC/RAL

University of Sussex

University of Texas, Arlington

University of Warwick

University of Wisconsin

T2HK

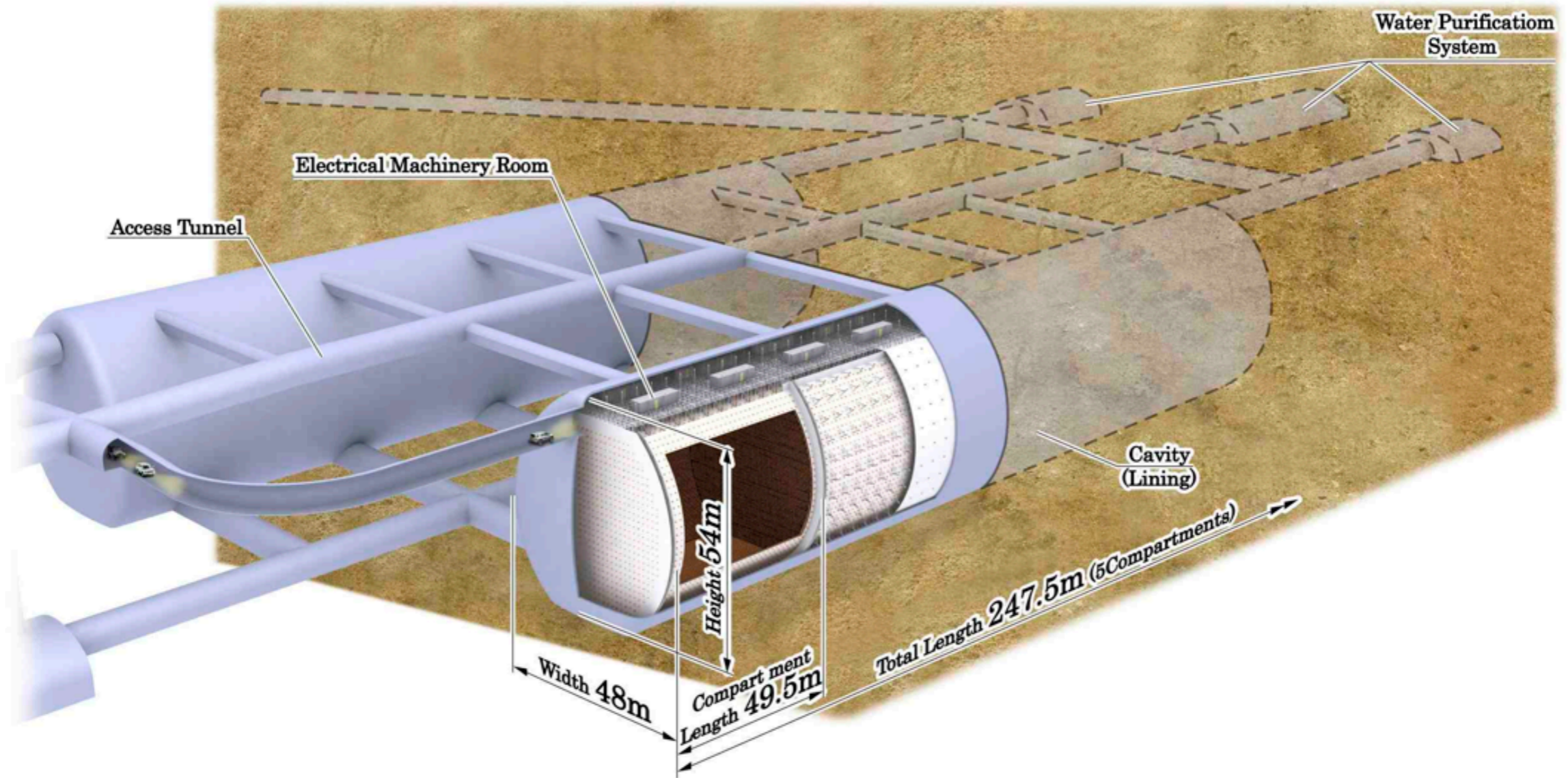
(Kamioka, Japonsko)

ハイパーカミオカンデ

T2HK



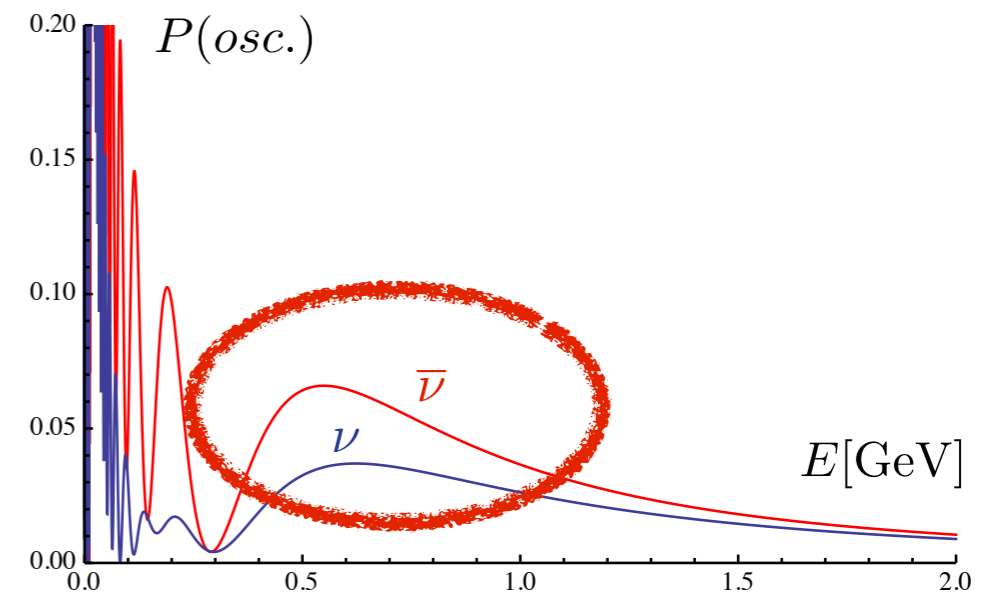
T2HK



Parametry: 1 Mt WC (550 kt FV) @ T2K beam (2.5 stupně off-axis)

CP efekt: $\nu_\mu \rightarrow \nu_e, \bar{\nu}_\mu \rightarrow \bar{\nu}_e$

3-sigma pokrytí : až 74% param. prostoru



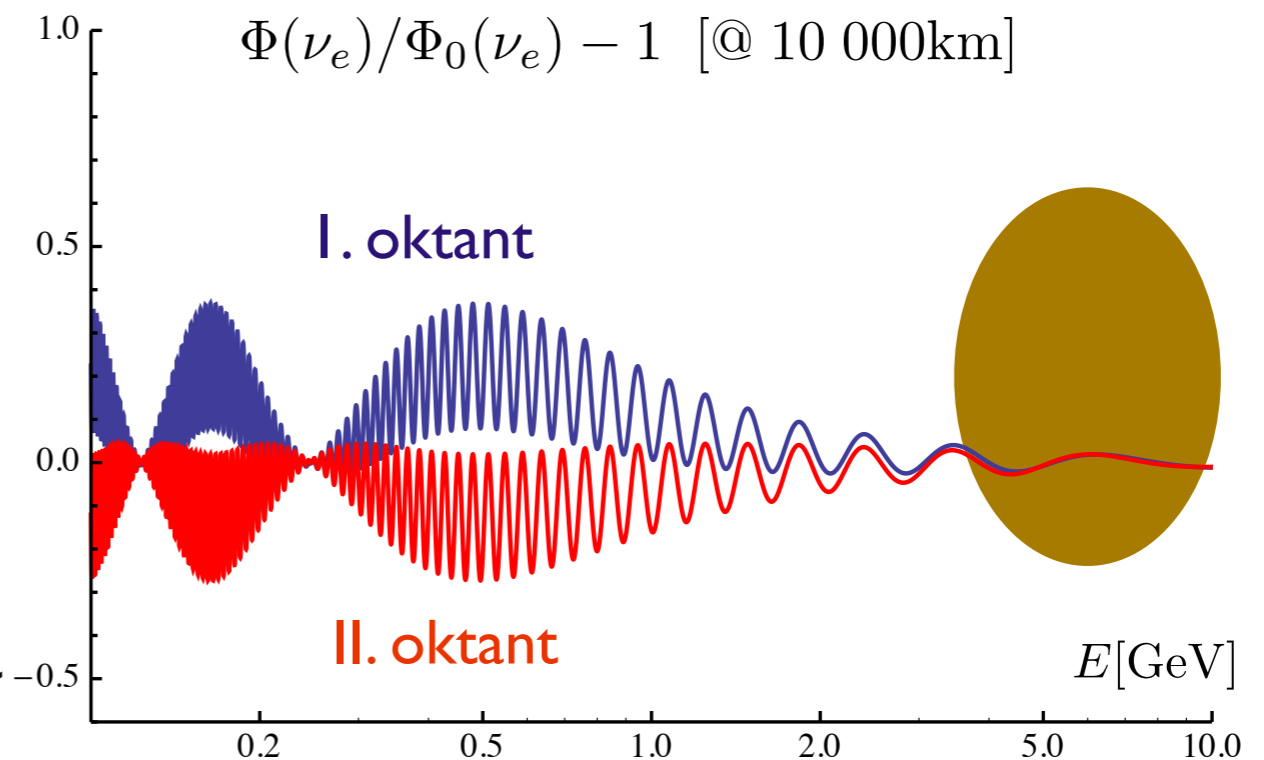
Atmosferická neutrina

Oktant θ_{23} ($> 90\%$ C.L.)

Hierarchie ($> 3\sigma$ C.L.)

NH: MSW efekt pro neutrina

IH: MSW efekt pro antineutrina



Novinky za posledních 9 měsíců

- v červnu proběhl v CERN 2. evropský otevřený mítink
- HK zařazen mezi 27 prioritních projektů jap. vědecké rady

Japanese master plan for large scale research projects

提 言

第 22 期学術の大型研究計画に関する マスタープラン (マスタープラン 2014)



平成26年(2014年)2月28日

日 本 学 術 会 議

科学者委員会

学術の大型研究計画検討分科会

分野	計画番号	学術領域番号	計画名称	計画の概要	学術的な意義
物理学	85	23-2	<p>大型先端検出器による核子崩壊・ニュートリノ振動実験 Nucleon decay and neutrino oscillation experiment with a large advanced detector</p>	<p>スーパーカミオカンデに代わる100万トン級水チェレンコフ検出器ハイパーカミオカンデを建設し、J-PARC加速器ニュートリノビームと組み合わせる事により、世界最先端の核子崩壊・ニュートリノ研究を行う。</p>	<p>ニュートリノにおけるCP対称性の破れ(粒子・反粒子対称性)の探索し、ニュートリノに満ちた宇宙の進化論に対する理解を深める。さらに核子崩壊探索と併せて、素粒子物理学の標準理論を超える物理の確立を目指す。</p>
	86	23-2	<p>高エネルギー重イオン衝突実験によるクォーク・グルーオン・プラズマ相の解明 Exploring quark-gluon-plasma with new phase of high-energy heavy-ion experiments</p>	<p>高エネルギー重イオン衝突実験(RHIC-PHENIX/LHC-ALICE 実験)を国際協力の下で推進し、宇宙開びやく直後の姿である新しい物質相QGP(クォーク・グルーオン・プラズマ)の物性科学を展開する。</p>	<p>ハドロン物質の相構造やQCDの理解を通じて、普遍的な物質相構造の理解が得られ、カイラル対称性の自発的破れ、クォークの閉じ込め機構、強度場の物理、非線形動力学など、関連物性現象の解明に繋がる。</p>
	87	23-2	<p>光子ビームによるクォーク核物理研究 Quark nuclear physics with photon beams</p>	<p>光子ビームによるクォーク核物理研究を推進し、量子色力学真空とハドロン内クォーク相関を究明する。東北大学電子光物理学研究拠点と大阪大学サブアトム科学研究所との拠点間連携研究計画である。</p>	<p>物質の質量の99.9%はハドロンに担っており、その98%はQCDの非摂動的な効果によるカイラル対称性の自発的破れによって創成されると考えられており、学術的観点からは複雑な階層の研究は避けられない。</p>
				カムランドを高性能化・汎用化	ニュートリノのマヨラナ性検

T2HK

Novinky za posledních 9 měsíců

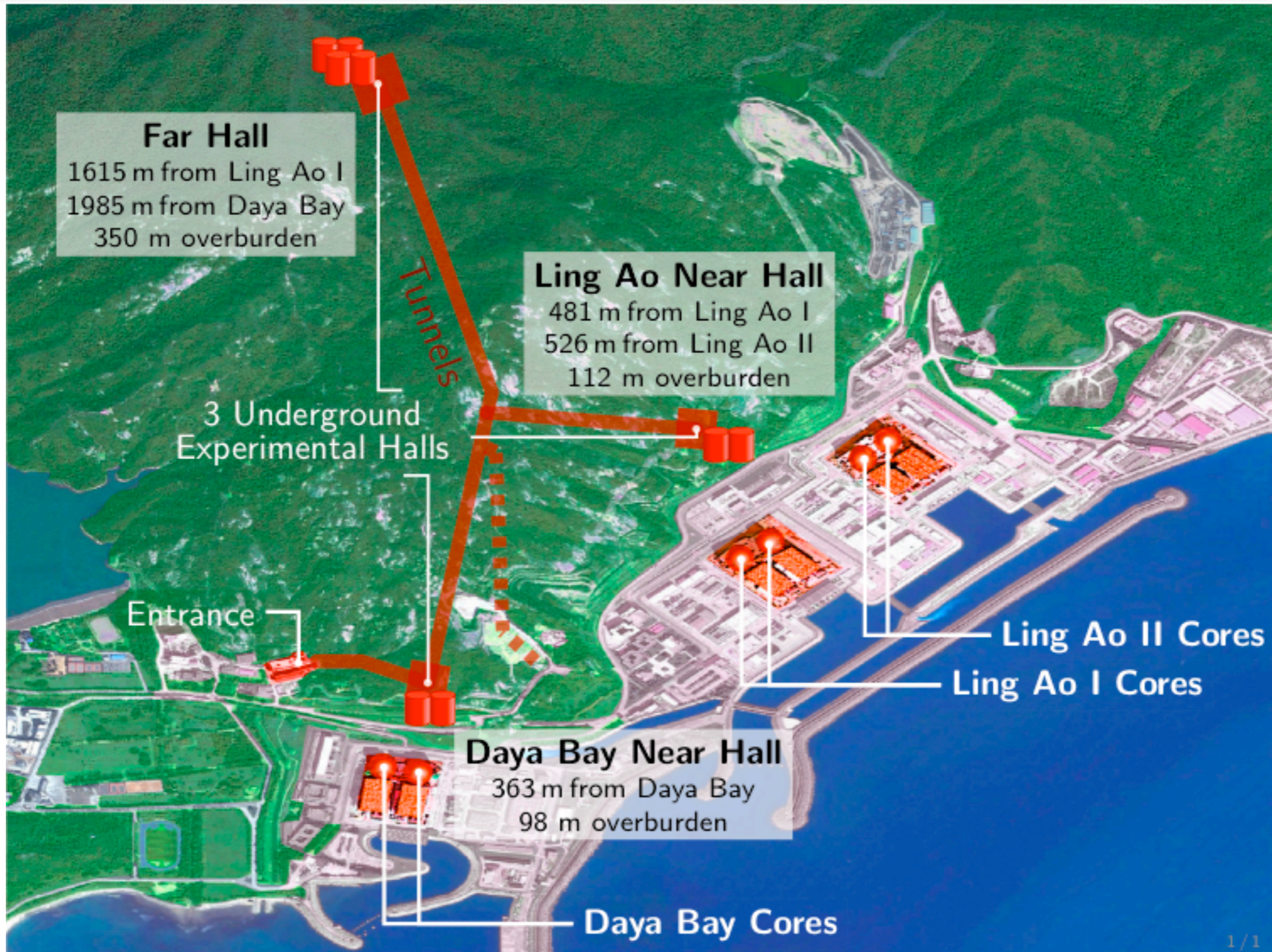
- v červnu proběhl v CERN 2. evropský otevřený mítink
- HK zařazen mezi 27 prioritních projektů jap. vědecké rady
- změna plánů, zpoždění cca 2 roky, start 2025
- financování R&D (jak Hyper-K tak T2K/J-PARC upgrade)
- R&D pro Hyper-K se soustředí na test-detektor a fotonásobiče

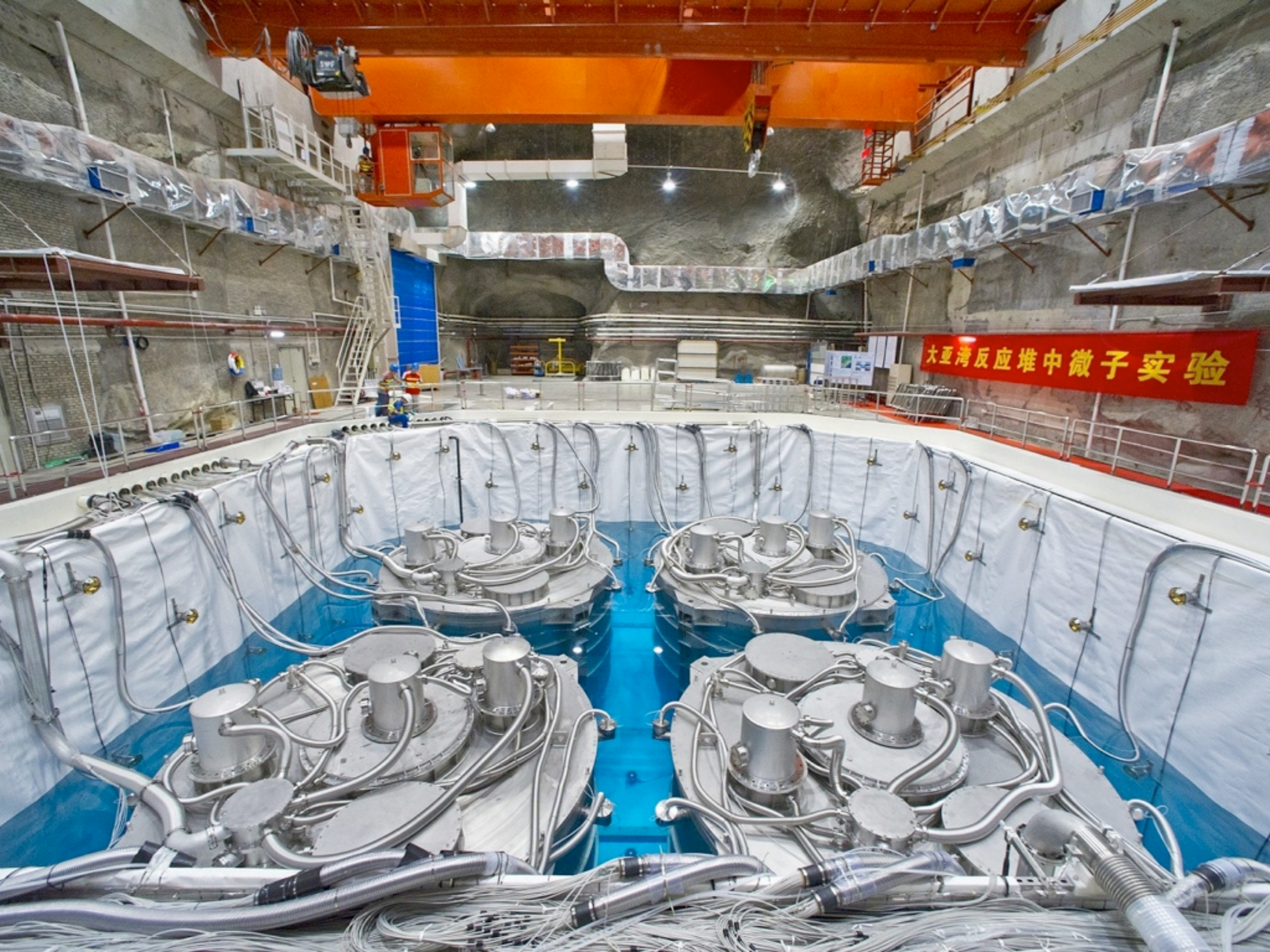
Reaktorová neutrina

(DayaBay, JUNO)

Daya Bay

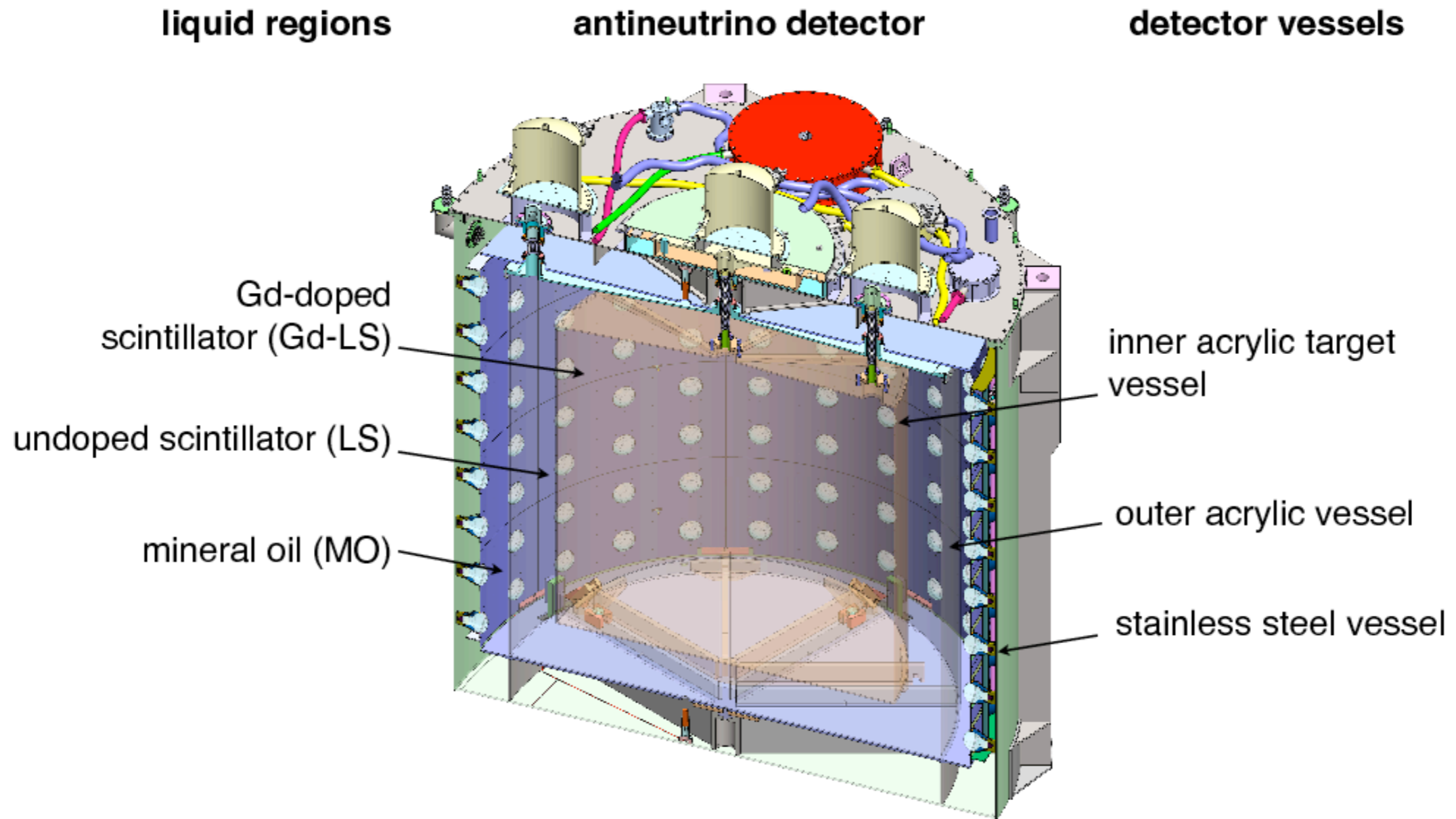
Daya Bay





大亚湾反应堆中微子实验

Daya Bay



Daya Bay

Preliminary

Novinky za posledních 9 měsíců

- Zpřesnění měření θ_{13} úhlu a Δm_{31}^2

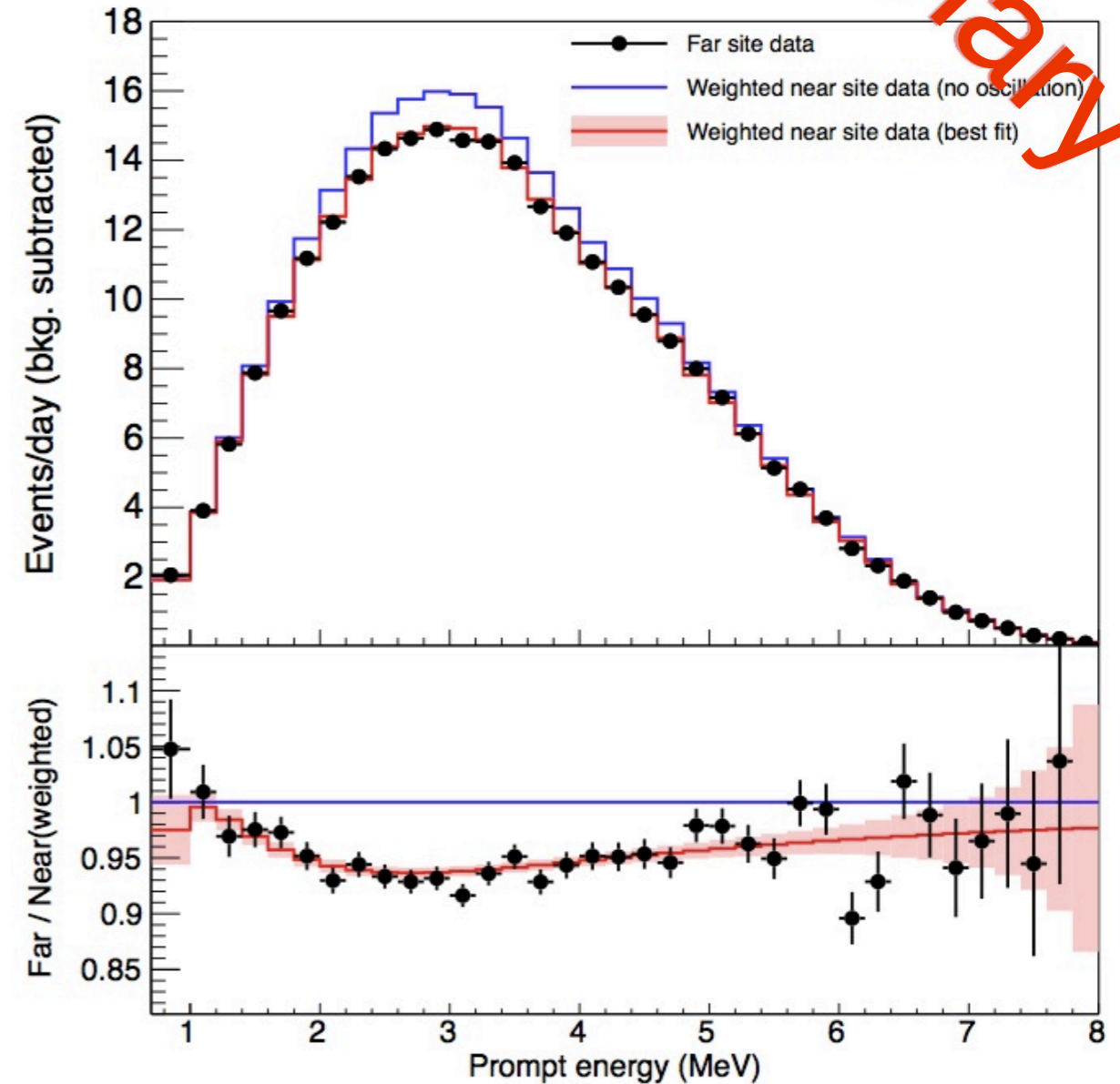
> 1 milion eventů → velká statistika

přesnost v θ_{13} lepší než 6%

$$\sin^2 2\theta_{13} = 0.084^{+0.005}_{-0.005}$$

$$|\Delta m_{ee}^2| = 2.44^{+0.10}_{-0.11} \times 10^{-3} \text{eV}^2$$

Nabírání dat do 2017, pak se uvidí

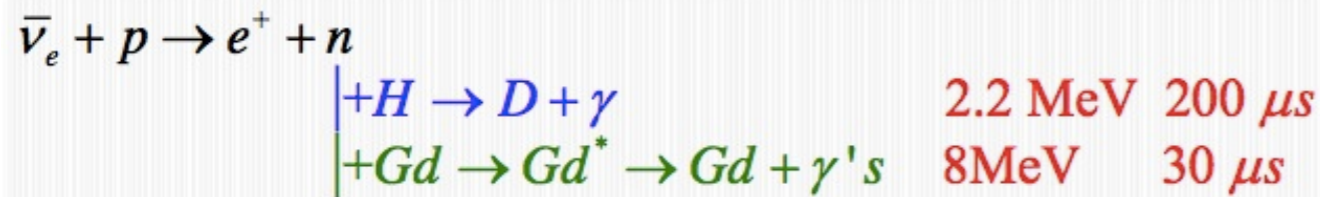


Obrázek: C. Zhang @ NEUTRINO 2014

Daya Bay

Novinky za posledních 9 měsíců

- Měření θ_{13} ze eventů tagovaných záchytem neutronu na H (vs. Gd)

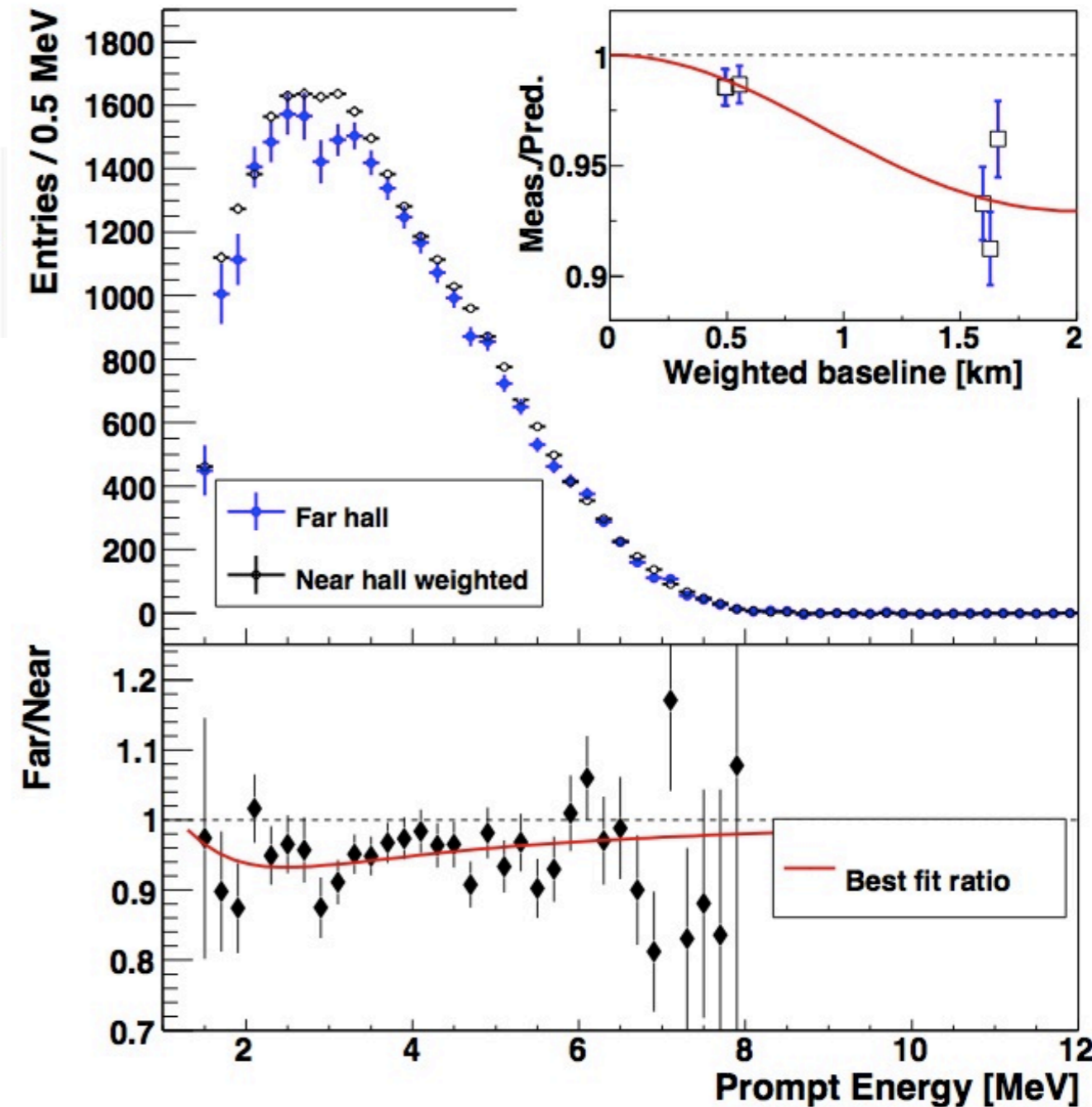


- + odlišná systematika
- + větší aktivní objem
- větší background
- nižší energie a delší prodleva fotonu

$$\sin^2 2\theta = 0.083 \pm 0.018$$

tj. cca 20% rel. chyba

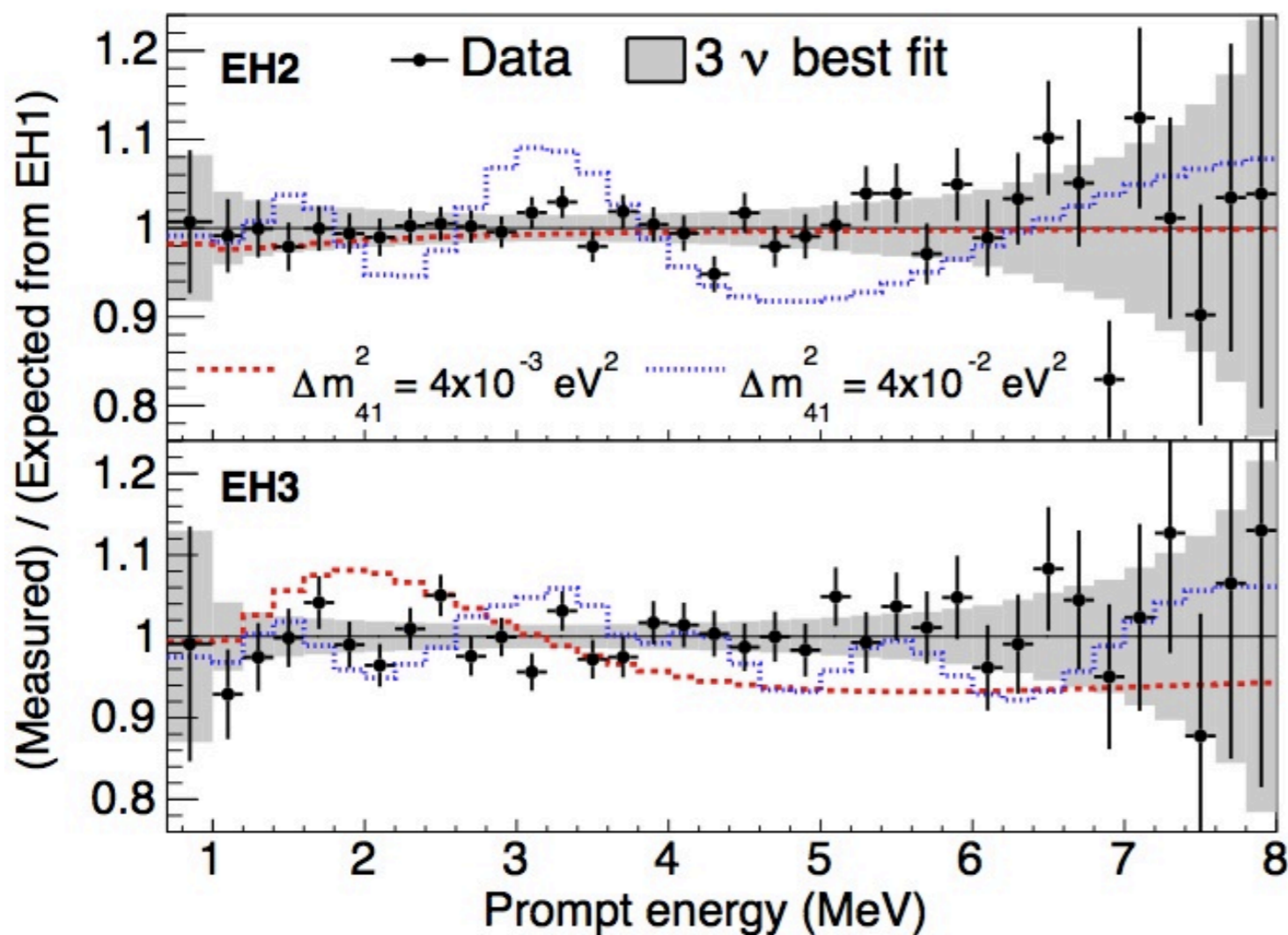
Phys.Rev. D90 (2014) 7, 071101



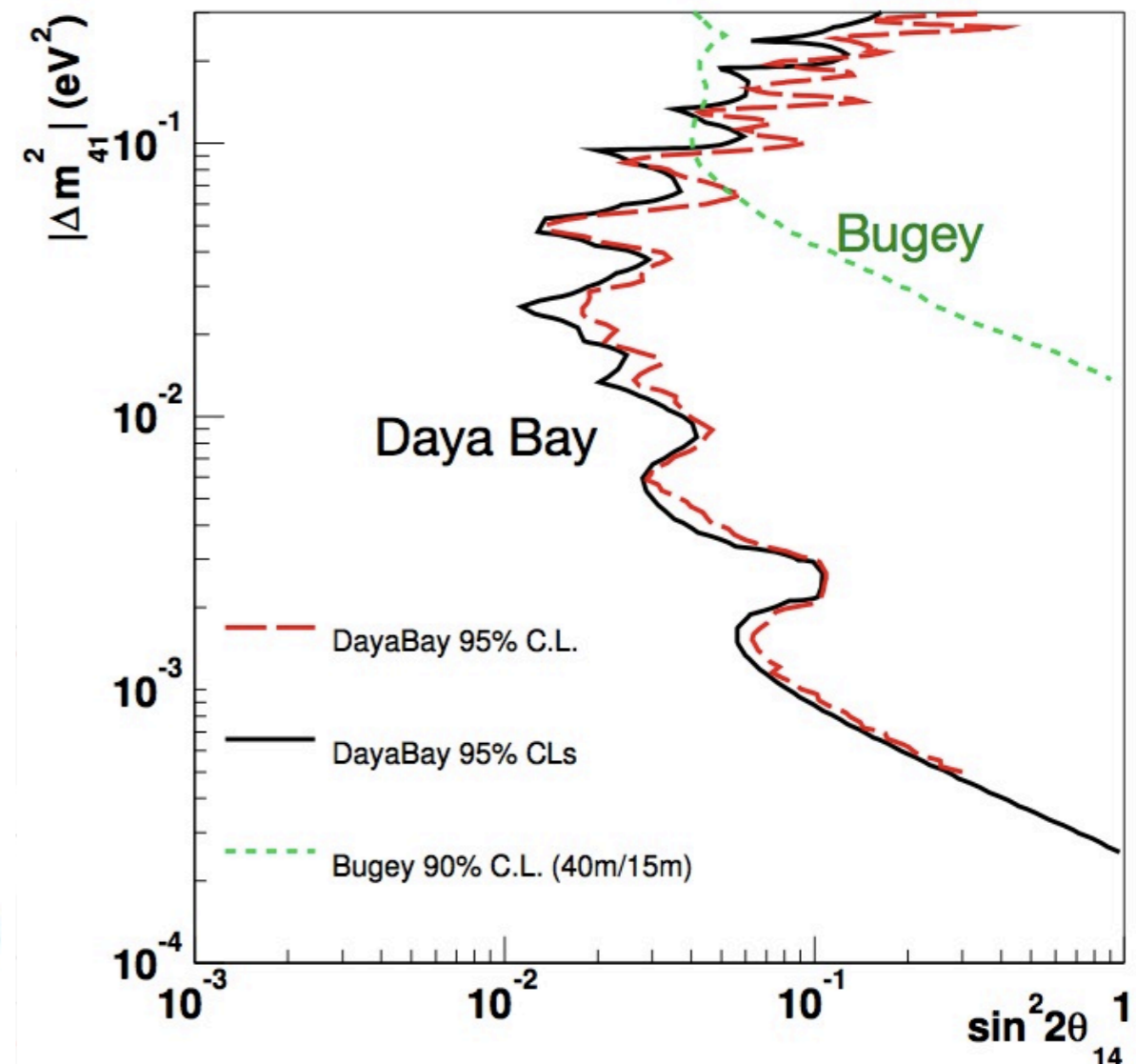
Daya Bay

Novinky za posledních 9 měsíců

- Další omezení na sterilní neutrina v oblasti $10^{-3} \text{ eV}^2 < \Delta m_{41}^2 < 0.1 \text{ eV}^2$



dashed curves assumes $\sin^2 2\theta_{14} = 0.1$



Obrázky: C. Zhang @ NEUTRINO 2014

Daya Bay v ČR

MFF

- Rupert Leitner - vedoucí a člen Publication comitee
- Bedrich Roskovec - nestandardní interakce neutrin
- Viktor Pec - analýza michelovských elektronů
- Vit Vorobel - testování a instalace RPC

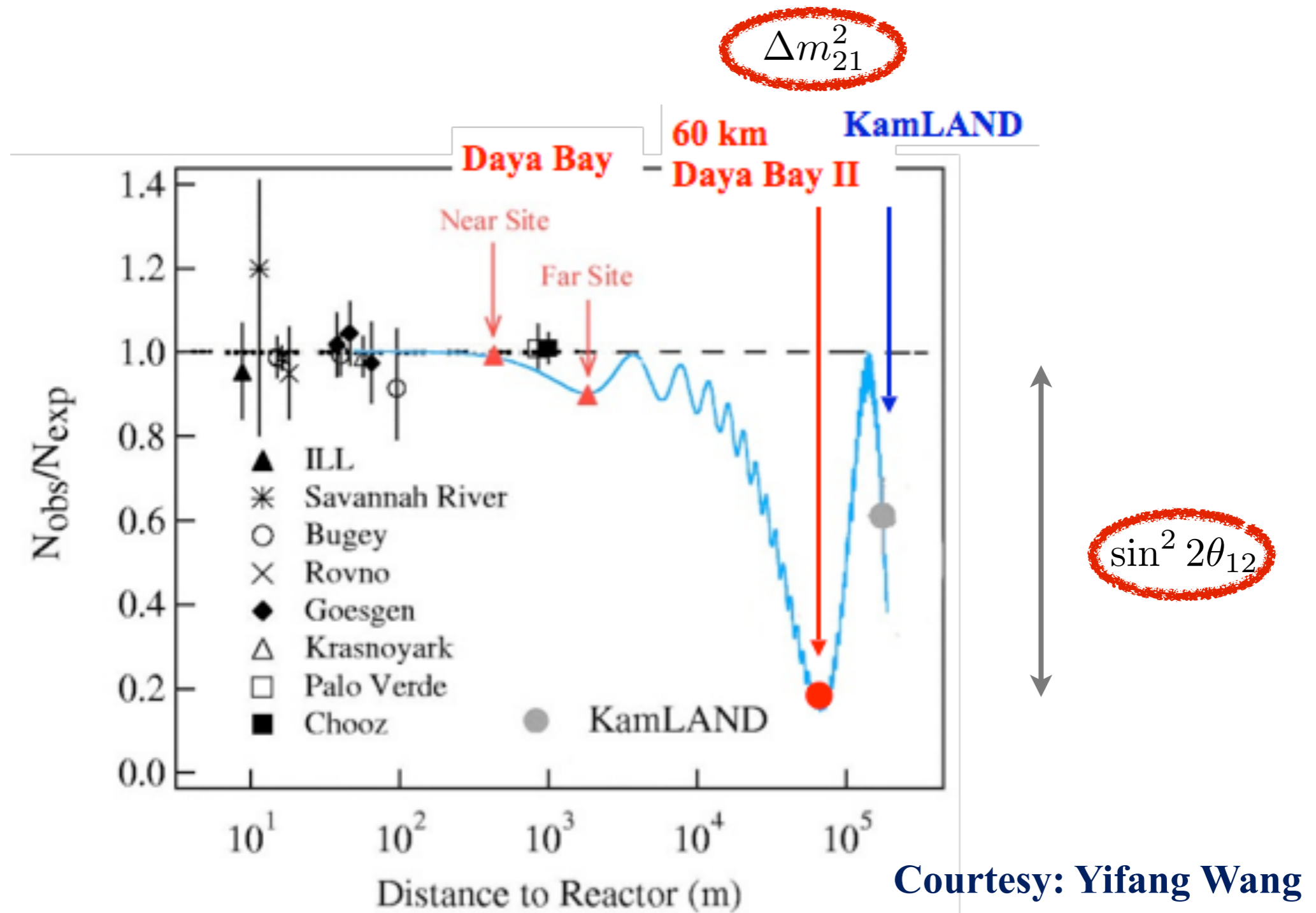
JUNO

(Jiangmen Underground Neutrino Observatory, Čína)

JUNO

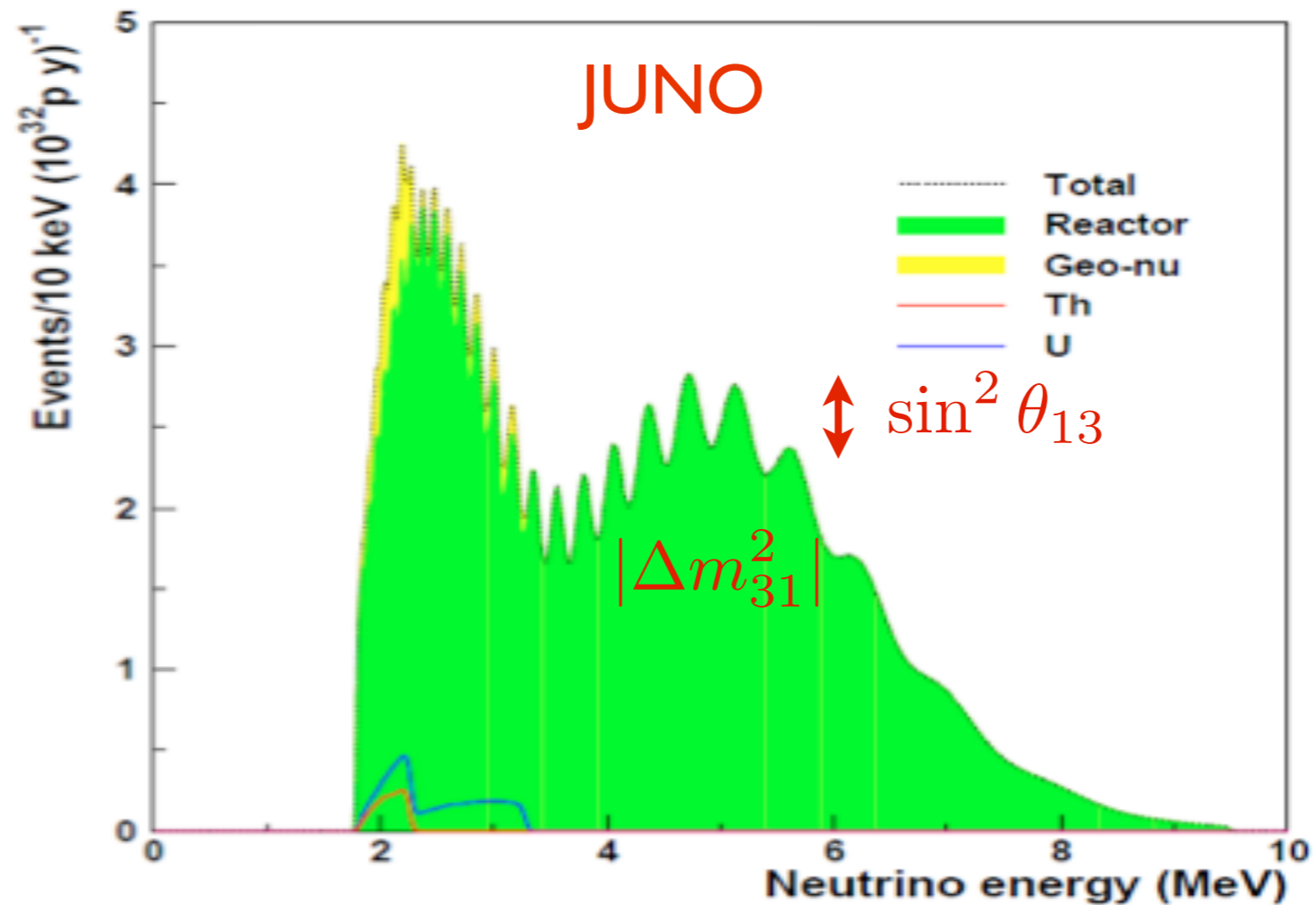


JUNO

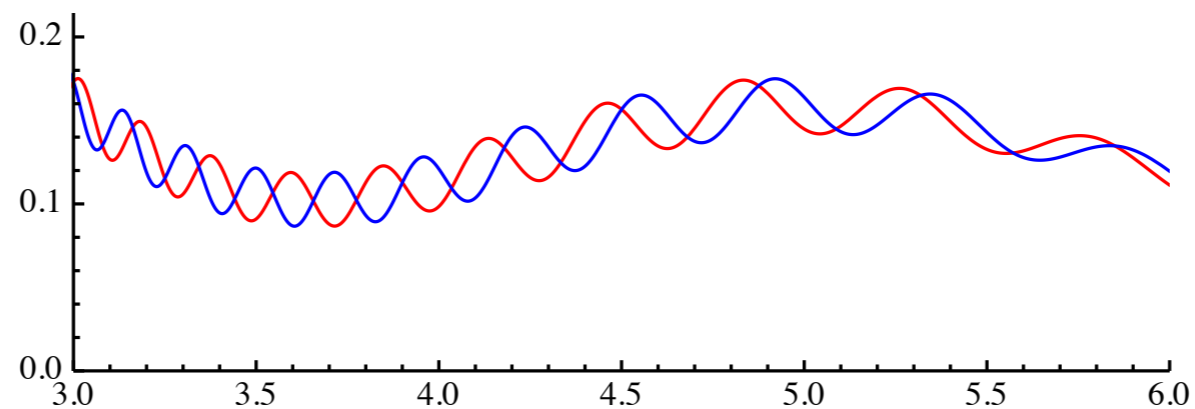


JUNO

Courtesy: Yifang Wang



Hierarchie:



$$\Delta E_\nu \lesssim 3\%$$

JUNO

Jiangmen Underground Neutrino Observatory

China to build a huge underground neutrino experiment

Mar 24, 2014 5 comments



Test site for the Jiangmen Underground Neutrino Observatory

“Work has started on a huge underground neutrino lab in China. The \$330m **Jiangmen Underground Neutrino Observatory** (JUNO) is being built in Kaiping City, Guangdong Province, in the south of the country around 150 km west of Hong Kong. When complete in 2020, JUNO is expected to run for more than 20 years, studying the relationship between the three types of neutrino: electron, muon and tau.”

Díky za pozornost !

Neutrino 2014 highlights

Novinky v oscilační fyzice

(od jara 2014)

Neutrino 2014 highlights

- První neutrinový event s $E \sim 2 \text{ PeV}$ na IceCube
-

Globální fity

Globální fity oscilačních parametrů

(jaro 2014)

Forero, Tortola, Valle
Phys.Rev. D86 (2012) 073012

Globální fity oscilačních parametrů

(podzim 2014)

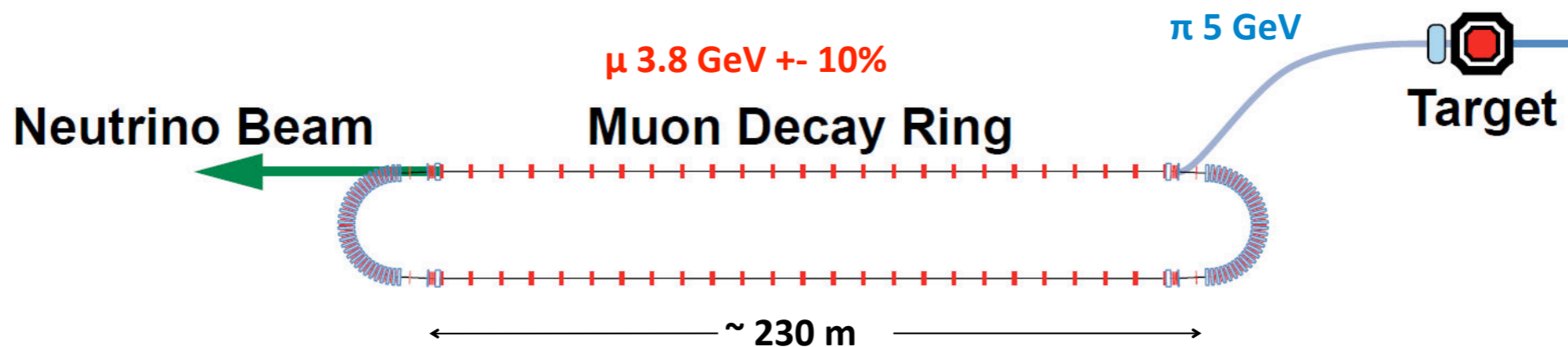
Forero, Tortola, Valle
Phys.Rev. D90 (2014) 093006

BACKUP SLIDES

nuSTORM

(mionový akumulční prsteneček)

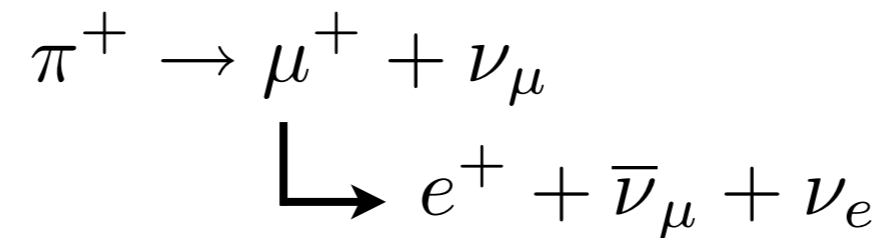
Fermilab/CERN?



nuSTORM

(mionový akumulární prsteneč)

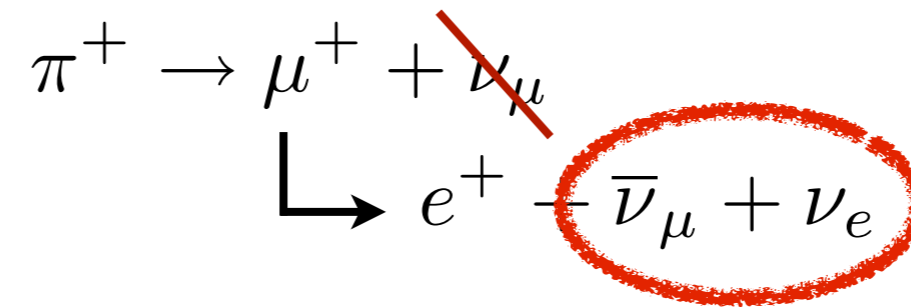
Neutrína z rozpadů akumulovaných mionů



nuSTORM

(mionový akumulární prsteneč)

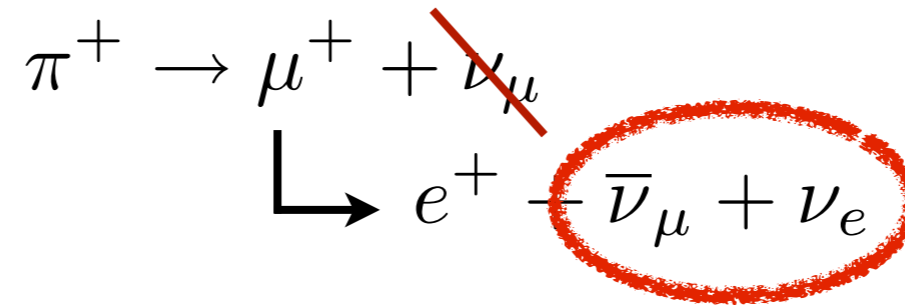
Neutrína z rozpadů akumulovaných mionů



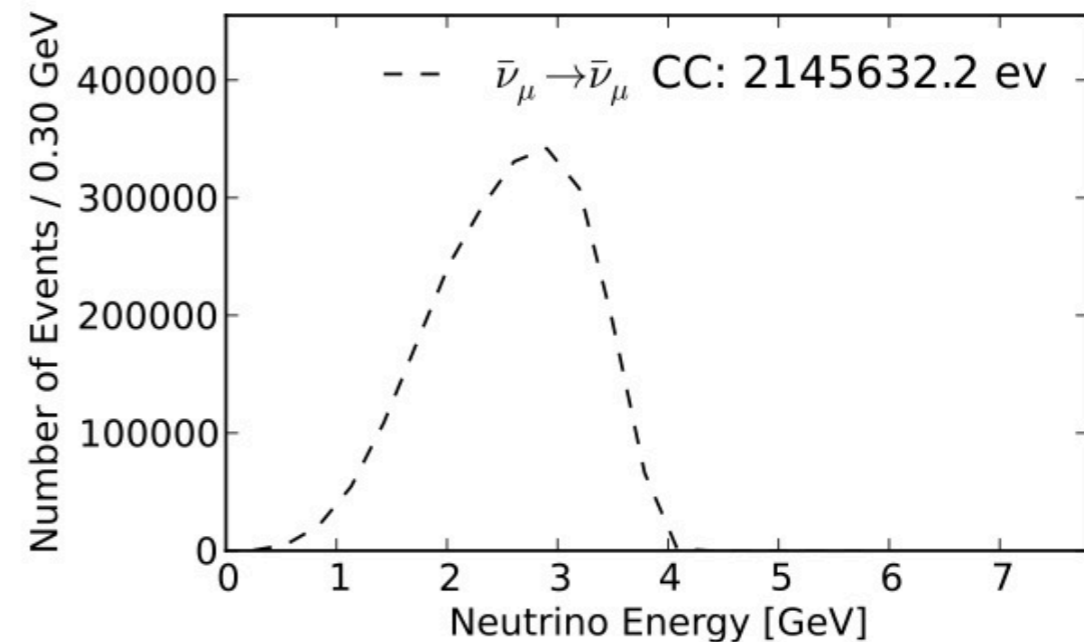
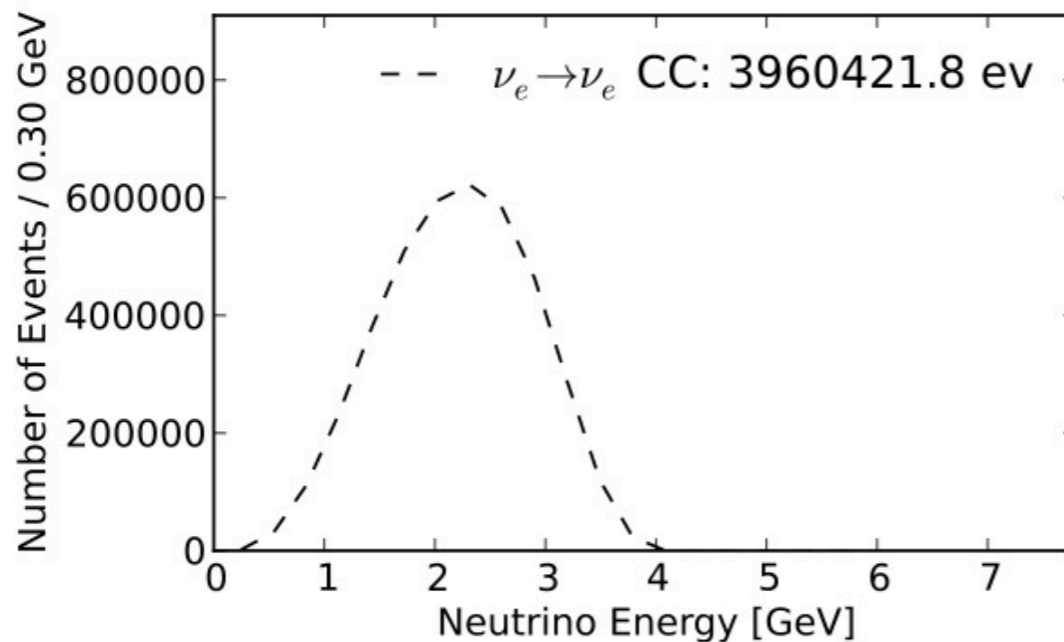
nuSTORM

(mionový akumulární prsteneček)

Neutrína z rozpadů akumulovaných mionů



Velmi detailní znalost spektra/kompozice svazku:



100T fid. vol. near detector @ 50m & 10^{21} POT, 4GeV muons

nuSTORM

(mionový akumulární prsteneč)

Detailní a definitivní test LSND anomálie (10 sigma) $\Delta m^2 \sim 1 \text{eV}^2$

CPT: $P(\bar{\nu}_\mu \rightarrow \bar{\nu}_e) = P(\nu_e \rightarrow \nu_\mu)$ $L_{\pi/2} \sim 10 \text{ m} \times \frac{E_\nu}{\text{MeV}}$

nuSTORM

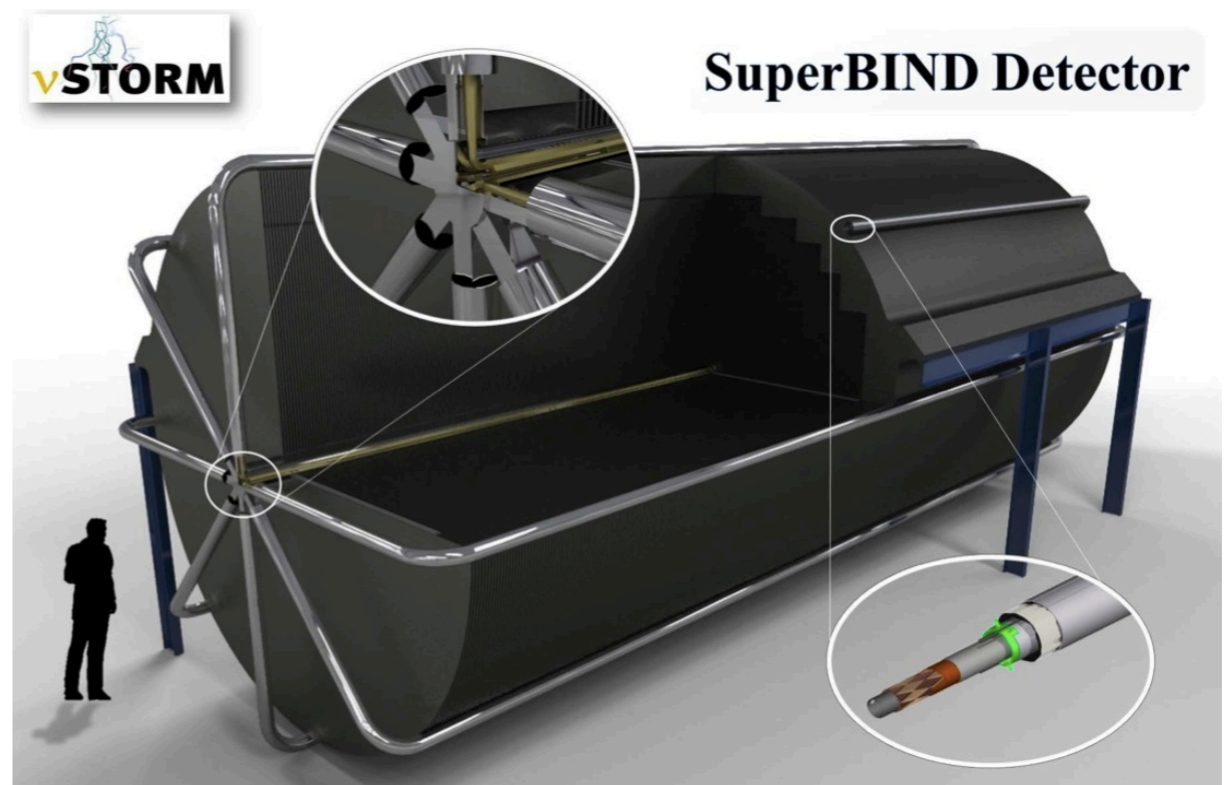
(mionový akumulční prsteneček)

Detailní a definitivní test LSND anomálie (10 sigma) $\Delta m^2 \sim 1 \text{eV}^2$

CPT: $P(\bar{\nu}_\mu \rightarrow \bar{\nu}_e) = P(\nu_e \rightarrow \nu_\mu)$

$$L_{\pi/2} \sim 10 \text{ m} \times \frac{E_\nu}{\text{MeV}}$$

Far detector @ 2 km



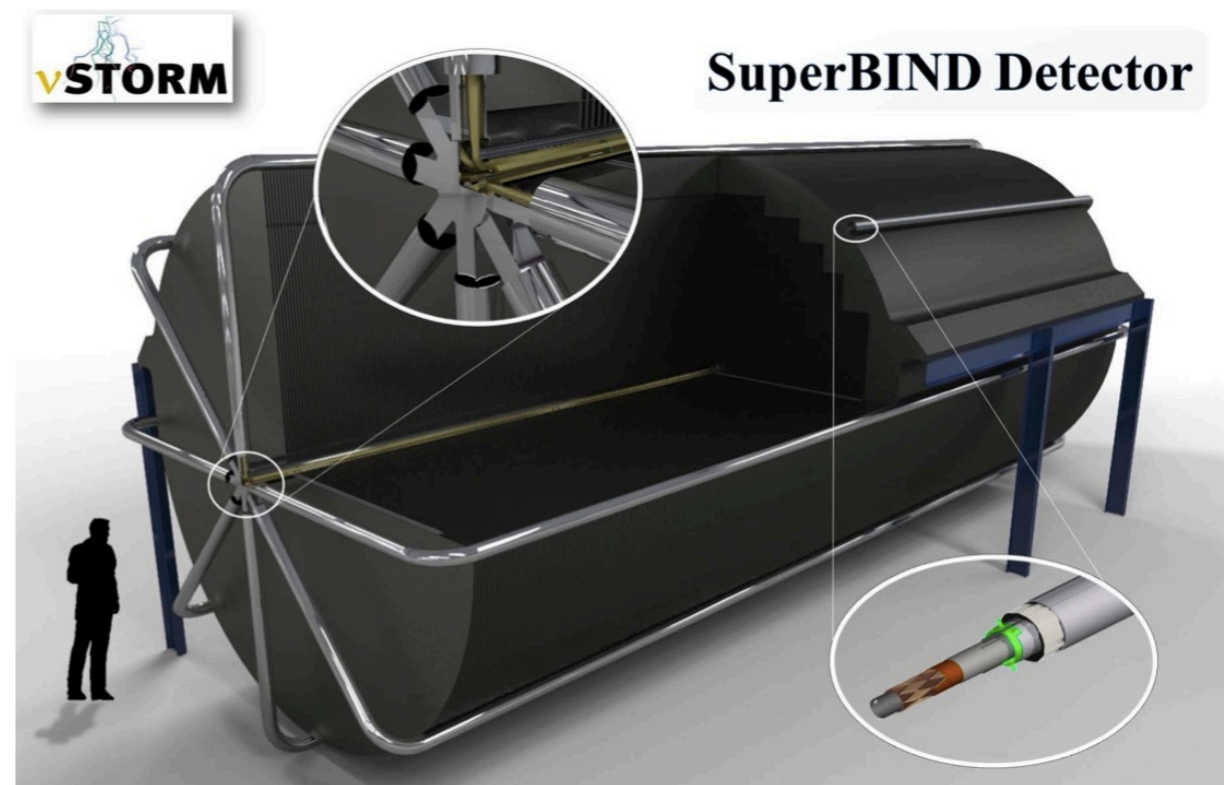
nuSTORM

(mionový akumulční prsteneček)

Detailní a definitivní test LSND anomálie (10 sigma) $\Delta m^2 \sim 1 \text{eV}^2$

CPT: $P(\bar{\nu}_\mu \rightarrow \bar{\nu}_e) = P(\nu_e \rightarrow \nu_\mu)$ $L_{\pi/2} \sim 10 \text{ m} \times \frac{E_\nu}{\text{MeV}}$

Far detector @ 2 km



Předstupeň mionového collideru v (daleké ?) budoucnosti

Přesná měření účinných průřezů GeV neutrin (hlavně ν_e) s jádry

nuSTORM

(mionový akumulární prstenec)

LOI podepsalo cca 100 lidí

(USA, Kanada, Indie, Japonsko, Francie, Itálie, Německo, Polsko, Španělsko, Velká Británie)

Status: LOI zaslán Fermilabu v roce 2013

Odhadovaná doba realizace cca 10 let (technologie existuje)

nuSTORM

(mionový akumulární prsteneč)

LOI podepsalo cca 100 lidí

(USA, Kanada, Indie, Japonsko, Francie, Itálie, Německo, Polsko, Španělsko, Velká Británie)

Status: LOI zaslán Fermilabu v roce 2013

Odhadovaná doba realizace cca 10 let (technologie existuje)

Odhad nákladů:

Sub System	Cost M\$ ¹
Primary Beam Line	24
Target Station	56
Transport Line	14
Decay Ring	82
Near Hall	29 ²
Far Detector	24 ³
Sub Total	229
Project Office	34 ⁴
Total	263

Praha, 11.3.2014

Neutrinové oscilační experimenty - výhled

Michal Malinský

ÚČJF MFF UK

Hmotná neutrina ve SM'

$$\mathcal{L}_{cc} \ni \bar{\ell}_\alpha \gamma^\mu (V_{\text{PMNS}})_{\alpha i} \nu_i W_\mu^- + h.c. \quad \mathcal{L}_{\mathcal{NC}} = \dots$$

$$\mathcal{L}_{mass} \ni m_i \bar{\nu}_{iL} \nu_{iR} + h.c. \quad \text{Dirac}$$

$$\mathcal{L}_{mass} \ni m_i \bar{\nu}_{iL}^c \nu_{iL} + h.c. \quad \text{Majorana}$$

$$V_{\text{PMNS}} = \begin{pmatrix} c_{12}c_{13} & s_{12}c_{13} & s_{13}e^{-i\delta} \\ -c_{23}s_{12} - s_{23}c_{12}s_{13}e^{i\delta} & c_{23}c_{12} - s_{23}s_{12}s_{13}e^{i\delta} & s_{23}c_{13} \\ s_{23}s_{12} - c_{23}c_{12}s_{13}e^{i\delta} & -s_{23}c_{12} - c_{23}s_{12}s_{13}e^{i\delta} & c_{23}c_{13} \end{pmatrix}$$

Hmotná neutrina ve SM'

$$\mathcal{L}_{cc} \ni \bar{\ell}_\alpha \gamma^\mu (V_{\text{PMNS}})_{\alpha i} \nu_i W_\mu^- + h.c. \quad \mathcal{L}_{\mathcal{NC}} = \dots$$

$$\mathcal{L}_{mass} \ni m_i \bar{\nu}_{iL} \nu_{iR} + h.c. \quad \text{Dirac}$$

$$\mathcal{L}_{mass} \ni m_i \bar{\nu}_{iL}^c \nu_{iL} + h.c. \quad \text{Majorana}$$

$$V_{\text{PMNS}} = \begin{pmatrix} c_{12}c_{13} & s_{12}c_{13} & s_{13}e^{-i\delta} \\ -c_{23}s_{12} - s_{23}c_{12}s_{13}e^{i\delta} & c_{23}c_{12} - s_{23}s_{12}s_{13}e^{i\delta} & s_{23}c_{13} \\ s_{23}s_{12} - c_{23}c_{12}s_{13}e^{i\delta} & -s_{23}c_{12} - c_{23}s_{12}s_{13}e^{i\delta} & c_{23}c_{13} \end{pmatrix}$$

3 úhly, 3 hmotnosti (oscilace vidí jen $\Delta m_{ij}^2 \equiv m_i^2 - m_j^2$), CP fáze

Majorana: 2 CP fáze navíc (neviditelné v oscilacích)

Oscilační parametry

JHEP12 (2012) 123

	bfp $\pm 1\sigma$	3σ range
$\sin^2 \theta_{12}$	$0.306^{+0.012}_{-0.012}$	$0.271 \rightarrow 0.346$
$\theta_{12}/^\circ$	$33.57^{+0.77}_{-0.75}$	$31.37 \rightarrow 36.01$
$\sin^2 \theta_{23}$	$0.446^{+0.008}_{-0.008} \oplus 0.593^{+0.027}_{-0.043}$	$0.366 \rightarrow 0.663$
$\theta_{23}/^\circ$	$41.9^{+0.5}_{-0.4} \oplus 50.3^{+1.6}_{-2.5}$	$37.2 \rightarrow 54.5$
$\sin^2 \theta_{13}$	$0.0231^{+0.0019}_{-0.0019}$	$0.0173 \rightarrow 0.0288$
$\theta_{13}/^\circ$	$8.73^{+0.35}_{-0.36}$	$7.56 \rightarrow 9.77$
$\delta_{CP}/^\circ$	266^{+55}_{-63}	$0 \rightarrow 360$
$\frac{\Delta m_{21}^2}{10^{-5} \text{ eV}^2}$	$7.45^{+0.19}_{-0.16}$	$6.98 \rightarrow 8.05$
$\frac{\Delta m_{31}^2}{10^{-3} \text{ eV}^2}$ (N)	$+2.417^{+0.014}_{-0.014}$	$+2.247 \rightarrow +2.623$
$\frac{\Delta m_{32}^2}{10^{-3} \text{ eV}^2}$ (I)	$-2.411^{+0.062}_{-0.062}$	$-2.602 \rightarrow -2.226$

Oscilační parametry

JHEP12 (2012) 123

	bfp $\pm 1\sigma$	3σ range
$\sin^2 \theta_{12}$	$0.306^{+0.012}_{-0.012}$	$0.271 \rightarrow 0.346$
$\theta_{12}/^\circ$	$33.57^{+0.77}_{-0.75}$	$31.37 \rightarrow 36.01$
$\sin^2 \theta_{23}$	$0.446^{+0.008}_{-0.008} \oplus 0.593^{+0.027}_{-0.043}$	$0.366 \rightarrow 0.663$
$\theta_{23}/^\circ$	$41.9^{+0.5}_{-0.4} \oplus 50.3^{+1.6}_{-2.5}$	$37.2 \rightarrow 54.5$
$\sin^2 \theta_{13}$	$0.0231^{+0.0019}_{-0.0019}$	$0.0173 \rightarrow 0.0288$
$\theta_{13}/^\circ$	$8.73^{+0.35}_{-0.36}$	$7.56 \rightarrow 9.77$
$\delta_{CP}/^\circ$	266^{+55}_{-63}	$0 \rightarrow 360$
$\frac{\Delta m_{21}^2}{10^{-5} \text{ eV}^2}$	$7.45^{+0.19}_{-0.16}$	$6.98 \rightarrow 8.05$
$\frac{\Delta m_{31}^2}{10^{-3} \text{ eV}^2}$ (N)	$+2.417^{+0.014}_{-0.014}$	$+2.247 \rightarrow +2.623$
$\frac{\Delta m_{32}^2}{10^{-3} \text{ eV}^2}$ (I)	$-2.411^{+0.062}_{-0.062}$	$-2.602 \rightarrow -2.226$

Daya Bay

Oscilační parametry

JHEP12 (2012) 123

	bfp $\pm 1\sigma$	3σ range
$\sin^2 \theta_{12}$	$0.306^{+0.012}_{-0.012}$	$0.271 \rightarrow 0.346$
$\theta_{12}/^\circ$	$33.57^{+0.77}_{-0.75}$	$31.37 \rightarrow 36.01$
$\sin^2 \theta_{23}$	$0.446^{+0.008}_{-0.008} \oplus 0.593^{+0.027}_{-0.043}$	$0.366 \rightarrow 0.663$
$\theta_{23}/^\circ$	$41.9^{+0.5}_{-0.4} \oplus 50.3^{+1.6}_{-2.5}$	$37.2 \rightarrow 54.5$
$\sin^2 \theta_{13}$	$0.0231^{+0.0019}_{-0.0019}$	$0.0173 \rightarrow 0.0288$
$\theta_{13}/^\circ$	$8.73^{+0.35}_{-0.36}$	$7.56 \rightarrow 9.77$
$\delta_{CP}/^\circ$	266^{+55}_{-63}	$0 \rightarrow 360$
$\frac{\Delta m_{21}^2}{10^{-5} \text{ eV}^2}$	$7.45^{+0.19}_{-0.16}$	$6.98 \rightarrow 8.05$
$\frac{\Delta m_{31}^2}{10^{-3} \text{ eV}^2}$ (N)	$+2.417^{+0.014}_{-0.014}$	$+2.247 \rightarrow +2.623$
$\frac{\Delta m_{32}^2}{10^{-3} \text{ eV}^2}$ (I)	$-2.411^{+0.062}_{-0.062}$	$-2.602 \rightarrow -2.226$

Daya Bay

CP narušení
(Dirakovská fáze)

Oscilační parametry

JHEP12 (2012) 123

	bfp $\pm 1\sigma$	3σ range	
$\sin^2 \theta_{12}$	$0.306^{+0.012}_{-0.012}$	$0.271 \rightarrow 0.346$	
$\theta_{12}/^\circ$	$33.57^{+0.77}_{-0.75}$	$31.37 \rightarrow 36.01$	
$\sin^2 \theta_{23}$	$0.446^{+0.008}_{-0.008} \oplus 0.593^{+0.027}_{-0.043}$	$0.366 \rightarrow 0.663$	
$\theta_{23}/^\circ$	$41.9^{+0.5}_{-0.4} \oplus 50.3^{+1.6}_{-2.5}$	$37.2 \rightarrow 54.5$	
$\sin^2 \theta_{13}$	$0.0231^{+0.0019}_{-0.0019}$	$0.0173 \rightarrow 0.0288$	Daya Bay
$\theta_{13}/^\circ$	$8.73^{+0.35}_{-0.36}$	$7.56 \rightarrow 9.77$	
$\delta_{CP}/^\circ$	266^{+55}_{-63}	$0 \rightarrow 360$	CP narušení (Dirakovská fáze)
$\frac{\Delta m_{21}^2}{10^{-5} \text{ eV}^2}$	$7.45^{+0.19}_{-0.16}$	$6.98 \rightarrow 8.05$	
$\frac{\Delta m_{31}^2}{10^{-3} \text{ eV}^2}$ (N)	$+2.417^{+0.014}_{-0.014}$	$+2.247 \rightarrow +2.623$	Hierarchie
$\frac{\Delta m_{32}^2}{10^{-3} \text{ eV}^2}$ (I)	$-2.411^{+0.062}_{-0.062}$	$-2.602 \rightarrow -2.226$	

Oscilační parametry

JHEP12 (2012) 123

	bfp $\pm 1\sigma$	3σ range	
$\sin^2 \theta_{12}$	$0.306^{+0.012}_{-0.012}$	$0.271 \rightarrow 0.346$	
$\theta_{12}/^\circ$	$33.57^{+0.77}_{-0.75}$	$31.37 \rightarrow 36.01$	
$\sin^2 \theta_{23}$	$0.446^{+0.008}_{-0.008} \oplus 0.593^{+0.027}_{-0.043}$	$0.366 \rightarrow 0.663$	
$\theta_{23}/^\circ$	$41.9^{+0.5}_{-0.4} \oplus 50.3^{+1.6}_{-2.5}$	$37.2 \rightarrow 54.5$	Oktant \square_3
$\sin^2 \theta_{13}$	$0.0231^{+0.0019}_{-0.0019}$	$0.0173 \rightarrow 0.0288$	Daya Bay
$\theta_{13}/^\circ$	$8.73^{+0.35}_{-0.36}$	$7.56 \rightarrow 9.77$	
$\delta_{CP}/^\circ$	266^{+55}_{-63}	$0 \rightarrow 360$	CP narušení (Dirakovská fáze)
$\frac{\Delta m_{21}^2}{10^{-5} \text{ eV}^2}$	$7.45^{+0.19}_{-0.16}$	$6.98 \rightarrow 8.05$	
$\frac{\Delta m_{31}^2}{10^{-3} \text{ eV}^2}$ (N)	$+2.417^{+0.014}_{-0.014}$	$+2.247 \rightarrow +2.623$	Hierarchie
$\frac{\Delta m_{32}^2}{10^{-3} \text{ eV}^2}$ (I)	$-2.411^{+0.062}_{-0.062}$	$-2.602 \rightarrow -2.226$	

Reaktorová neutrina

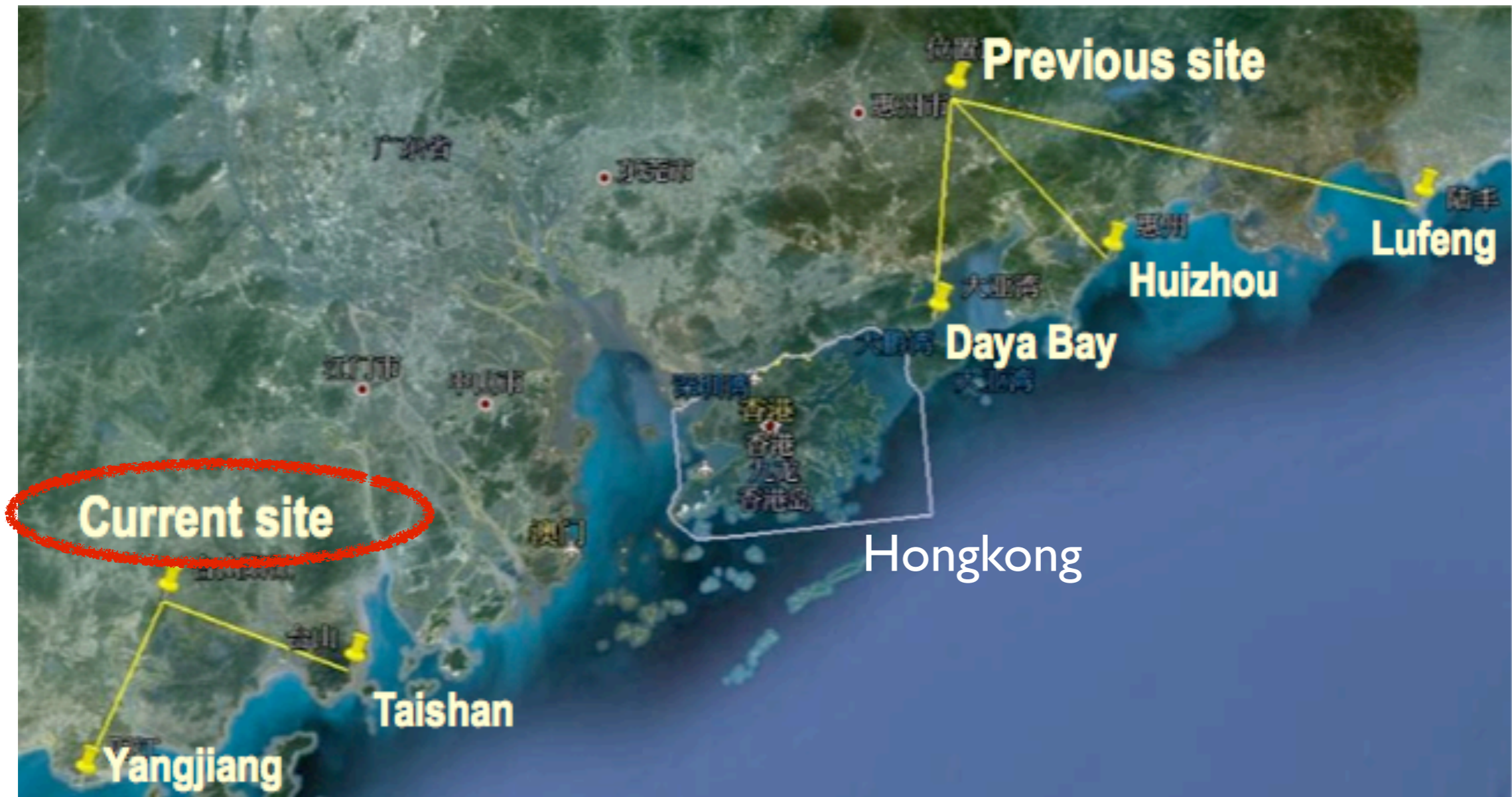
JUNO

(Jiangmen Underground Neutrino Observatory, Čína)

JUNO

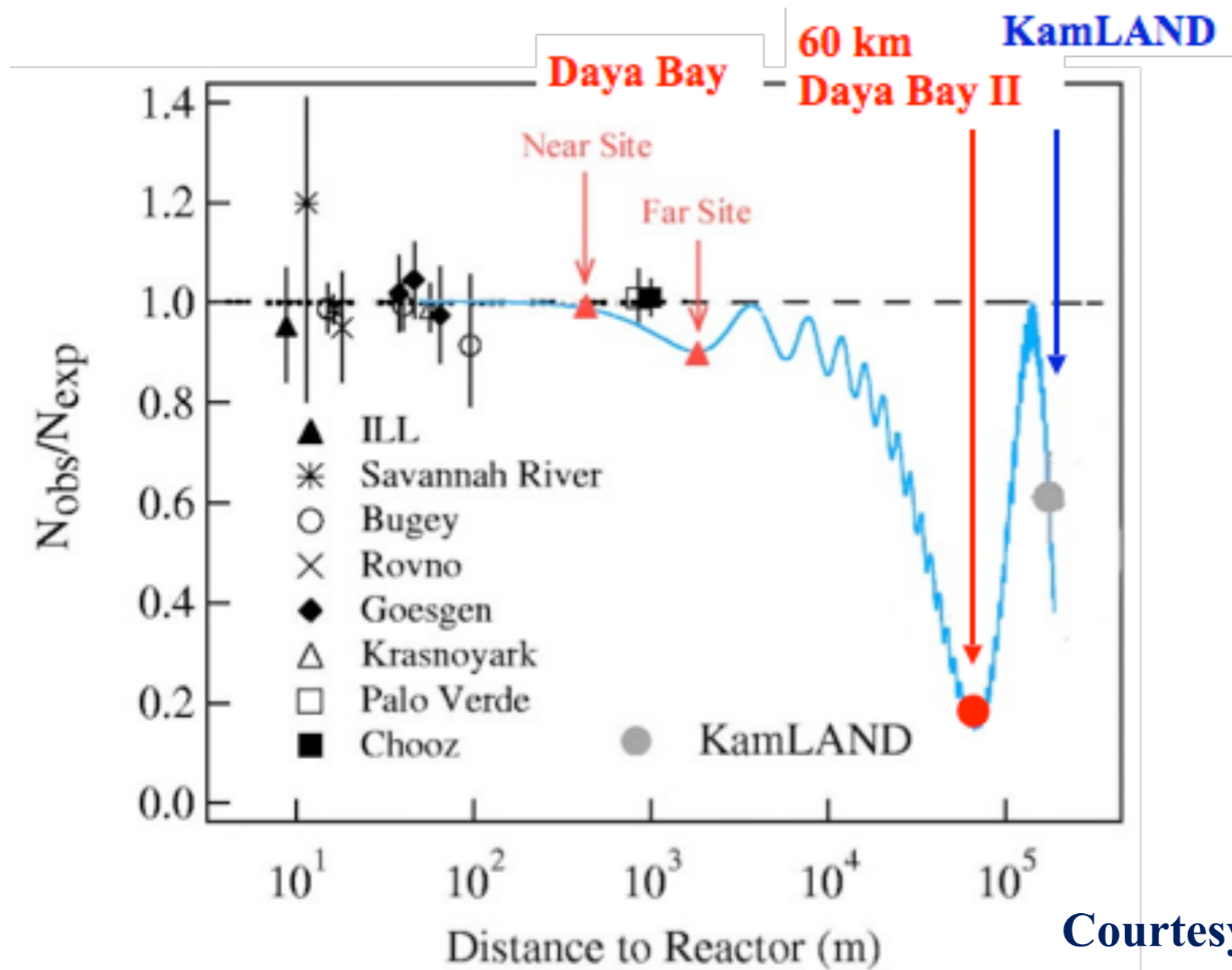
(reaktorová neutrina)

Jiangmen Underground Neutrino Observatory (Daya Bay II)



JUNO

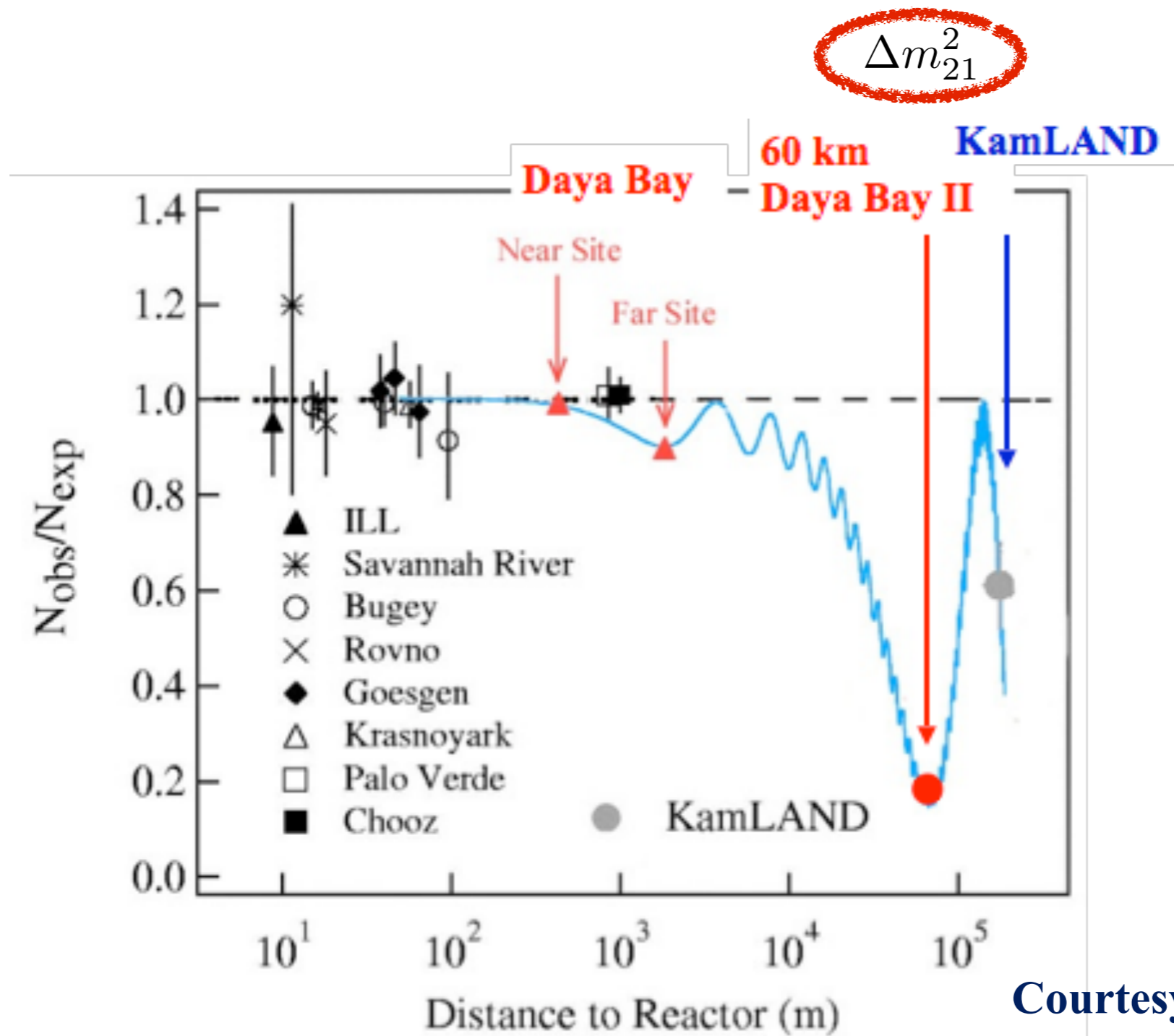
(reaktorová neutrina)



Courtesy: Yifang Wang

JUNO

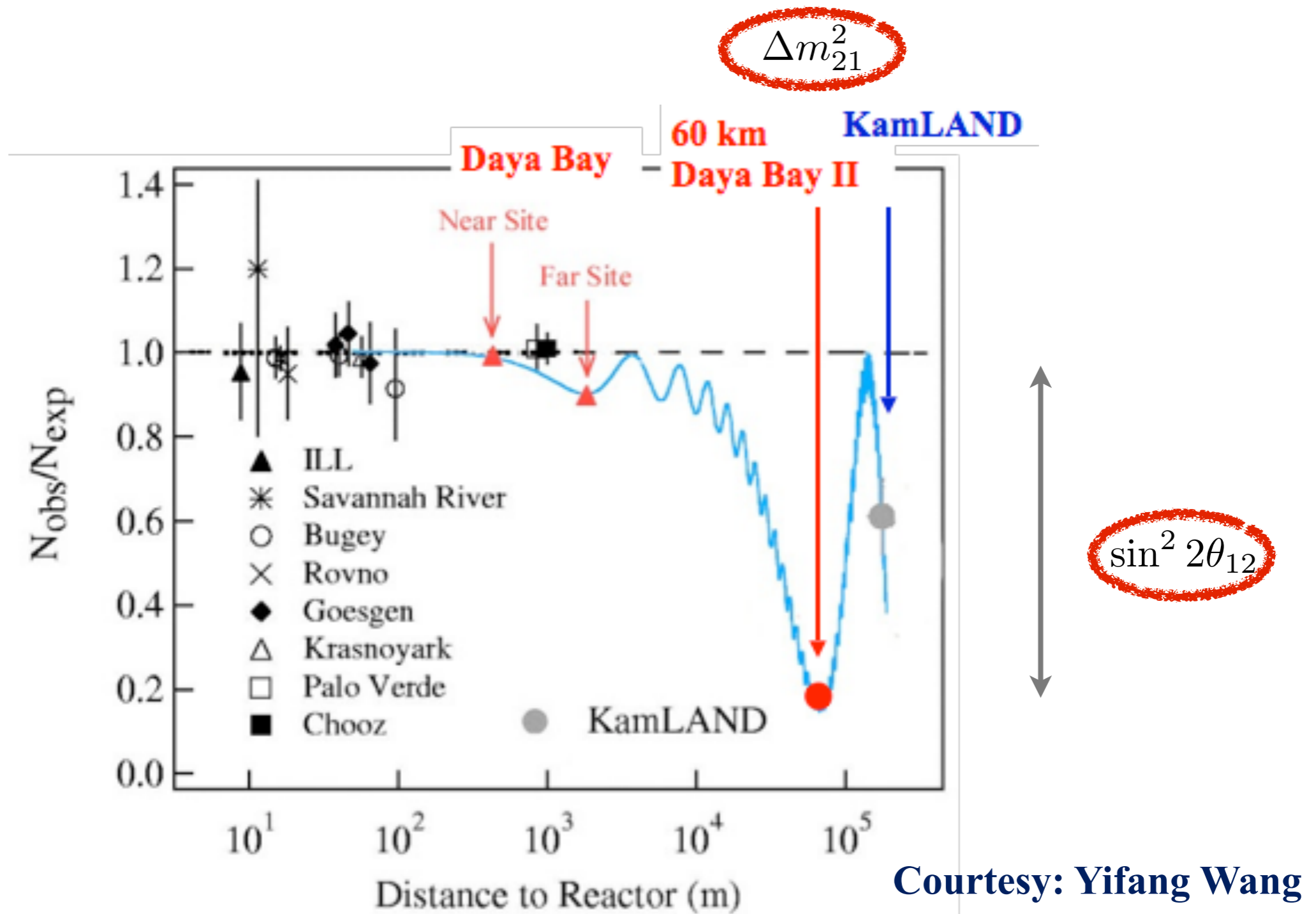
(reaktorová neutrina)



Courtesy: Yifang Wang

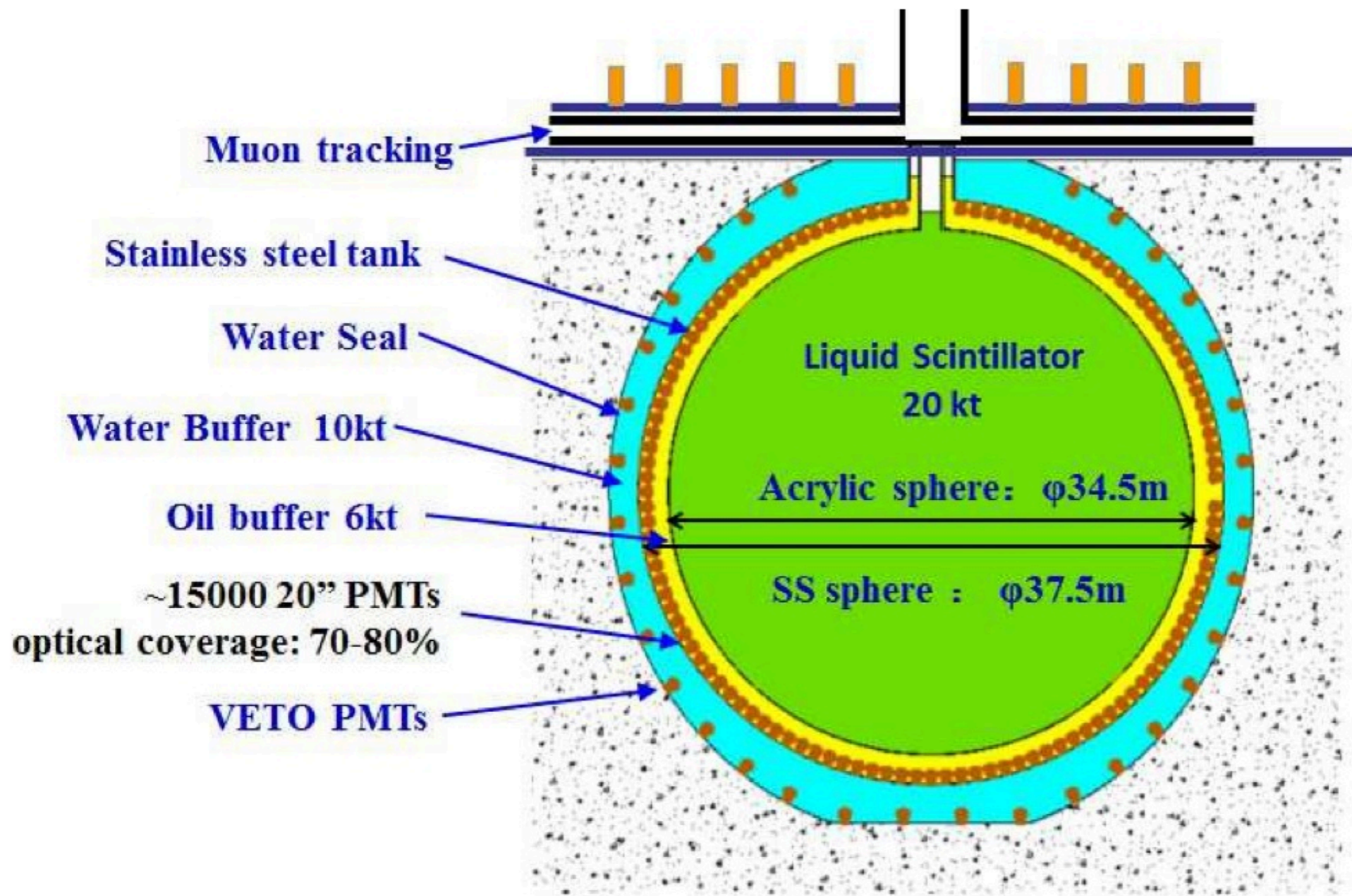
JUNO

(reaktorová neutrína)



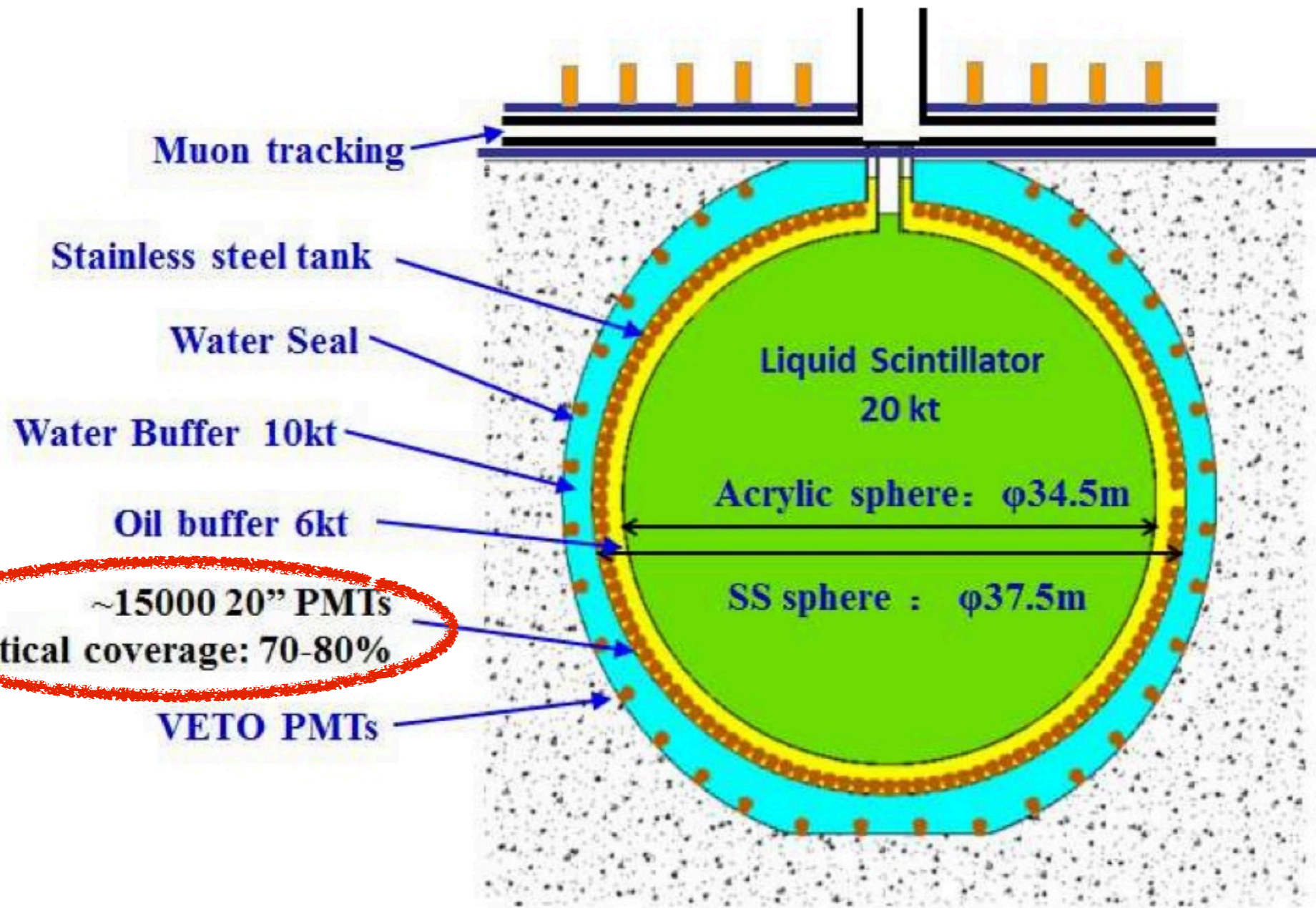
JUNO

(reaktorová neutrina)



JUNO

(reaktorová neutrina)

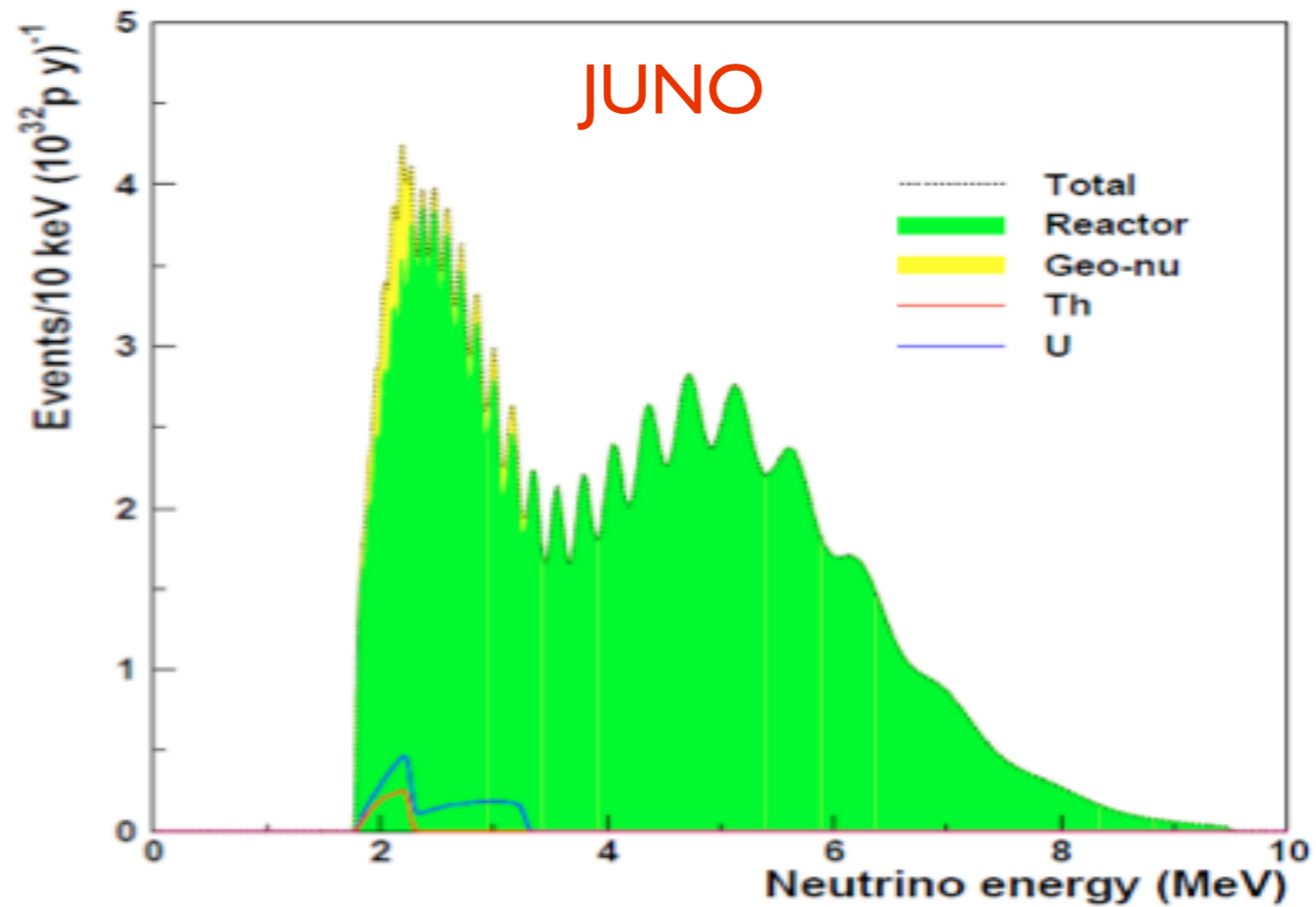


$$\Delta E_\nu \lesssim 3\%$$

JUNO

(reaktorová neutrina)

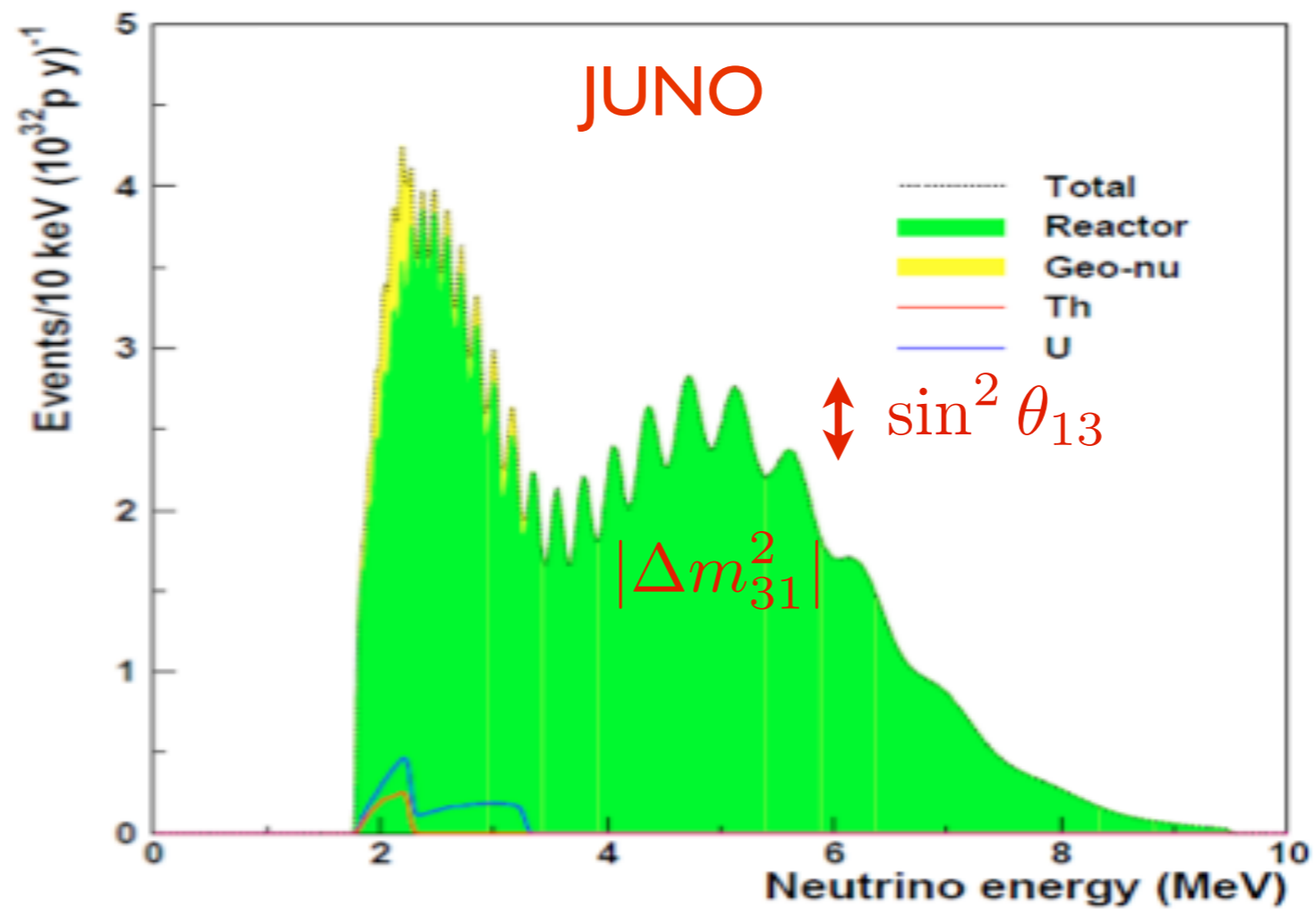
Courtesy: Yifang Wang



JUNO

(reaktorová neutrina)

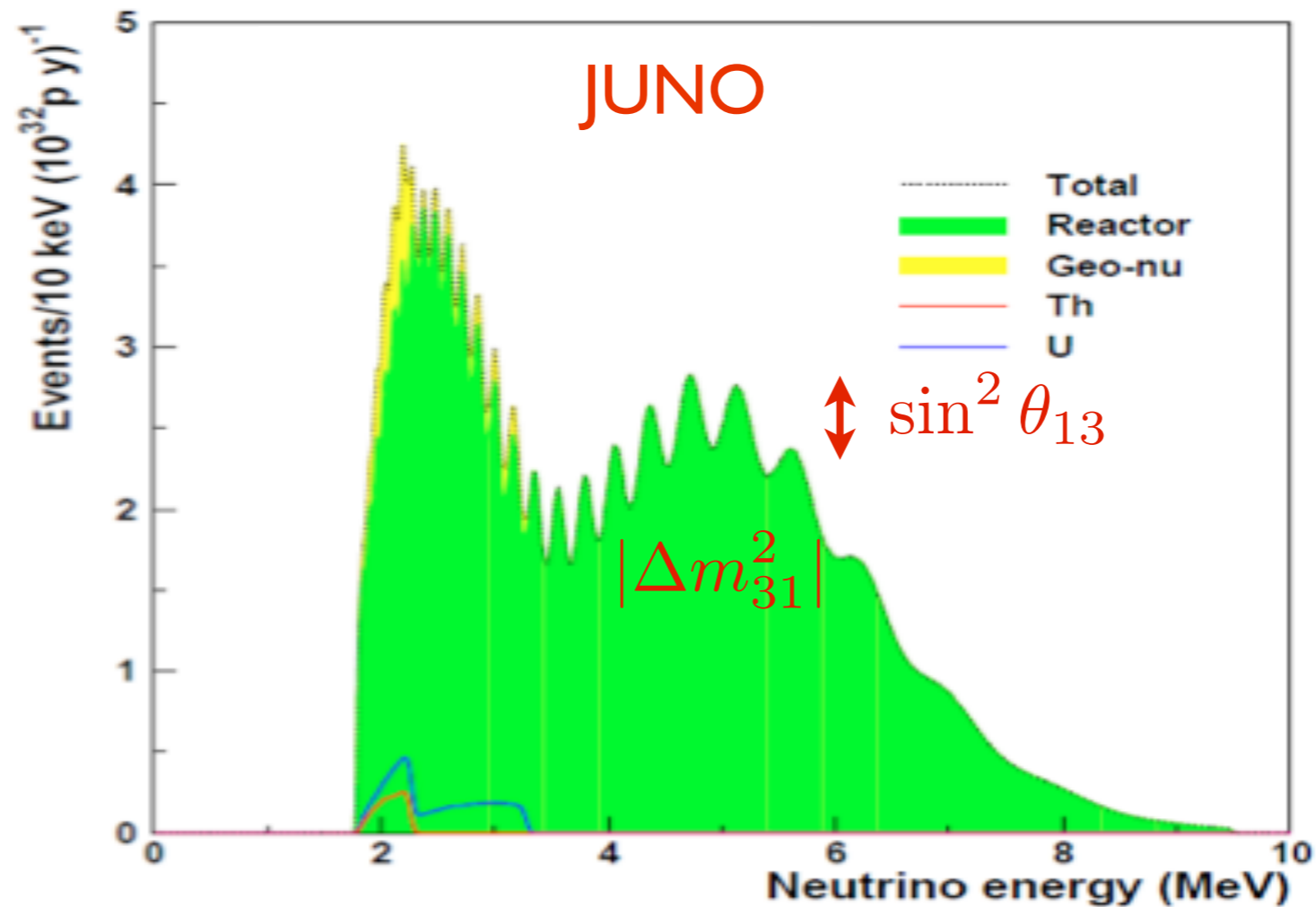
Courtesy: Yifang Wang



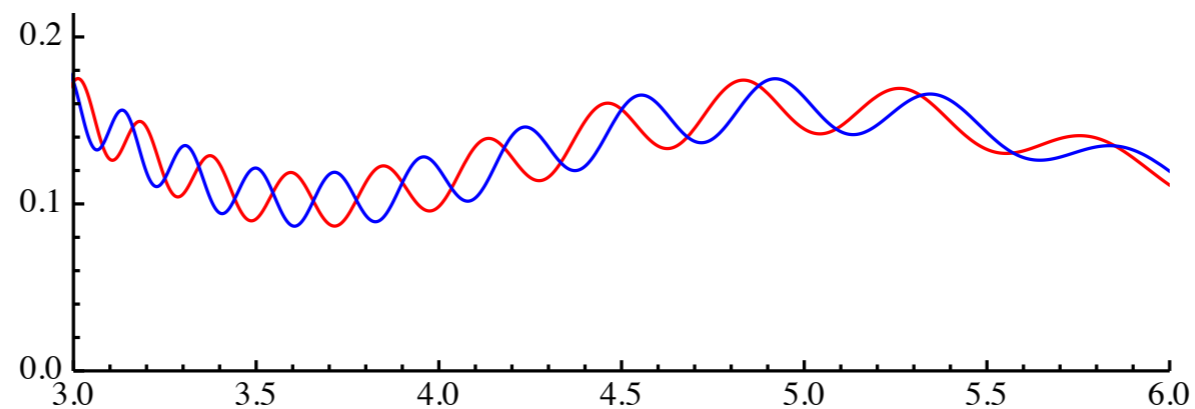
JUNO

(reaktorová neutrina)

Courtesy: Yifang Wang



Hierarchie:



JUNO

(reaktorová neutrina)

	Current	Daya Bay II
Δm^2_{12}	3%	0.6%
Δm^2_{23}	5%	0.6%
$\sin^2\theta_{12}$	6%	0.7%

2014: final CDR, civil construction, PMT prototyping?

2016: PMT production

2017: Detector

2018: LS production

2019: Instalation

2020: Running

Celkové náklady: 300 M\$

Pro nás: přirozené pokračování DB

Neutrína z urychlovačů + atmosférická

Hyper-K

(Kamioka, Japonsko)

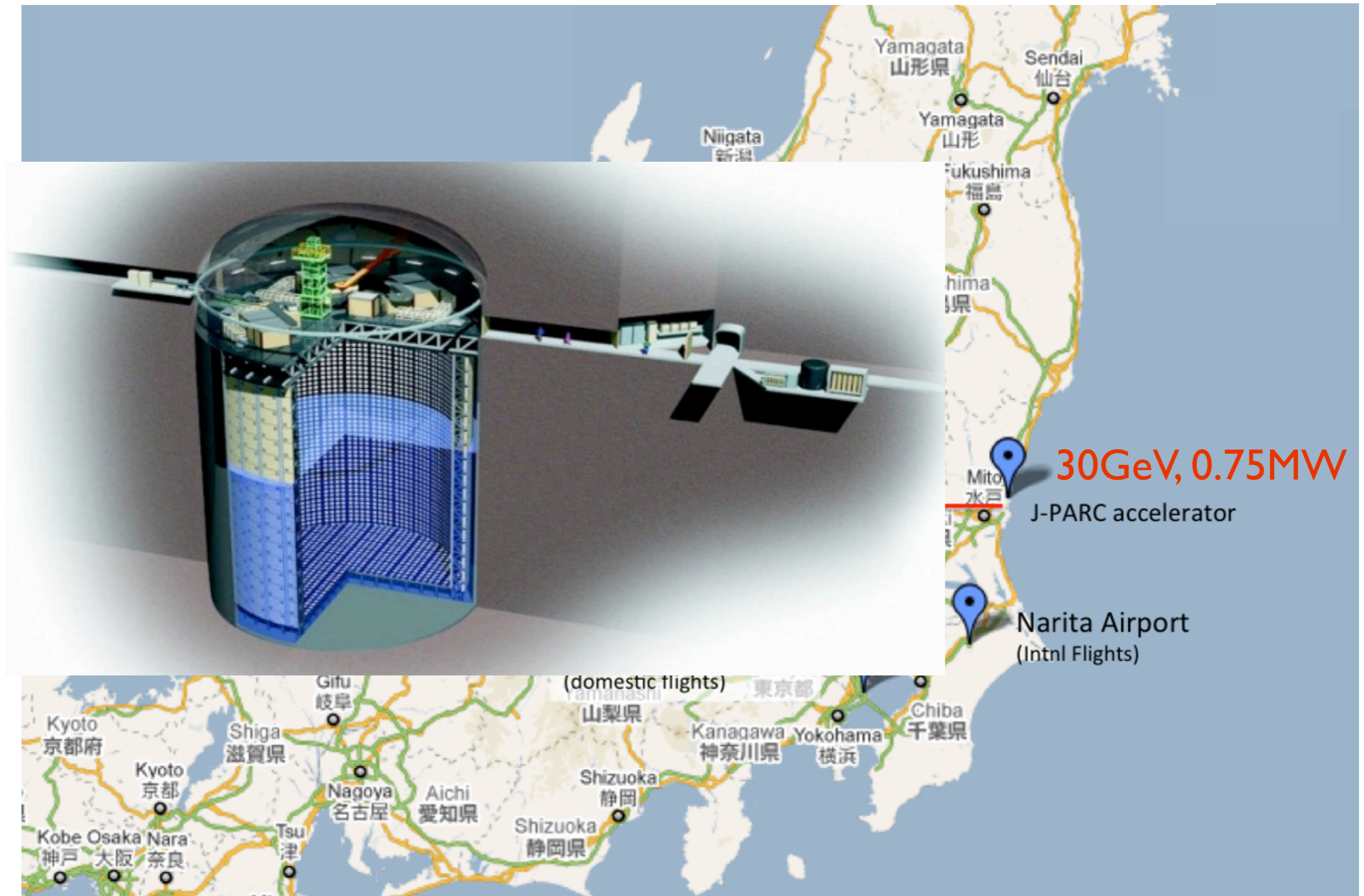
T2K

(urychlovačová & atmosferická neutrina)



T2K

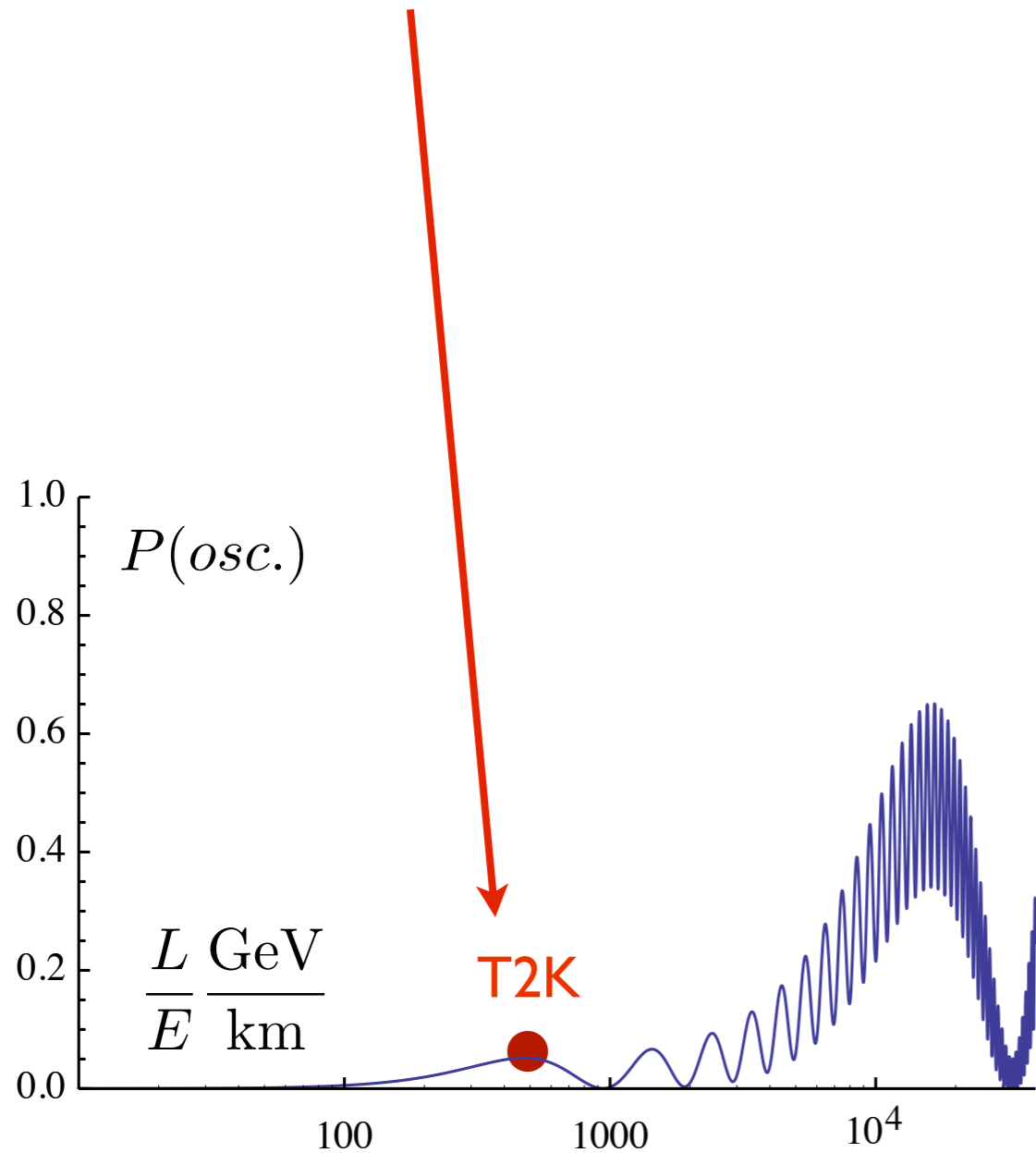
(urychlovačová & atmosferická neutrina)



T2K

(urychlovačová & atmosferická neutrina)

neutrina z urychlovače (J-PARC) $\nu_\mu \rightarrow \nu_e, \bar{\nu}_\mu \rightarrow \bar{\nu}_e$ $E_\nu^{\text{peak}} \sim 0.5 \text{ GeV}$



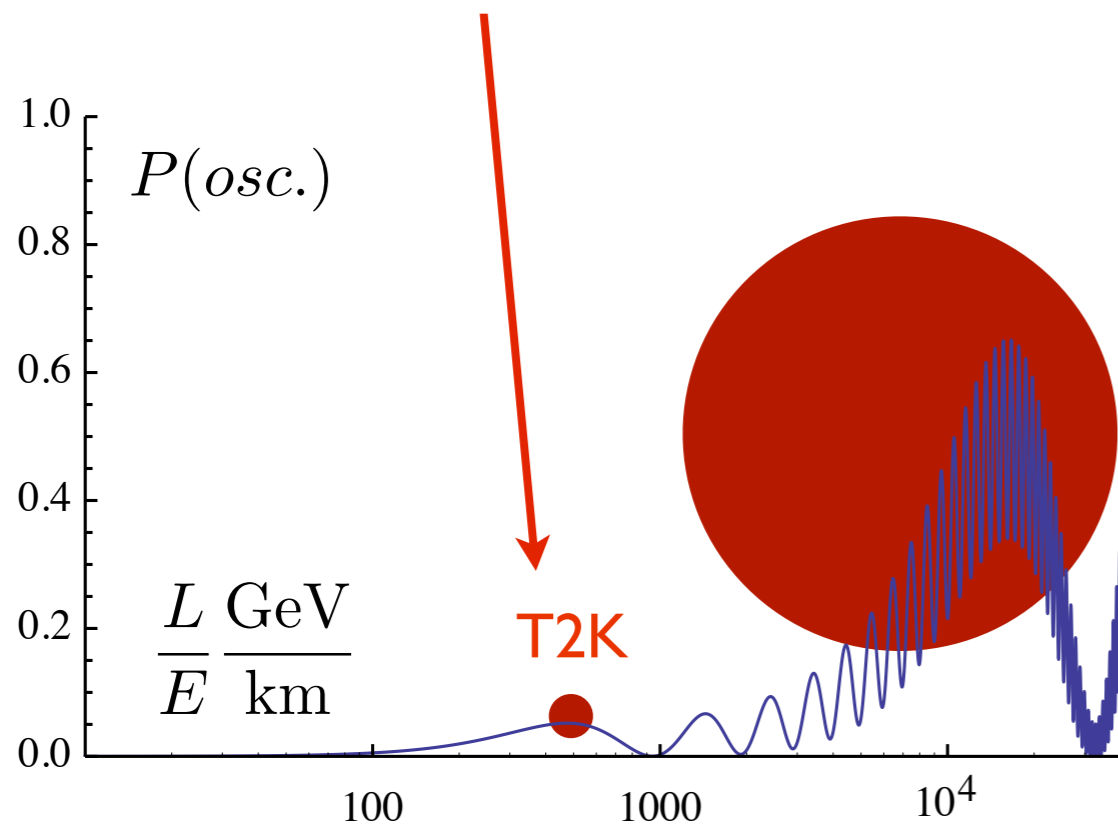
T2K

(urychlovačová & atmosferická neutrina)

neutrina z urychlovače (J-PARC) $\nu_\mu \rightarrow \nu_e, \bar{\nu}_\mu \rightarrow \bar{\nu}_e$ $E_\nu^{\text{peak}} \sim 0.5 \text{ GeV}$

atmosferická neutrina - appearance

$\nu_\mu \rightarrow \nu_e, \bar{\nu}_\mu \rightarrow \bar{\nu}_e$



T2K

(urychlovačová & atmosferická neutrina)

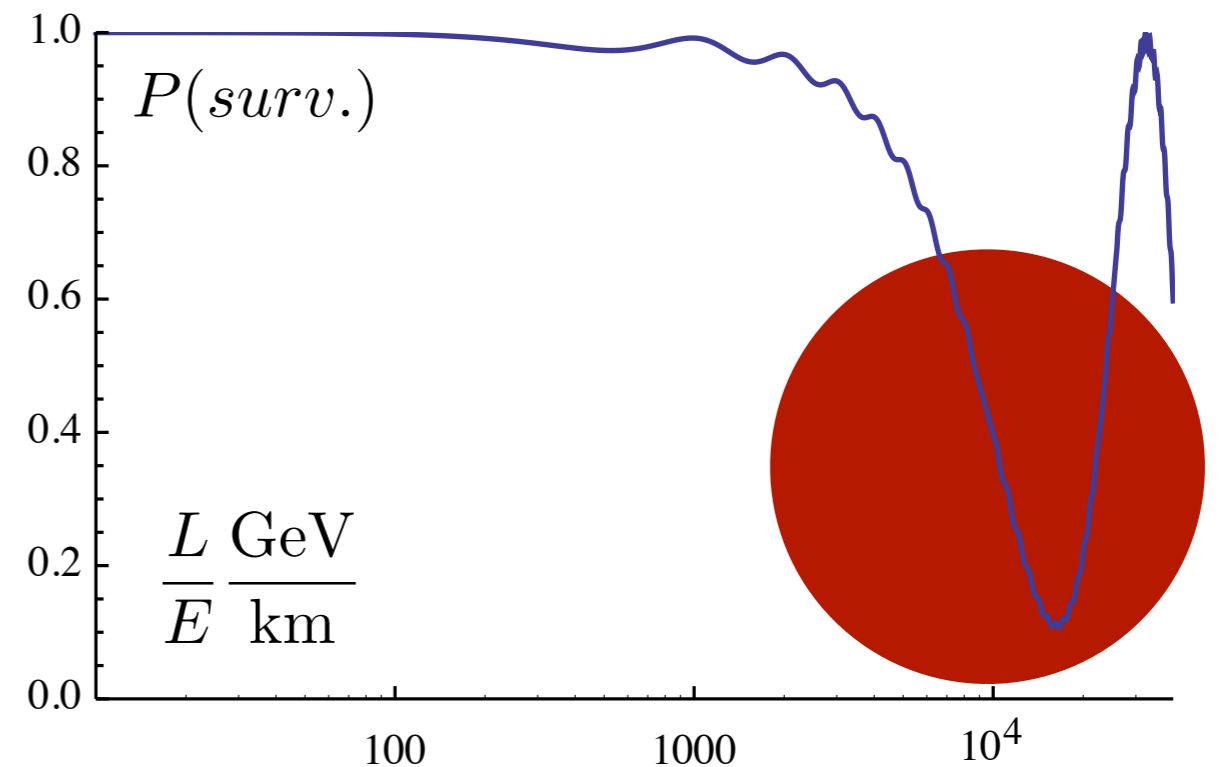
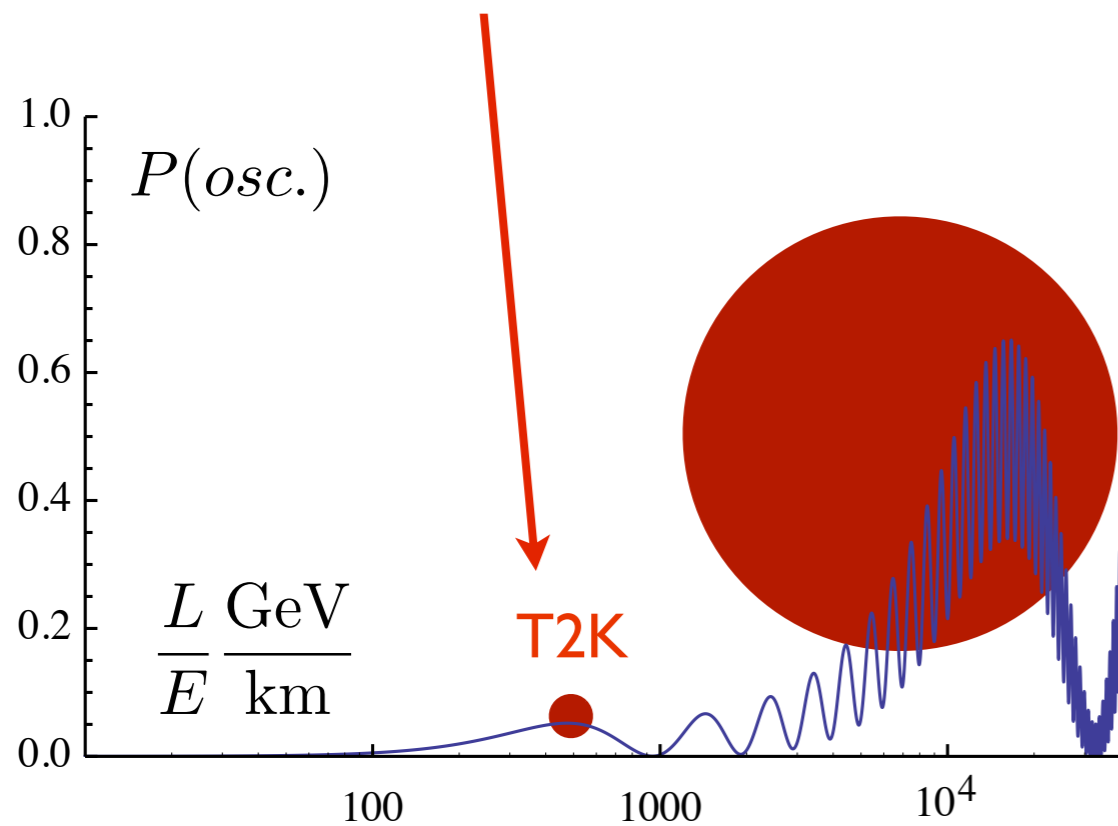
neutrina z urychlovače (J-PARC) $\nu_\mu \rightarrow \nu_e, \bar{\nu}_\mu \rightarrow \bar{\nu}_e$ $E_\nu^{\text{peak}} \sim 0.5 \text{ GeV}$

atmosferická neutrina - appearance

$$\nu_\mu \rightarrow \nu_e, \bar{\nu}_\mu \rightarrow \bar{\nu}_e$$

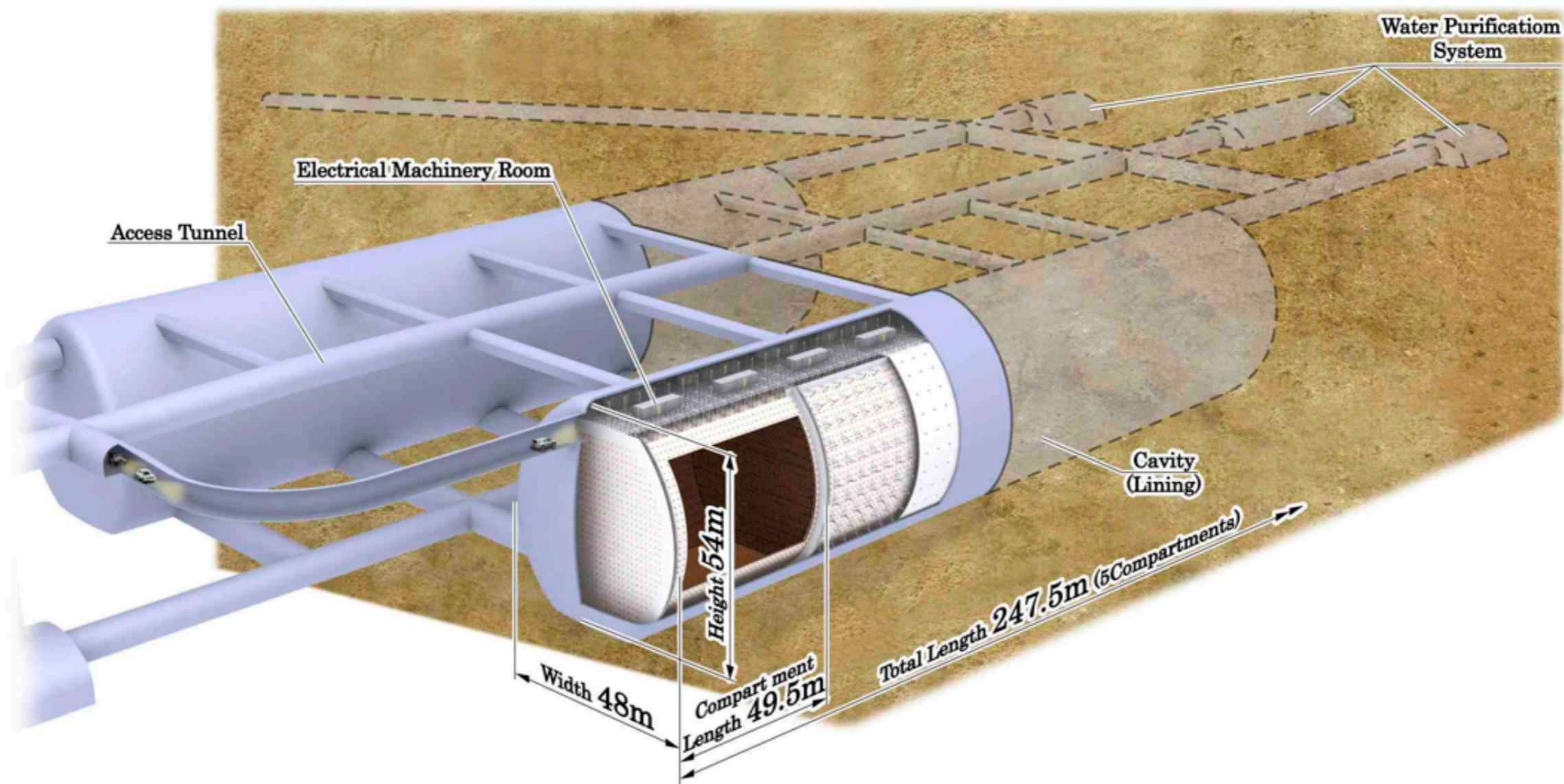
atmosferická neutrina - survival

$$\nu_e \rightarrow \nu_e, \bar{\nu}_e \rightarrow \bar{\nu}_e$$



Hyper-K & T2HK

(urychlovačová & atmosferická neutrina)



Parametry: 1 Mt WC (550 kt FV) @ T2K beam (2,5 stupně off-axis)

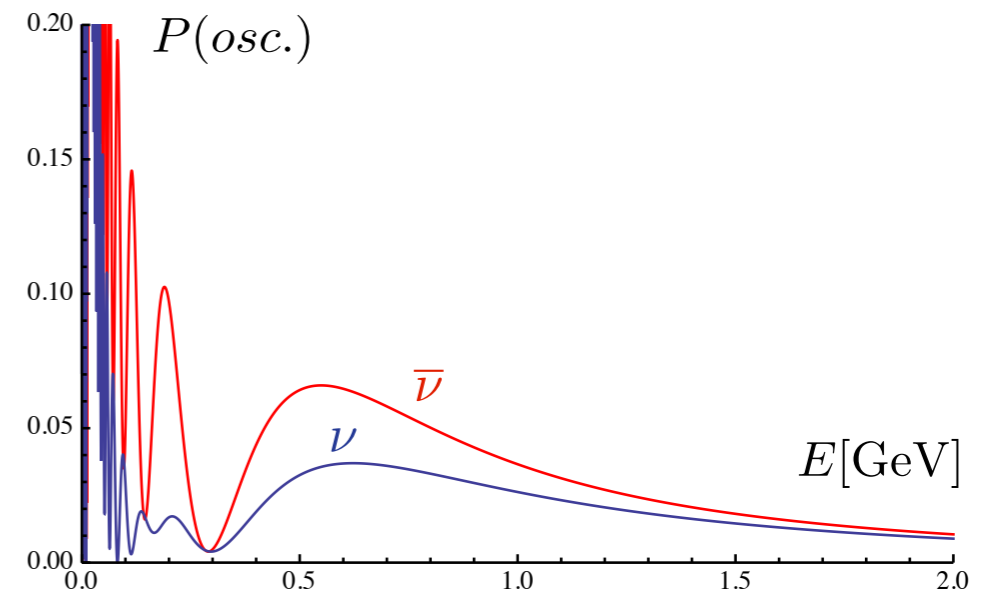
Hyper-K & T2HK

(urychlovačová & atmosferická neutrina)

CP efekt:

$$\nu_{\mu} \rightarrow \nu_e, \bar{\nu}_{\mu} \rightarrow \bar{\nu}_e$$

T2Hyper-K



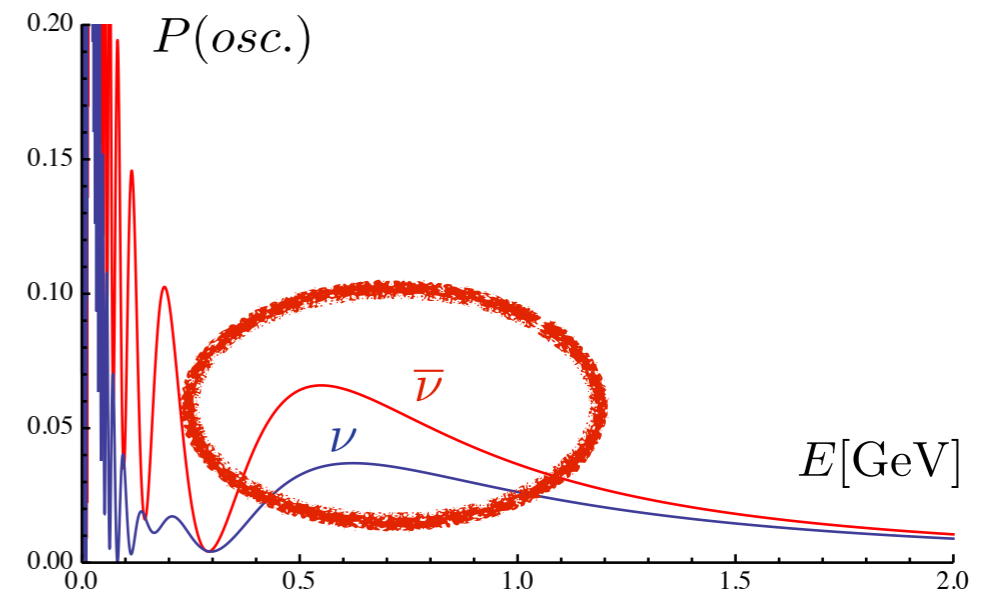
Hyper-K & T2HK

(urychlovačová & atmosferická neutrina)

CP efekt:

$$\nu_{\mu} \rightarrow \nu_e, \bar{\nu}_{\mu} \rightarrow \bar{\nu}_e$$

T2Hyper-K



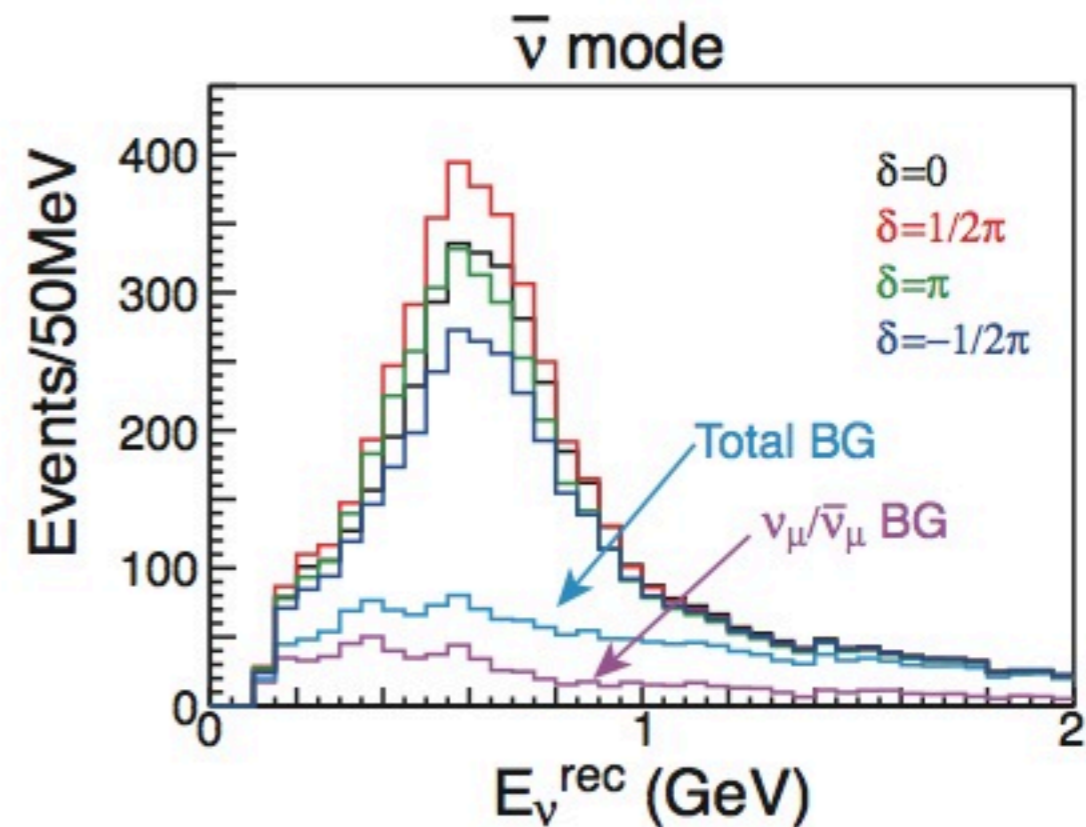
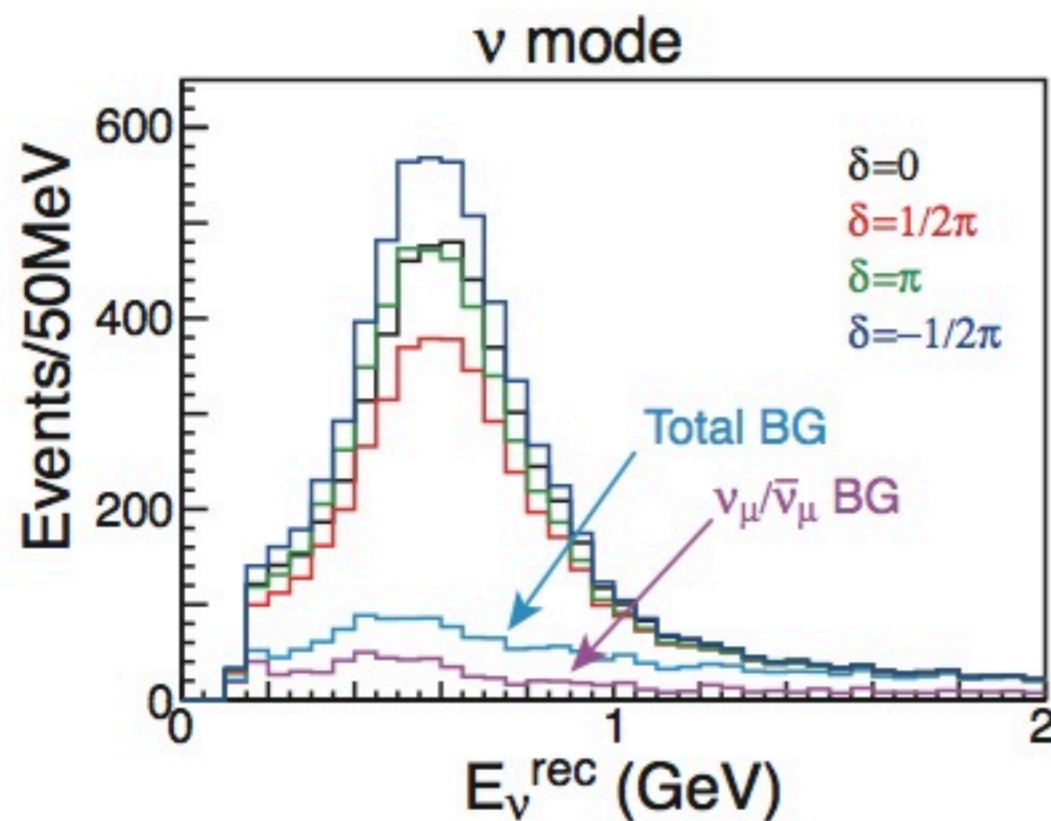
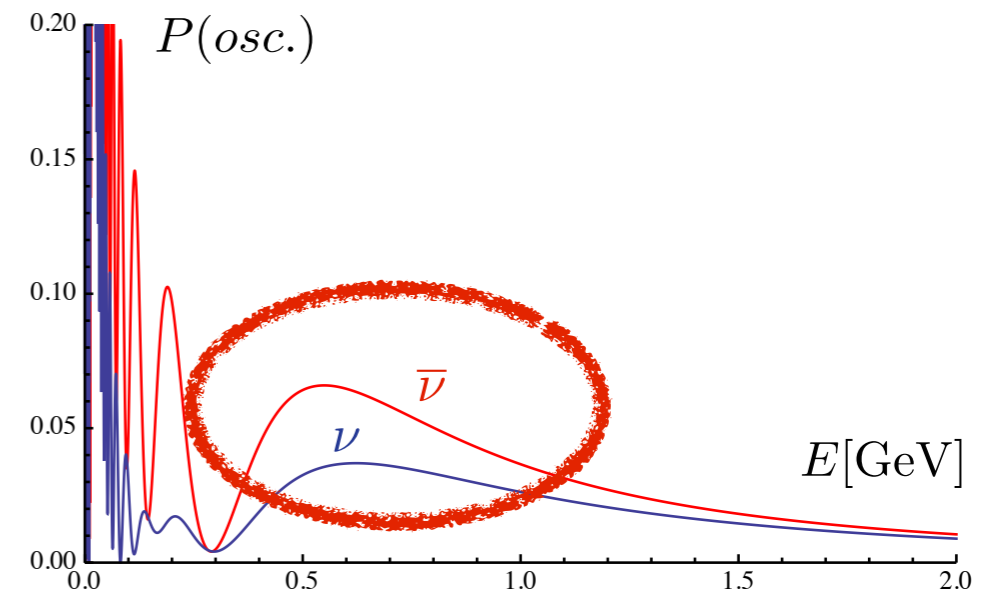
Hyper-K & T2HK

(urychlovačová & atmosferická neutrina)

T2Hyper-K

CP efekt: $\nu_\mu \rightarrow \nu_e, \bar{\nu}_\mu \rightarrow \bar{\nu}_e$

3-sigma pokrytí : až 74% param. prostoru

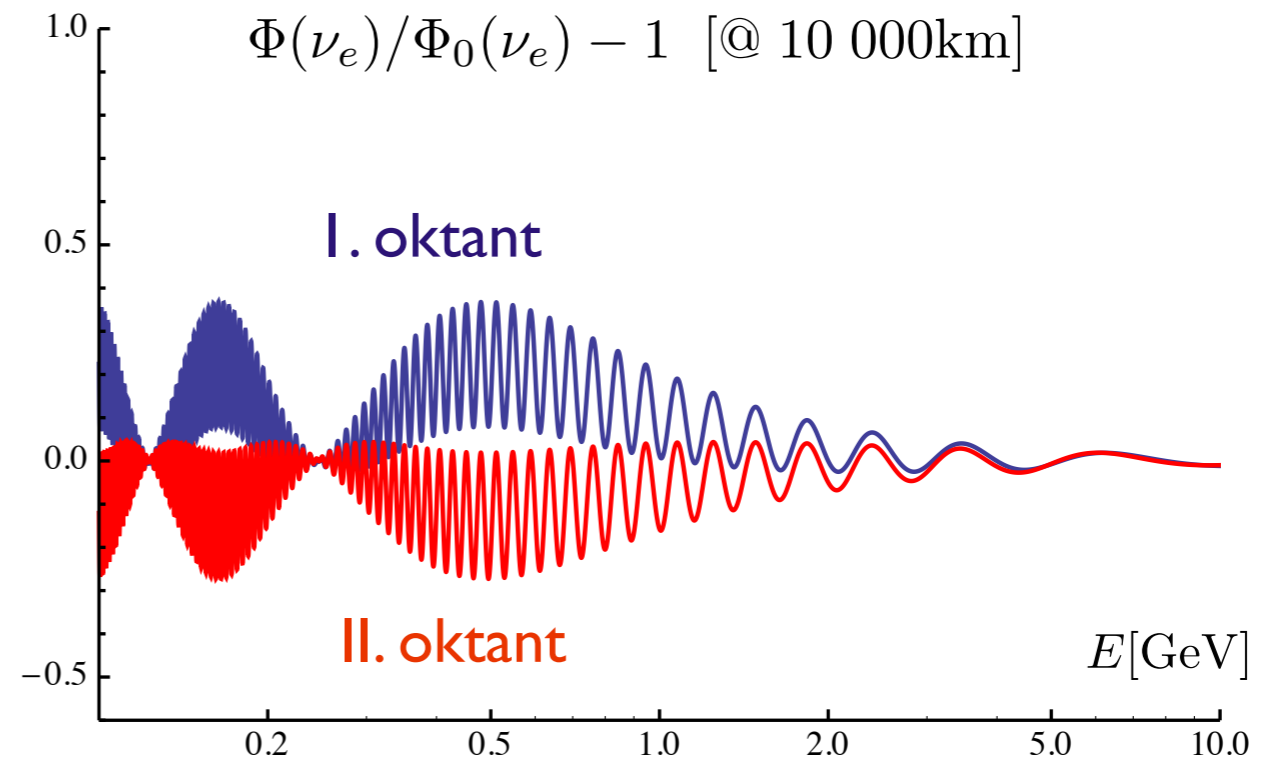


Hyper-K & T2HK

(urychlovačová & atmosferická neutrina)

Atmosferická neutrina v Hyper-K

Oktant \square_{23} ($> 90\%$ C.L.)



Hyper-K & T2HK

(urychlovačová & atmosferická neutrina)

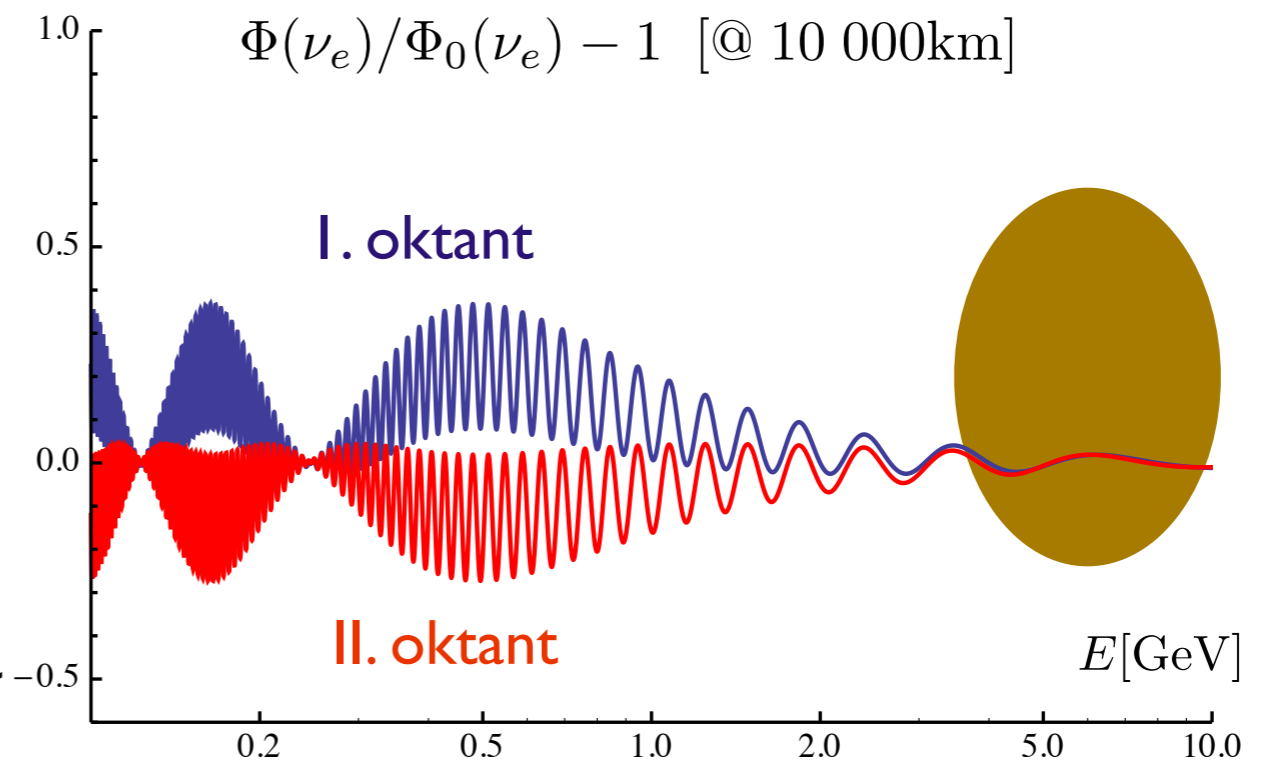
Atmosferická neutrina v Hyper-K

Oktant \square_{23} ($> 90\%$ C.L.)

Hierarchie ($> 3\sigma$ C.L.)

NH: MSW efekt pro neutrina

IH: MSW efekt pro antineutrina



Hyper-K & T2HK

(urychlovačová & atmosferická neutrina)

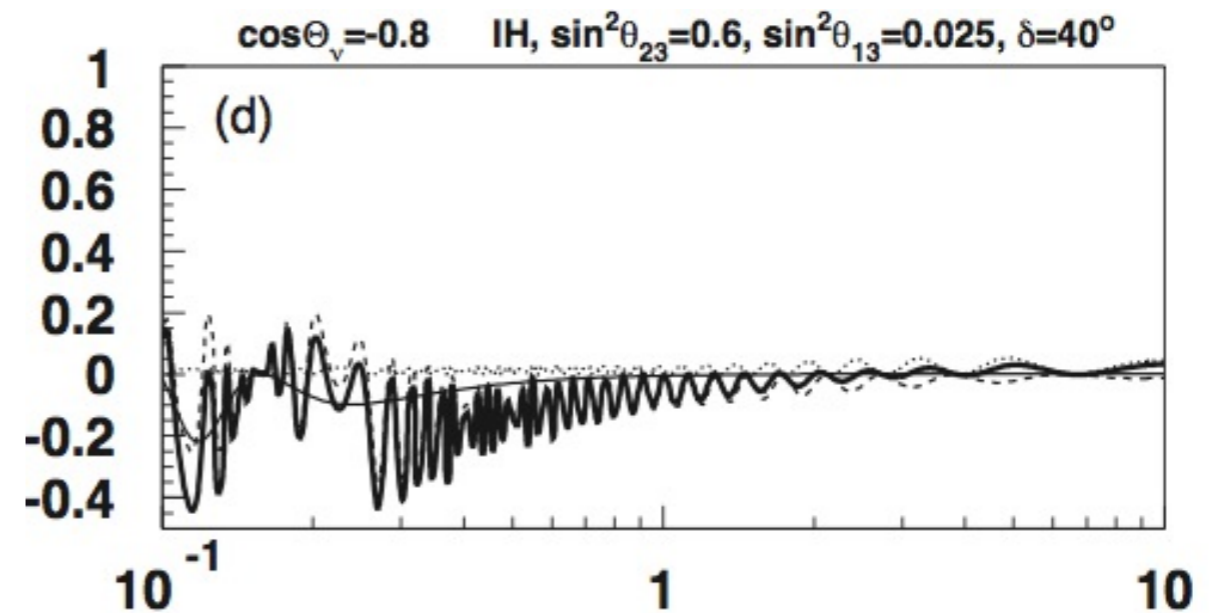
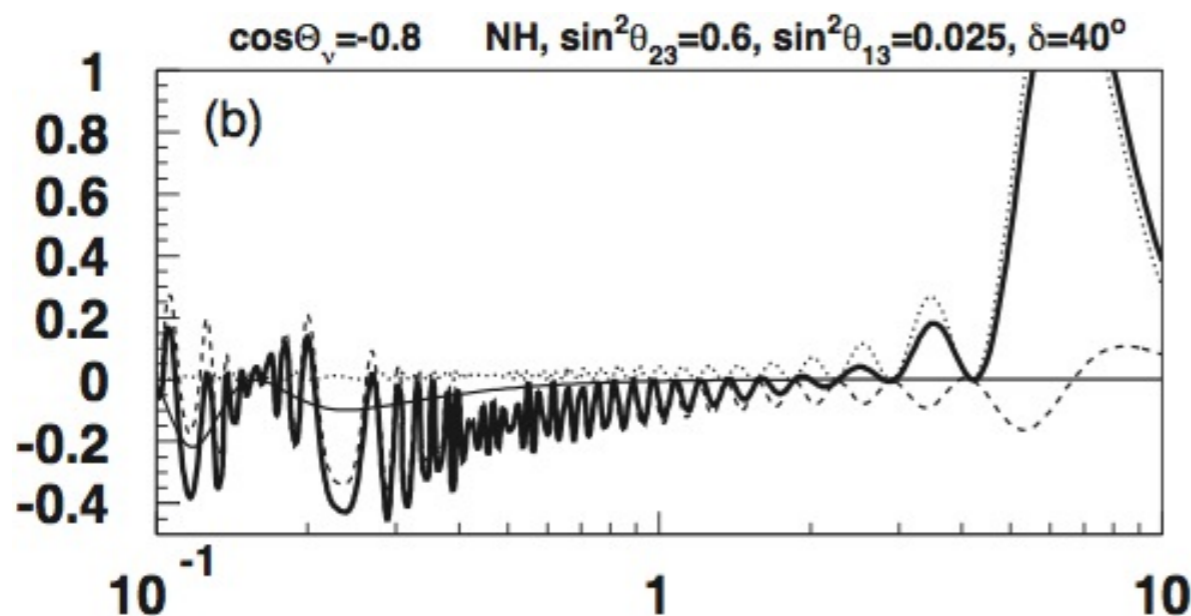
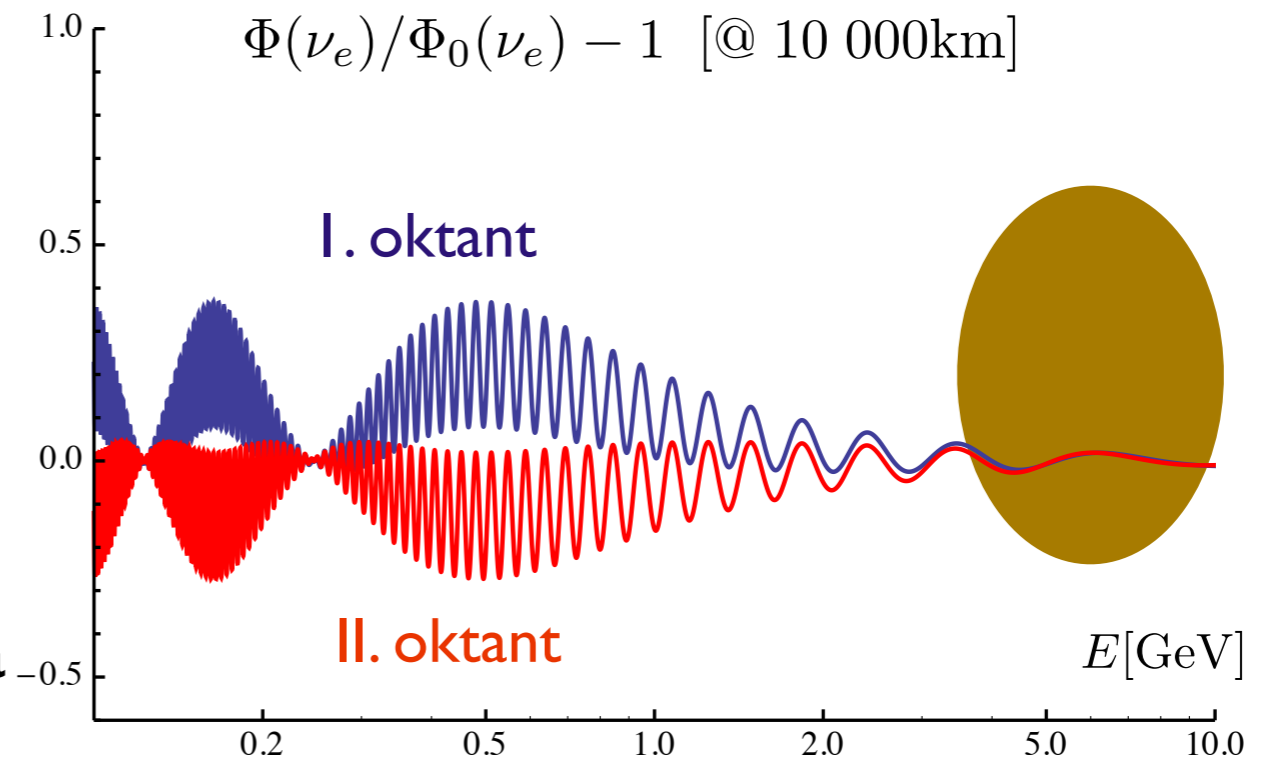
Atmosferická neutrina v Hyper-K

Oktant \square_{23} ($> 90\%$ C.L.)

Hierarchie ($> 3\sigma$ C.L.)

NH: MSW efekt pro neutrina

IH: MSW efekt pro antineutrina



Hyper-K & T2HK

(urychlovačová & atmosferická neutrina)

Physics Target	Sensitivity	Conditions
Neutrino study w/ J-PARC ν		1.66 MW \times 5 years (1 year \equiv 10^7 sec)
– CP phase precision	$< 18^\circ$	@ $s^2 2\theta_{13} (\equiv \sin^2 2\theta_{13}) > 0.03$ and mass hierarchy (MH) is known
– CPV 3σ discovery coverage	74% (55%)	@ $s^2 2\theta_{13} = 0.1$, MH known(unknown)
	74% (63%)	@ $s^2 2\theta_{13} = 0.03$, MH known(unknown)
	66% (59%)	@ $s^2 2\theta_{13} = 0.01$, MH known(unknown)
Atmospheric neutrino study		10 years observation
– MH determination	$> 3\sigma$ CL	@ $0.4 < s^2\theta_{23}$ and $0.04 < s^2 2\theta_{13}$
– θ_{23} octant determination	$> 90\%$ CL	@ $s^2 2\theta_{23} < 0.99$ and $0.04 < s^2 2\theta_{13}$
Nucleon Decay Searches		10 years data
– $p \rightarrow e^+ + \pi^0$	1.3×10^{35} yrs (90% CL)	
	5.7×10^{34} yrs (3σ CL)	
– $p \rightarrow \bar{\nu} + K^+$	2.5×10^{34} yrs (90% CL)	
	1.0×10^{34} yrs (3σ CL)	

Hyper-K & T2HK

(urychlovačová & atmosferická neutrina)

Physics Target	Sensitivity	Conditions
Neutrino study w/ J-PARC ν		1.66 MW \times 5 years (1 year \equiv 10^7 sec)
– CP phase precision	$< 18^\circ$	@ $s^2 2\theta_{13} (\equiv \sin^2 2\theta_{13}) > 0.03$ and mass hierarchy (MH) is known
– CPV 3σ discovery coverage	74% (55%) 74% (63%) 66% (59%)	@ $s^2 2\theta_{13} = 0.1$, MH known(unknown) @ $s^2 2\theta_{13} = 0.03$, MH known(unknown) @ $s^2 2\theta_{13} = 0.01$, MH known(unknown)
Atmospheric neutrino study		10 years observation
– MH determination	$> 3\sigma$ CL	@ $0.4 < s^2 \theta_{23}$ and $0.04 < s^2 2\theta_{13}$
– θ_{23} octant determination	$> 90\%$ CI	@ $s^2 2\theta_{23} < 0.99$ and $0.04 < s^2 2\theta_{13}$
Nucleon Decay Searches		10 years data
– $p \rightarrow e^+ + \pi^0$	1.3×10^{35} yrs (90% CL) 5.7×10^{34} yrs (3σ CL)	
– $p \rightarrow \bar{\nu} + K^+$	2.5×10^{34} yrs (90% CL) 1.0×10^{34} yrs (3σ CL)	

Hyper-K & T2HK

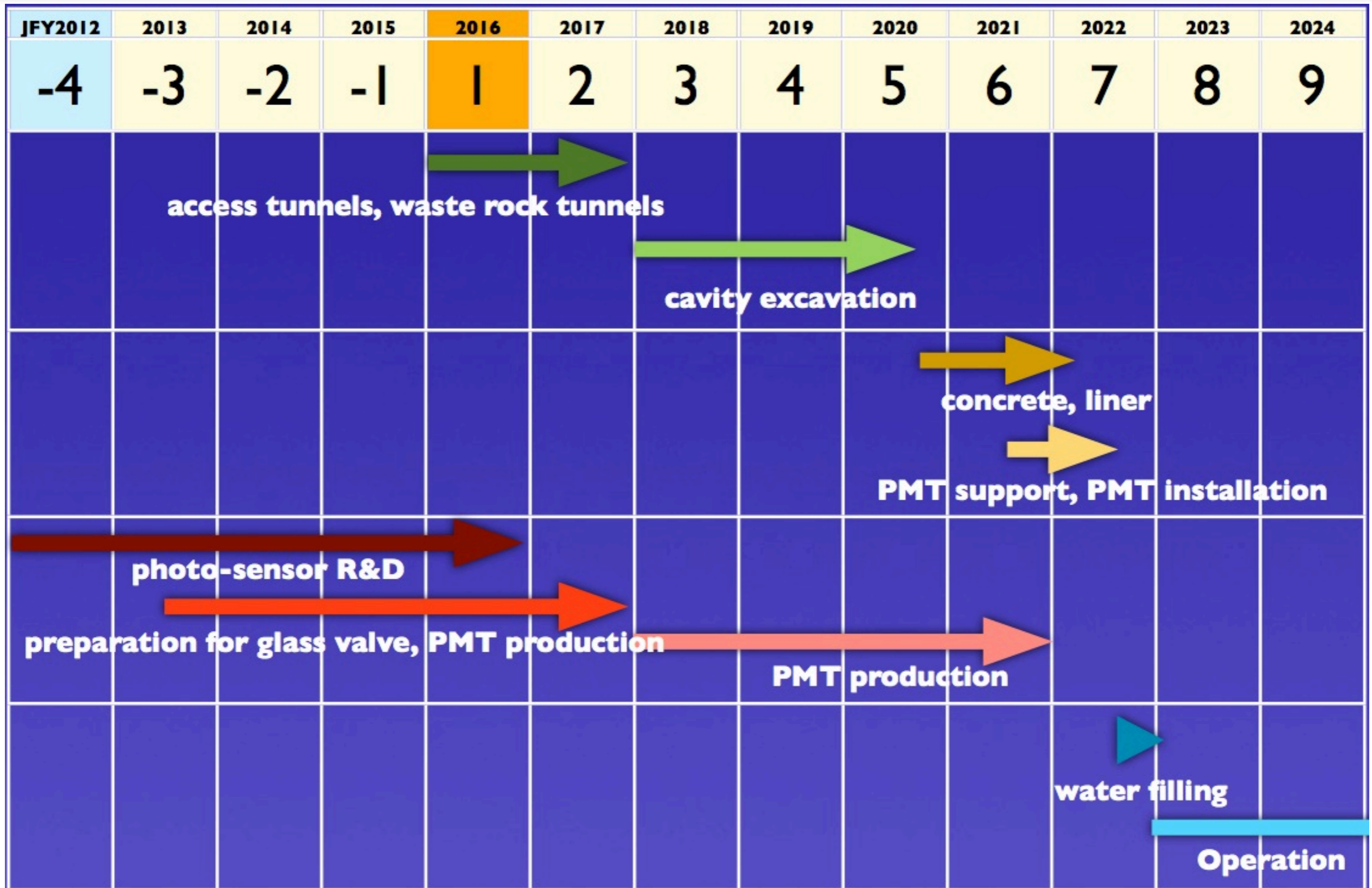
(urychlovačová & atmosferická neutrina)

Physics Target	Sensitivity	Conditions
Neutrino study w/ J-PARC ν		1.66 MW \times 5 years (1 year \equiv 10^7 sec)
– CP phase precision	$< 18^\circ$	@ $s^2 2\theta_{13} (\equiv \sin^2 2\theta_{13}) > 0.03$ and mass hierarchy (MH) is known
– CPV 3σ discovery coverage	74% (55%) 74% (63%) 66% (59%)	@ $s^2 2\theta_{13} = 0.1$, MH known(unknown) @ $s^2 2\theta_{13} = 0.03$, MH known(unknown) @ $s^2 2\theta_{13} = 0.01$, MH known(unknown)
Atmospheric neutrino study		10 years observation
– MH determination	$> 3\sigma$ CL	@ $0.4 < s^2\theta_{23}$ and $0.04 < s^2 2\theta_{13}$
– θ_{23} octant determination	$> 90\%$ CI	@ $s^2 2\theta_{23} < 0.99$ and $0.04 < s^2 2\theta_{13}$
Nucleon Decay Searches		10 years data
– $p \rightarrow e^+ + \pi^0$	1.3×10^{35} yrs (90% CL) 5.7×10^{34} yrs (3σ CL)	ROZPAD PROTONU!
– $p \rightarrow \bar{\nu} + K^+$	2.5×10^{34} yrs (90% CL) 1.0×10^{34} yrs (3σ CL)	

ROZPAD PROTONU!

Hyper-K

(urychlovačová & atmosferická neutrina)



Hyper-K

(urychlovačová & atmosferická neutrina)

Cost Estimate

Total	800M USD*	
Cavern	300M USD	
Tank & structure	200M USD	
Photo-sensors	200M USD	
Near Detector	30M USD	@Tokai

*The cost of rock disposal and water purification system to be added in the future

Jaro 2014:

- CDR, čeká se na finální rozhodnutí o financování (2016)
- formuje se evropská část kolaborace
(QMUL, ICL, U. Liverpool, INFN, U. Geneva, Krakow, Saclay, Lisbon, ...)

Pro nás (?) elektronika, kalibrace, blízký detektor @ J-PARC ...

Neutrína z urychlovačů + atmosférická

LBNE

(Long Baseline Neutrino Experiment, Lead, Jižní Dakota, USA)

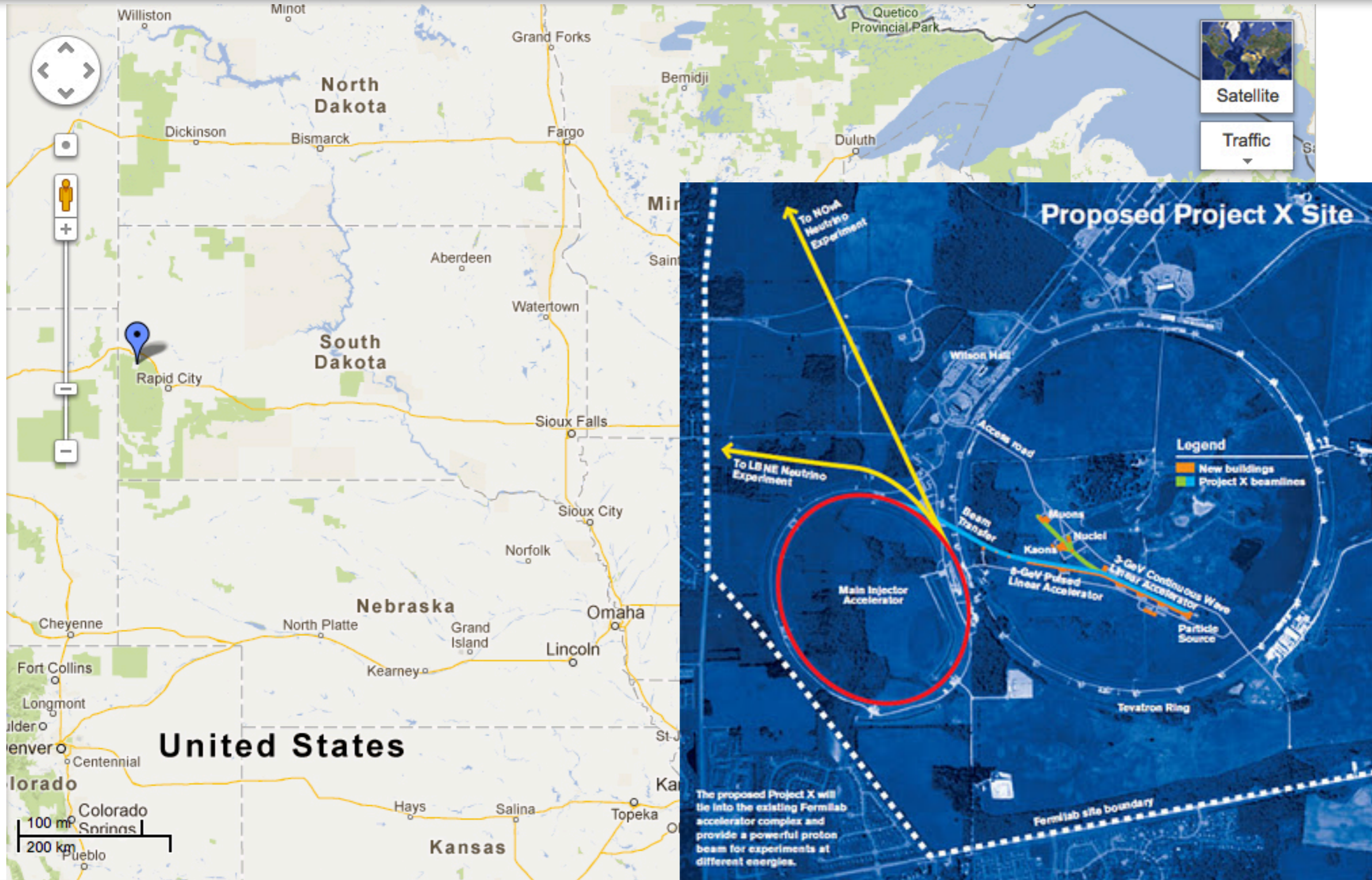
LBNE

(urýchlovačová & atmosferická neutrína)



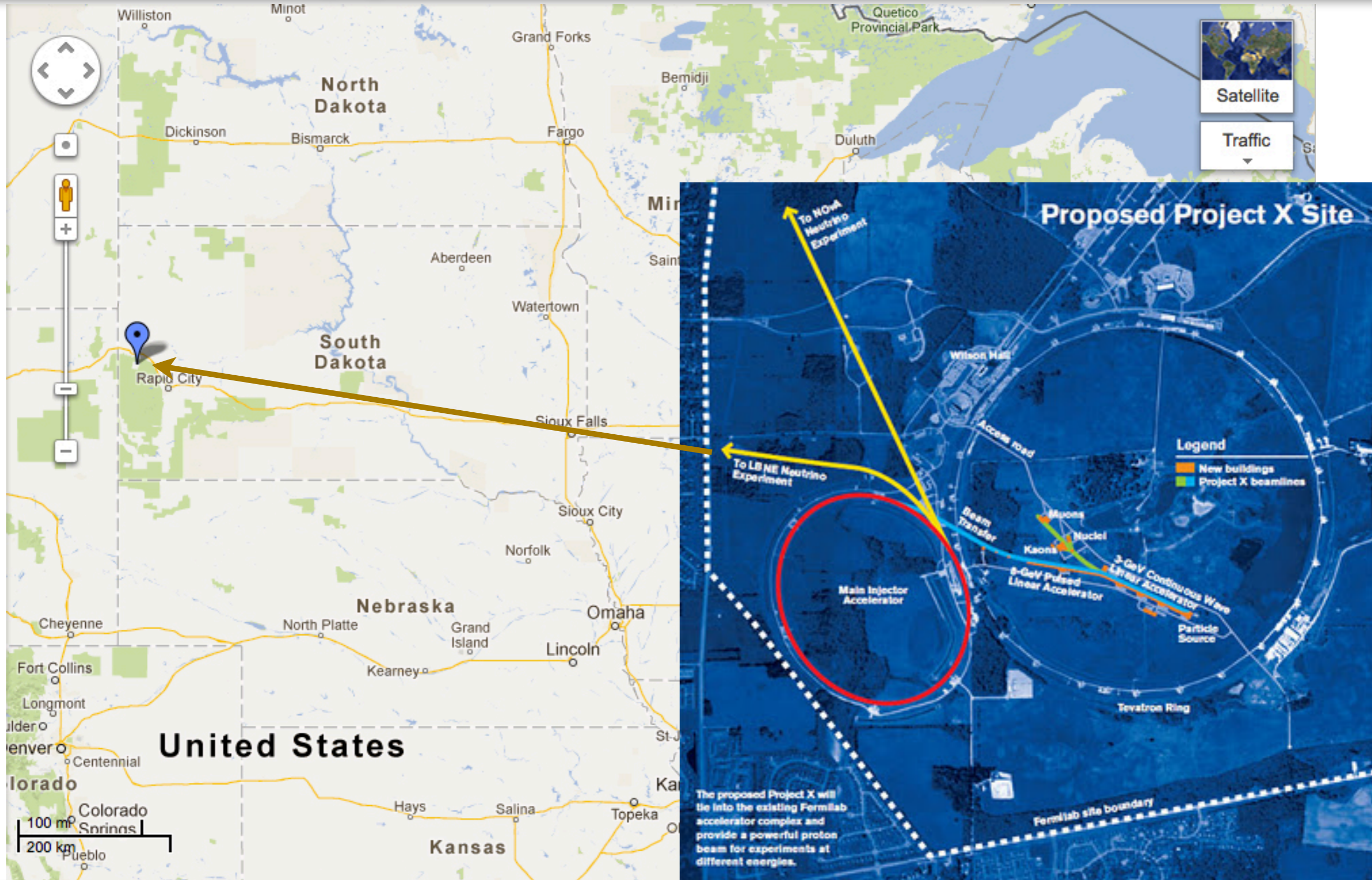
LBNE

(urychlovačová & atmosferická neutrina)



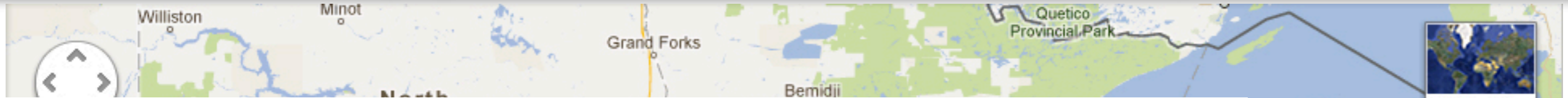
LBNE

(urýchlovačová & atmosferická neutrína)

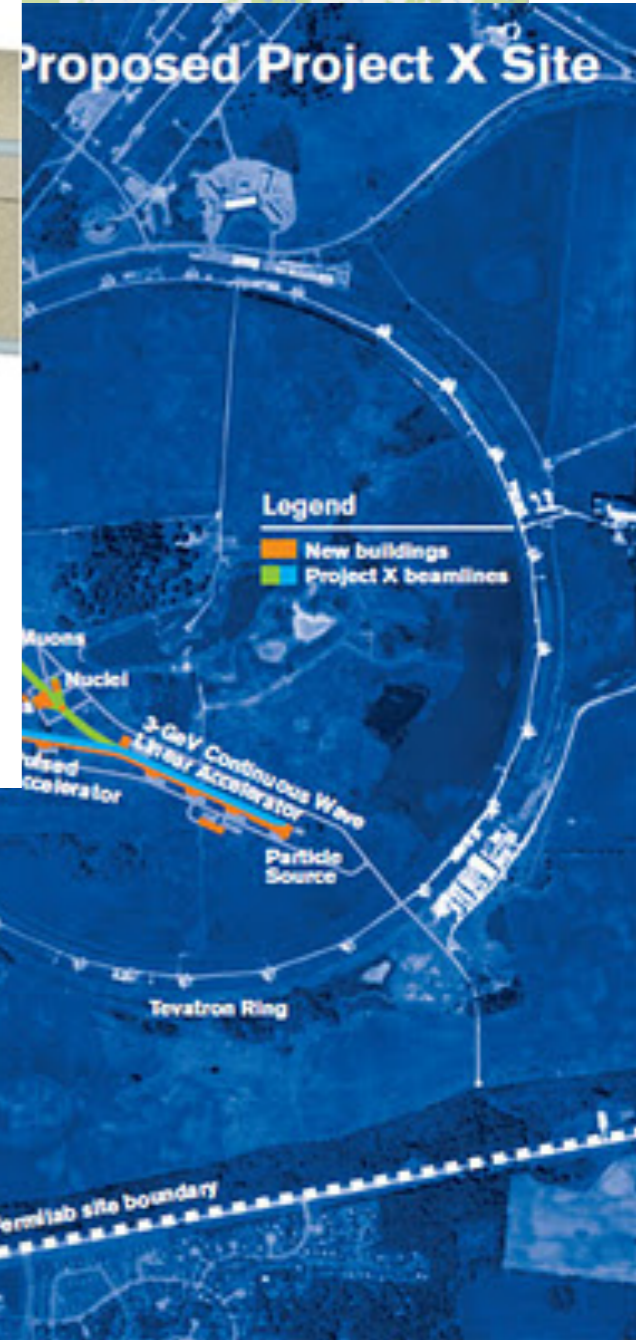
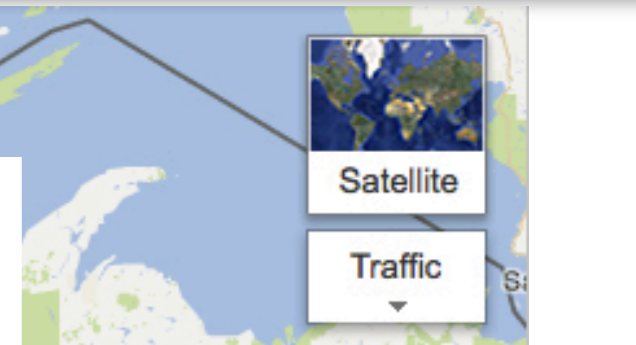
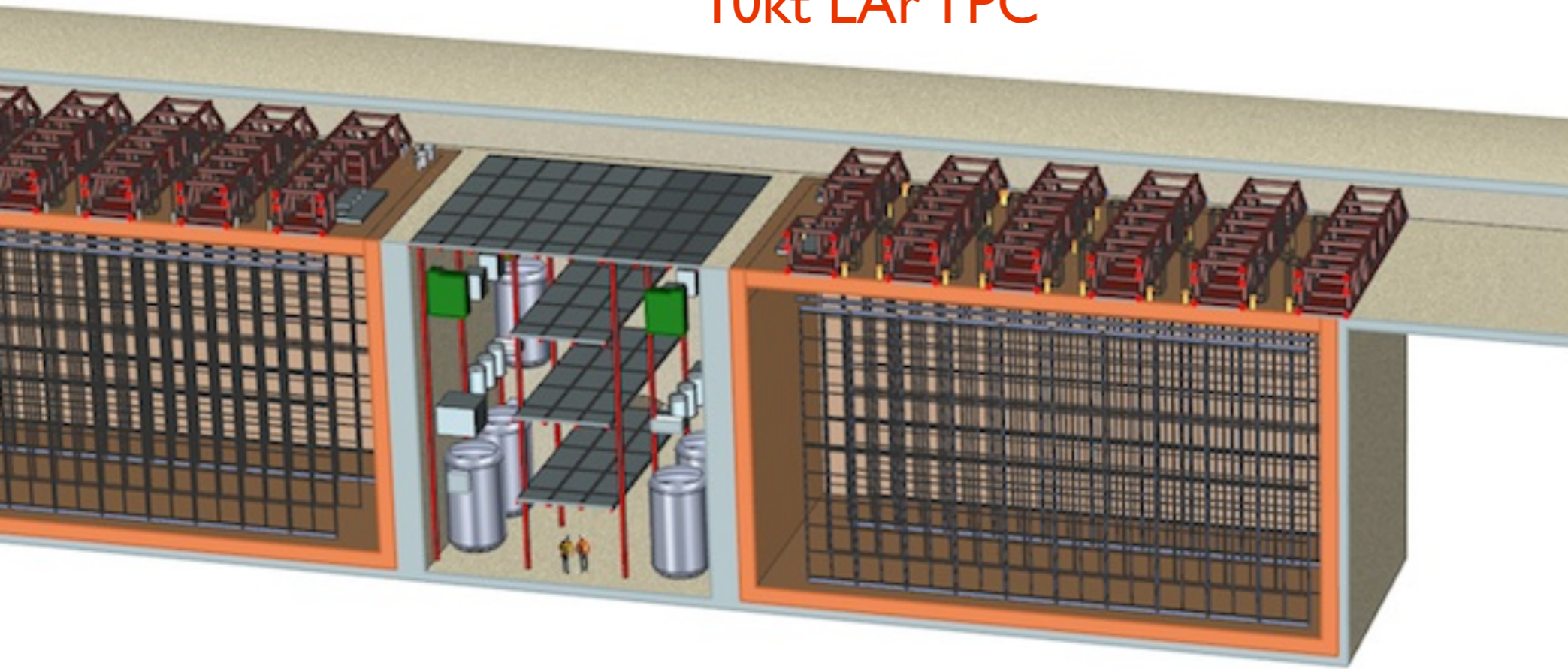


LBNE

(urychlovačová & atmosferická neutrina)



10kt LAr TPC



LBNE

(urychlovačová & atmosferická neutrina)

Rozpočet: DOE přislíbil **867M\$**, většina na svazek, detektor cca 25%

LBNE

(urychlovačová & atmosferická neutrina)

Rozpočet: DOE přislíbil **867M\$**, většina na svazek, detektor cca 25%

2 fáze: **LBNE10:** 10kt na povrchu (nelze rozpad protonu)

LBNE: 35kt pod zemí (cca 1500 m), blízký detektor

LBNE

(urychlovačová & atmosferická neutrina)

Rozpočet: DOE přislíbil **867M\$**, většina na svazek, detektor cca 25%

2 fáze: **LBNE10:** 10kt na povrchu (nelze rozpad protonu)

LBNE: 35kt pod zemí (cca 1500 m), blízký detektor

Svazek: 700 kW, v planu upgrade na 1.2 MW, eventuálně 2.3 MW (project X)

LBNE

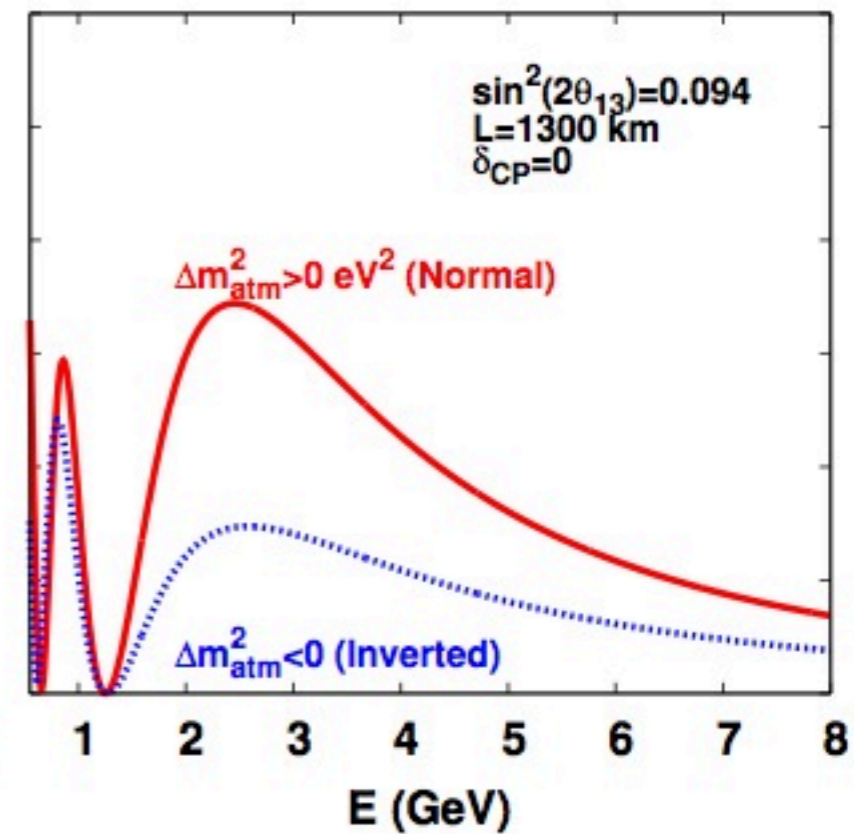
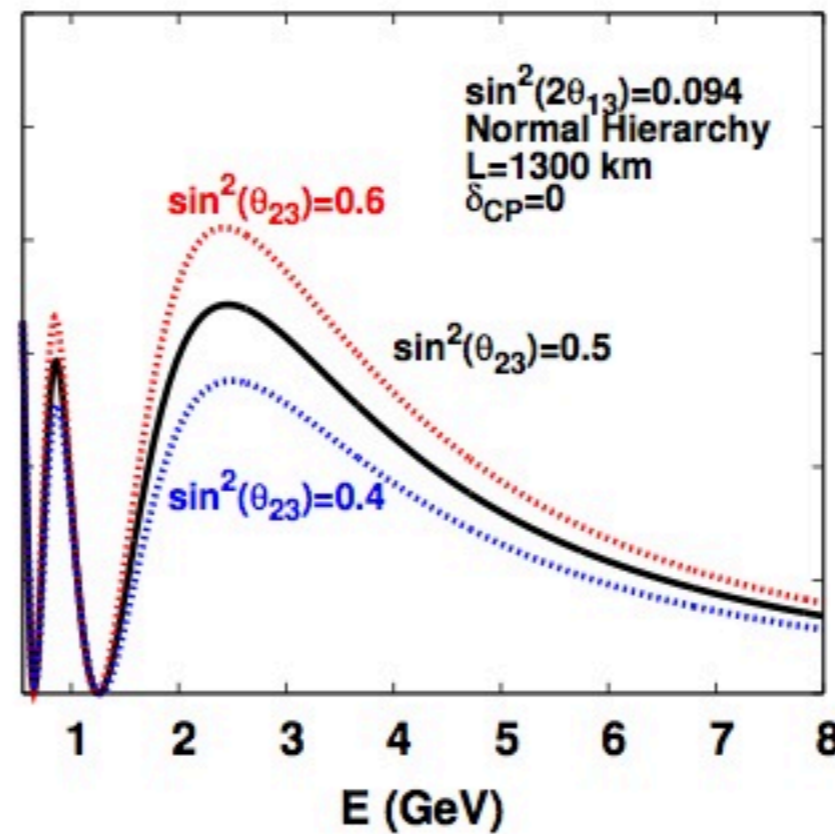
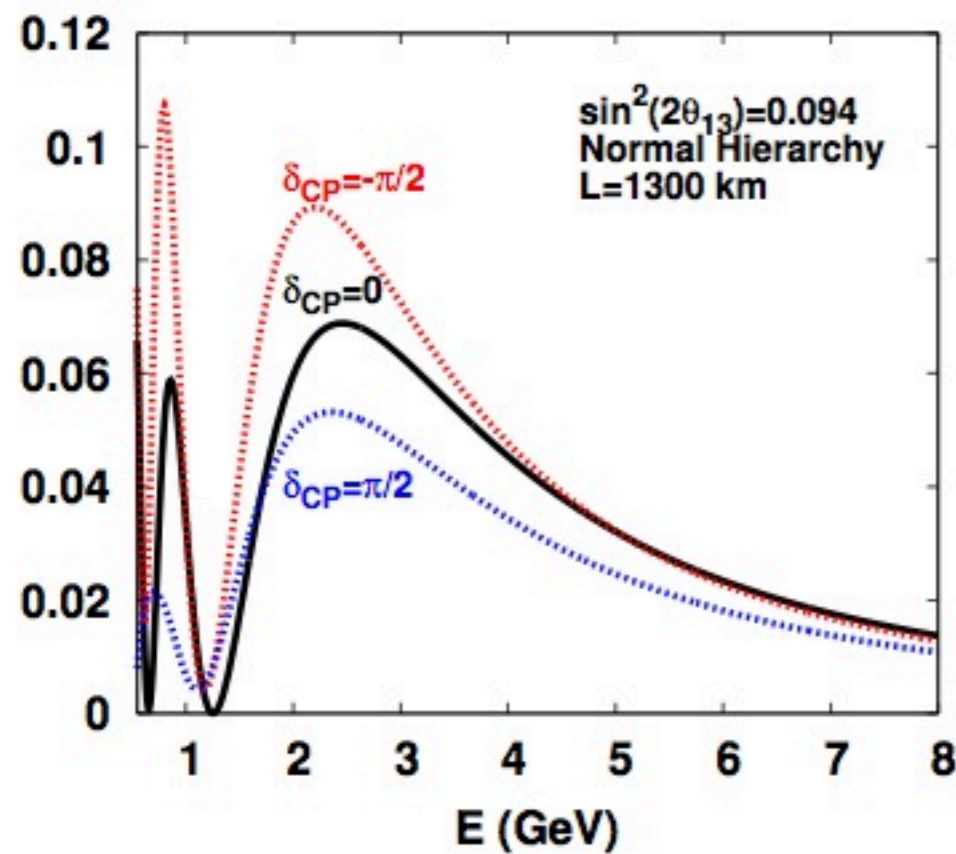
(urychlovačová & atmosferická neutrina)

$$P(\nu_\mu \rightarrow \nu_e)$$

CP efekt

Oktant

Hierarchie



LBNE

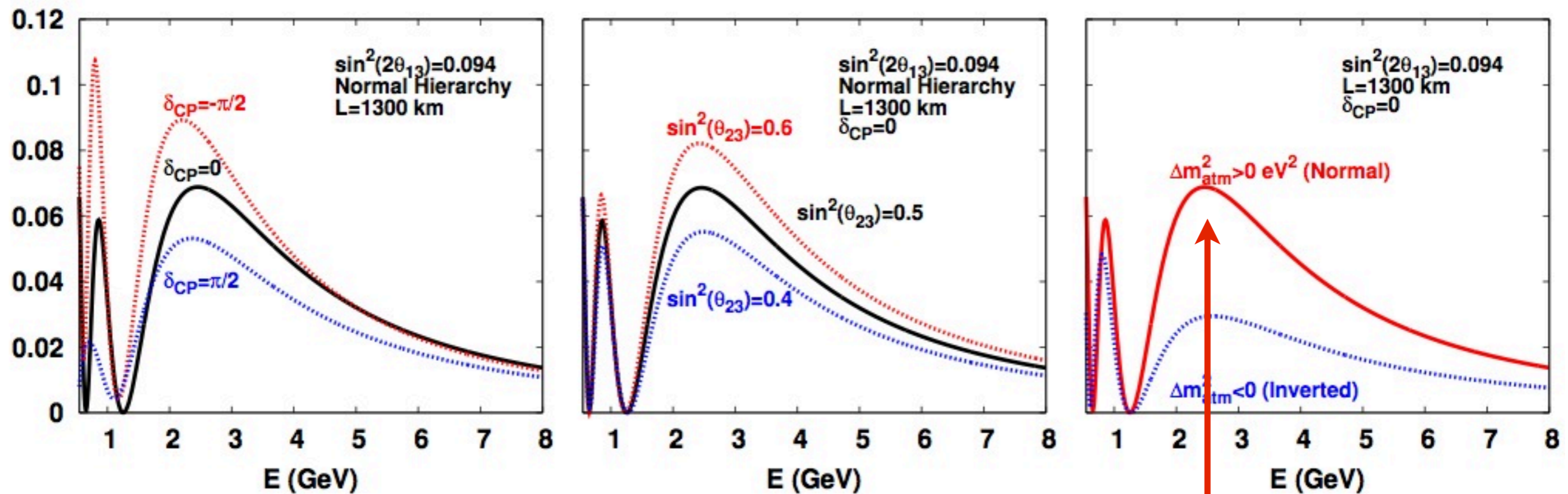
(urychlovačová & atmosferická neutrina)

$$P(\nu_\mu \rightarrow \nu_e)$$

CP efekt

Oktant

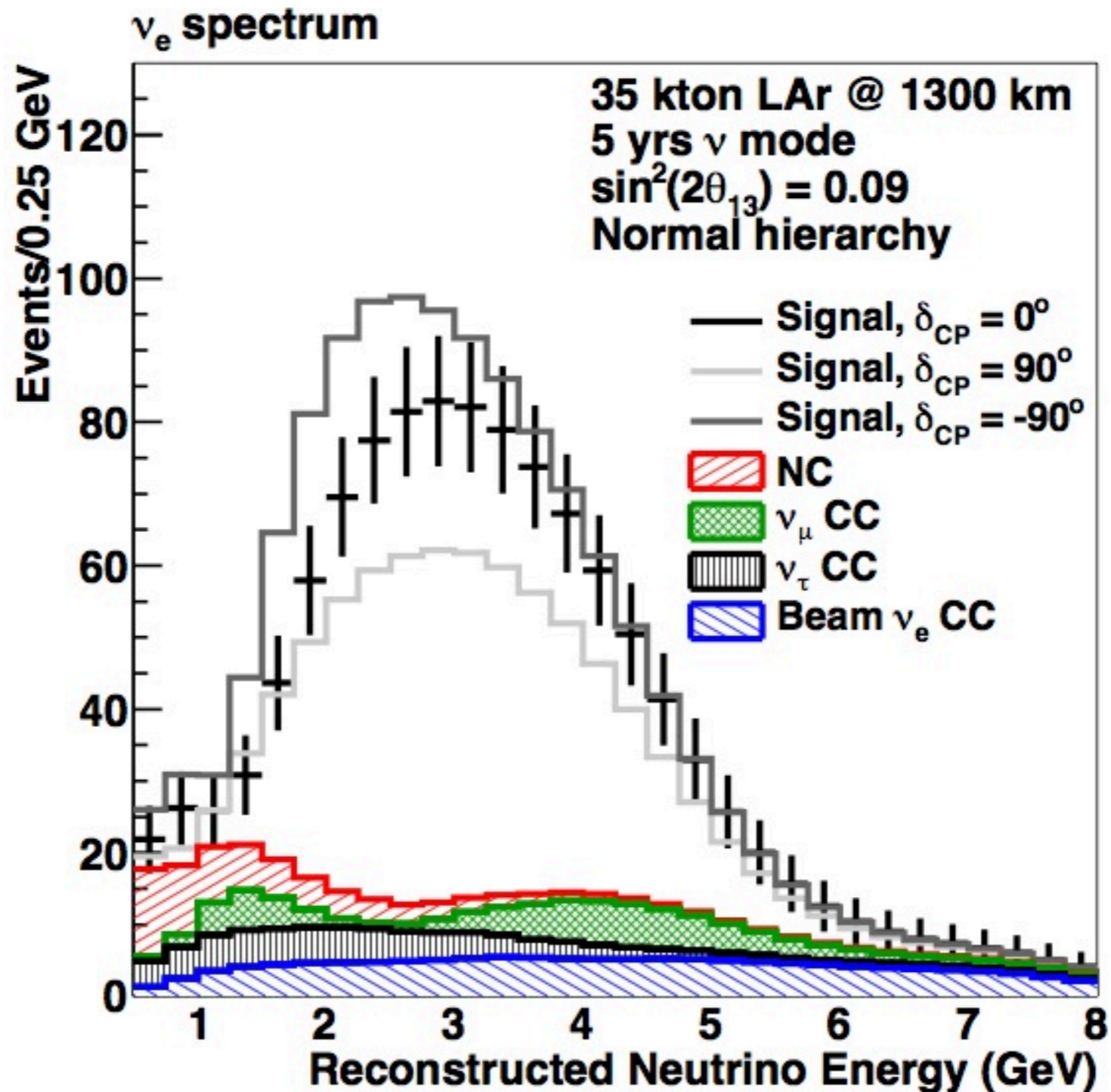
Hierarchie



L(LBNE) = 1300 km > L(T2HK) - efekt hierarchie významný

LBNE

(urychlovačová & atmosferická neutrina)

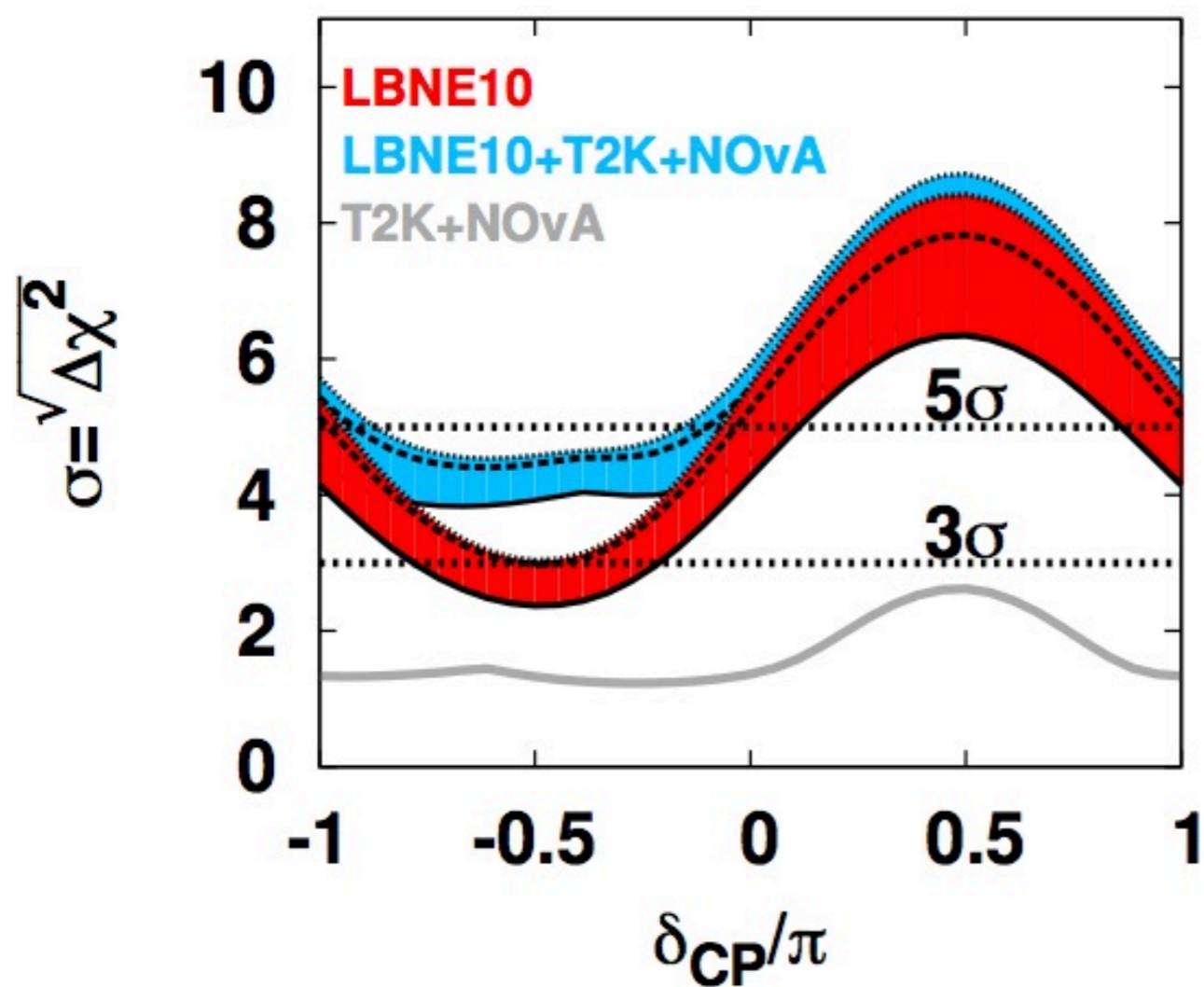


LBNE

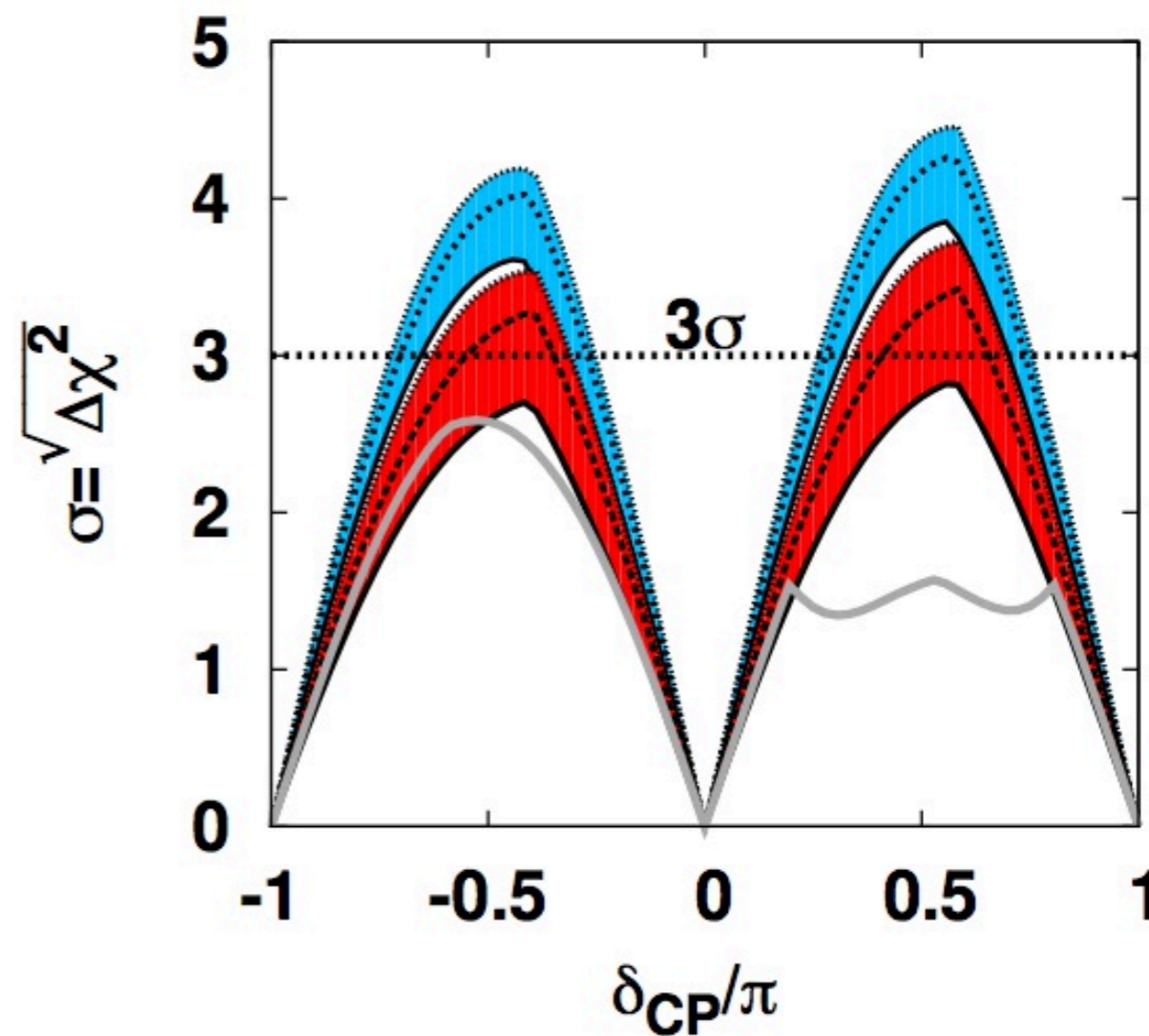
(urychlovačová & atmosferická neutrina)

Citlivosti zhruba srovnatelné s T2HK

Hierarchie



CPV



LBNE

(urychlovačová & atmosferická neutrina)

Prototyp: 35t LAr TPC vyzkoušený, čistota Ar klíčová

Status & timeline: 2014:TDR

2023: start **LBNE10** @ 700 kW

2026: 1.2 MW (project X phase I), 20kt na povrchu

2028: 34kt na povrchu

2032: 2.4 MW, nabírání dat do cca 2038

Neutrinos from STORed Muons

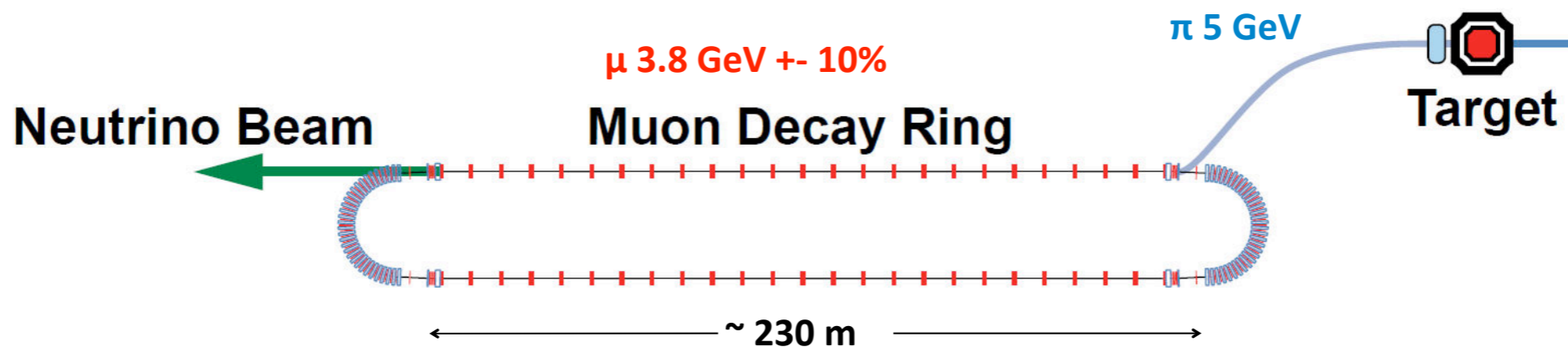
nuSTORM

(Fermilab ? CERN ?)

nuSTORM

(mionový akumulční prsteneček)

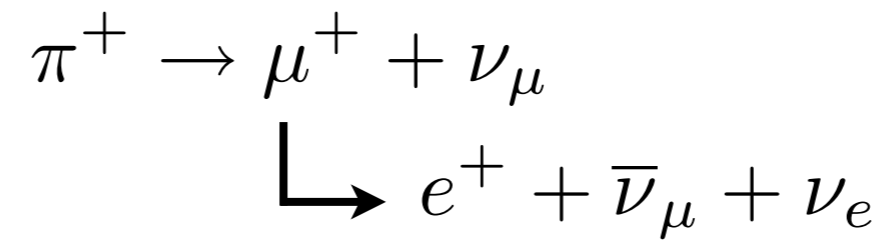
Fermilab/CERN?



nuSTORM

(mionový akumulární prsteneč)

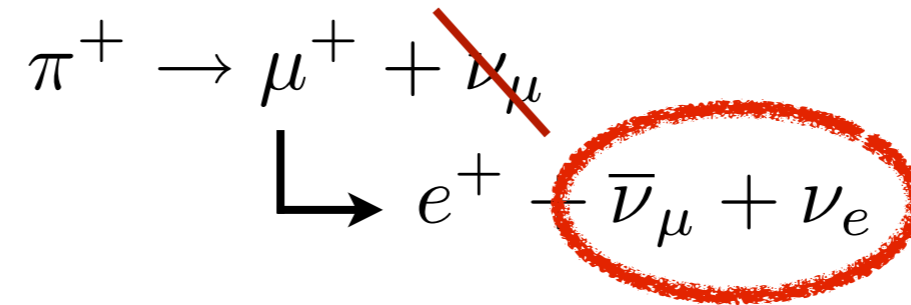
Neutrína z rozpadů akumulovaných mionů



nuSTORM

(mionový akumulární prstenec)

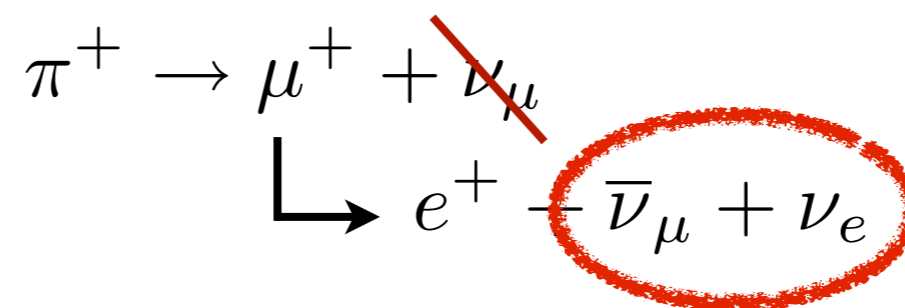
Neutrína z rozpadů akumulovaných mionů



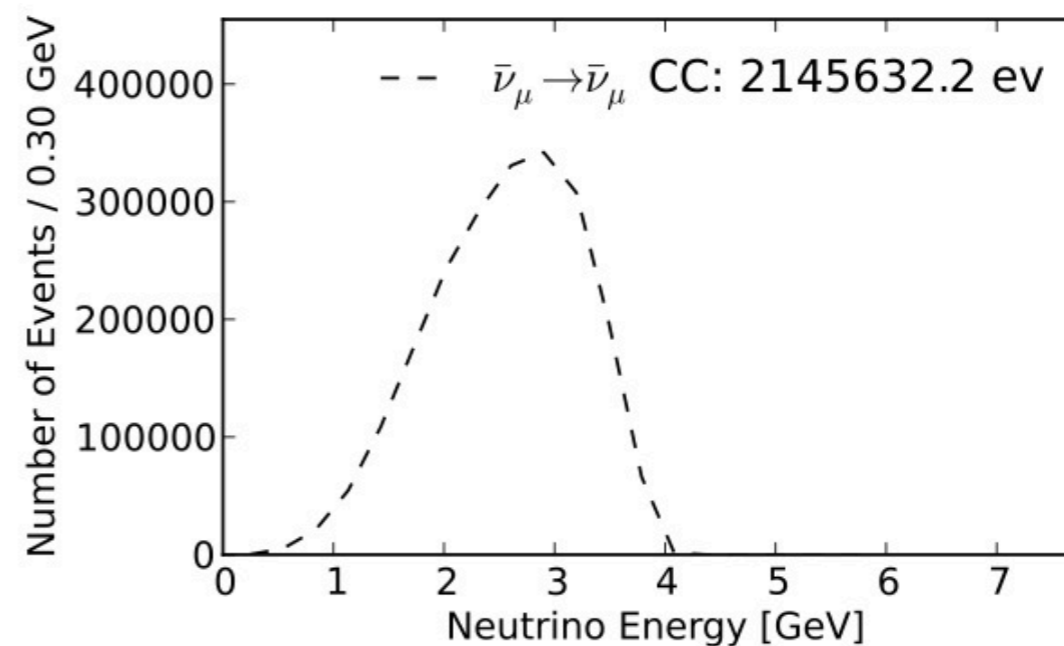
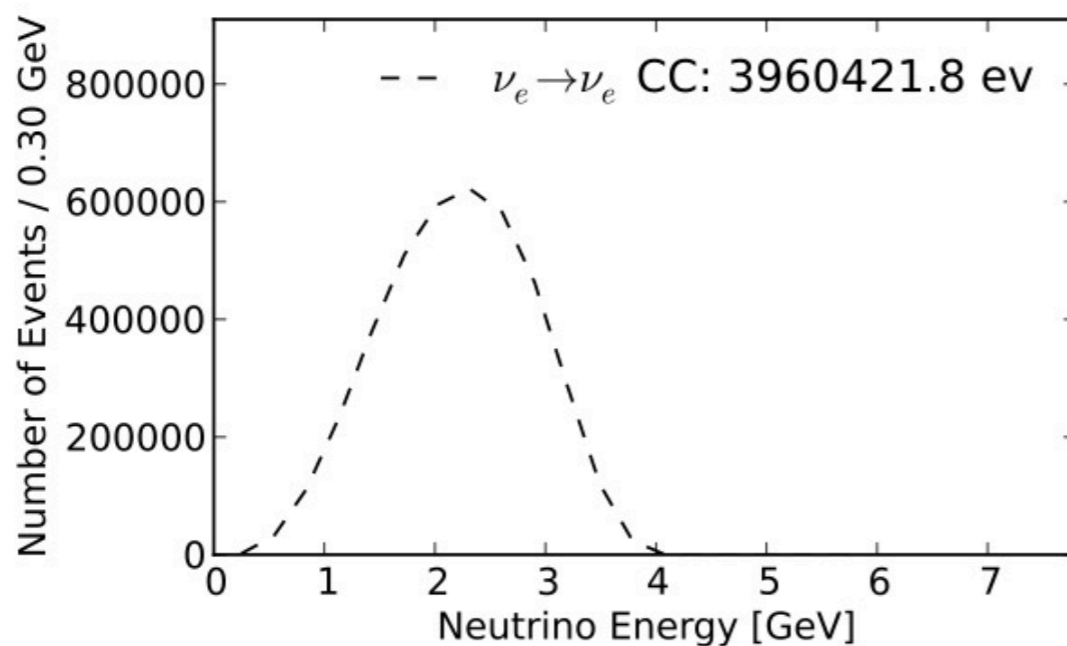
nuSTORM

(mionový akumulární prsteneč)

Neutrína z rozpadů akumulovaných mionů



Velmi detailní znalost spektra/kompozice svazku:



100T fid. vol. near detector @ 50m & 10^{21} POT, 4GeV muons

nuSTORM

(mionový akumulární prsteneč)

Detailní a definitivní test LSND anomálie (10 sigma) $\Delta m^2 \sim 1 \text{eV}^2$

CPT: $P(\bar{\nu}_\mu \rightarrow \bar{\nu}_e) = P(\nu_e \rightarrow \nu_\mu)$ $L_{\pi/2} \sim 10 \text{ m} \times \frac{E_\nu}{\text{MeV}}$

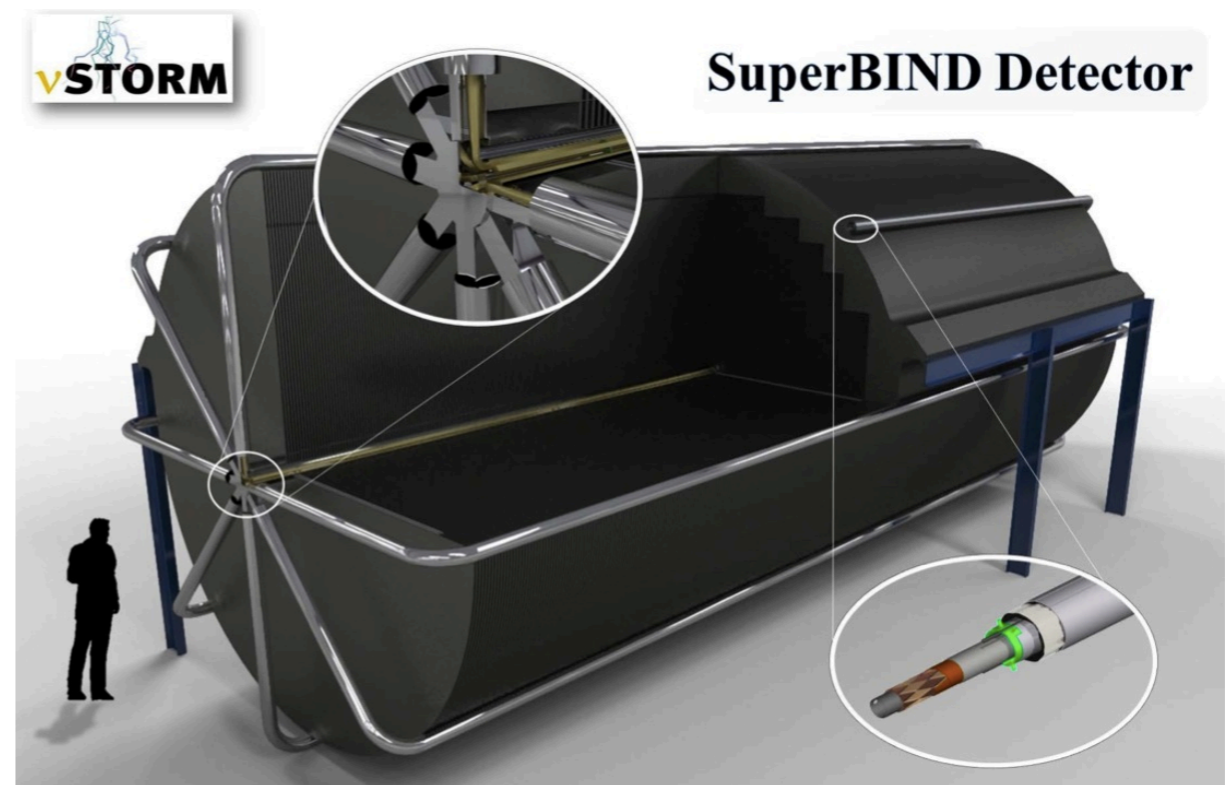
nuSTORM

(mionový akumulční prsteneček)

Detailní a definitivní test LSND anomálie (10 sigma) $\Delta m^2 \sim 1 \text{eV}^2$

CPT: $P(\bar{\nu}_\mu \rightarrow \bar{\nu}_e) = P(\nu_e \rightarrow \nu_\mu)$ $L_{\pi/2} \sim 10 \text{ m} \times \frac{E_\nu}{\text{MeV}}$

Far detector @ 2 km



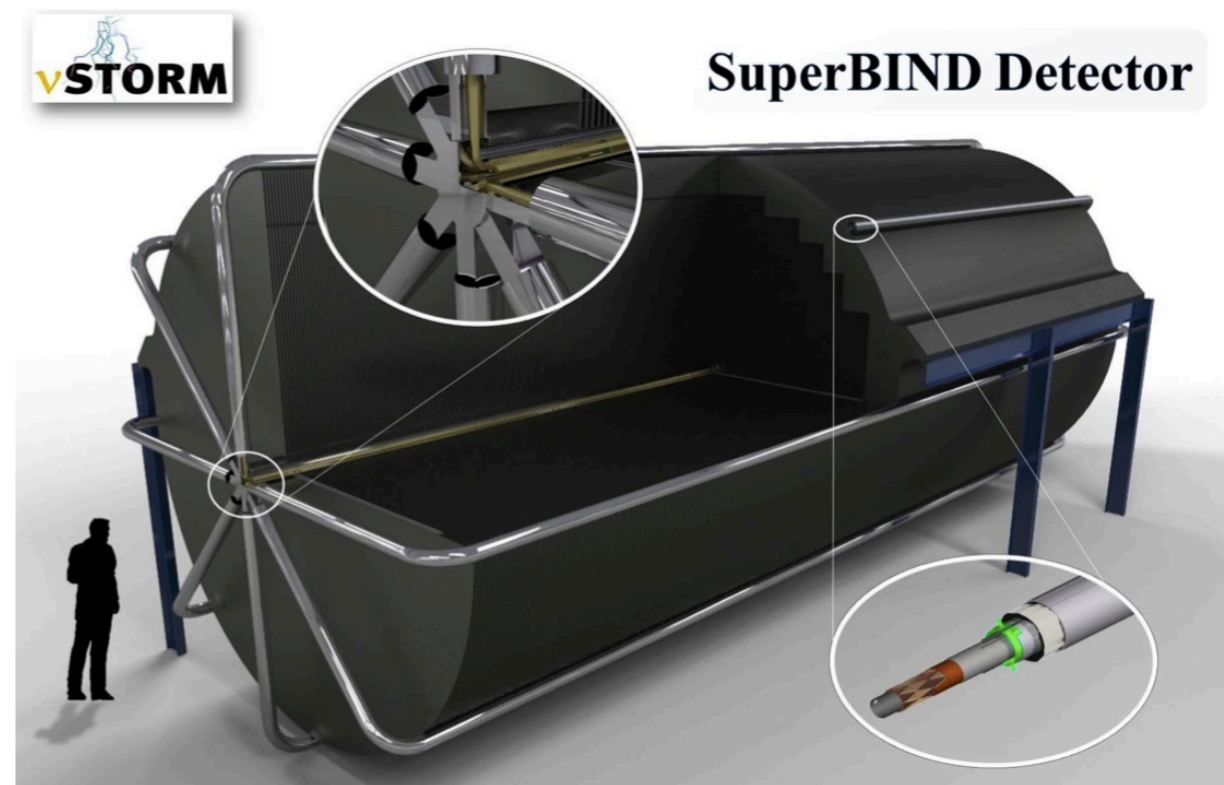
nuSTORM

(mionový akumulční prsteneček)

Detailní a definitivní test LSND anomálie (10 sigma) $\Delta m^2 \sim 1 \text{eV}^2$

CPT: $P(\bar{\nu}_\mu \rightarrow \bar{\nu}_e) = P(\nu_e \rightarrow \nu_\mu)$ $L_{\pi/2} \sim 10 \text{ m} \times \frac{E_\nu}{\text{MeV}}$

Far detector @ 2 km



Předstupeň mionového collideru v (daleké ?) budoucnosti

Přesná měření účinných průřezů GeV neutrin (hlavně ν_e) s jádry

nuSTORM

(mionový akumulární prstenec)

LOI podepsalo cca 100 lidí

(USA, Kanada, Indie, Japonsko, Francie, Itálie, Německo, Polsko, Španělsko, Velká Británie)

Status: LOI zaslán Fermilabu v roce 2013

Odhadovaná doba realizace cca 10 let (technologie existuje)

nuSTORM

(mionový akumulární prstenec)

LOI podepsalo cca 100 lidí

(USA, Kanada, Indie, Japonsko, Francie, Itálie, Německo, Polsko, Španělsko, Velká Británie)

Status: LOI zaslán Fermilabu v roce 2013

Odhadovaná doba realizace cca 10 let (technologie existuje)

Odhad nákladů:

Sub System	Cost M\$ ¹
Primary Beam Line	24
Target Station	56
Transport Line	14
Decay Ring	82
Near Hall	29 ²
Far Detector	24 ³
Sub Total	229
Project Office	34 ⁴
Total	263

